

# อกินันทนาการ



รายงานวิจัยฉบับสมบูรณ์

การสร้างแบบจำลองทางคณิตศาสตร์สำหรับคำนวณเปลี่ยนแปลงความต้านทาน  
ภายในของแผงเซลล์แสงอาทิตย์สภาวะการใช้จริง

Mathematical model development for prediction of photovoltaic module  
internal resistant variation under operating condition

สำนักหอสมุด มหาวิทยาลัยนเรศวร	
วันลงทะเบียน.....	๗ - ม.ค. ๒๕๕๔
เลขทะเบียน.....	๑๖๘๙๙๗๘
เลขเรียกหนังสือ.....	๒ TA 342 รุ่น ๒๕๕๗

โดย นายนิพนธ์ เกตุจ้อย และคณะ  
มีนาคม 2557

สัญญาเลขที่ R2556B015

รายงานวิจัยฉบับสมบูรณ์

การสร้างแบบจำลองทางคณิตศาสตร์สำหรับคำนวณเปลี่ยนแปลงความต้านทาน  
ภายในของแผงเซลล์แสงอาทิตย์สภาวะการใช้จริง

Mathematical model development for prediction of photovoltaic module  
internal resistant variation under operating condition

คณะกรรมการ

1. นายนิพนธ์	เกตุจ้อย	สังกัด วิทยาลัยพลังงานทดแทน
2. นายฉัตรชัย	ศรีสัมพันธวงศ์	สังกัด วิทยาลัยพลังงานทดแทน
3. นายคงฤทธิ์	แม้นศิริ	สังกัด วิทยาลัยพลังงานทดแทน
4. นายณัฐรุ่ง	ขาวสะอาด	สังกัด วิทยาลัยพลังงานทดแทน
5. นายมรุพงศ์	ก้อนอยู่	สังกัด วิทยาลัยพลังงานทดแทน

สนับสนุนโดยสำนักงานคณะกรรมการวิจัยแห่งชาติ

ประจำปีงบประมาณ 2556

## ชื่อโครงการ

การสร้างแบบจำลองทางคณิตศาสตร์สำหรับดำเนินการเปลี่ยนแปลง  
ความต้านทานภายในของแผงเซลล์แสงอาทิตย์สภาวะการใช้จัง

## ชื่อผู้วิจัย

นายนิพนธ์	เกตุจ้อย
นายฉัตรชัย	ศิริสม พันธวงศ์
นายคงฤทธิ์	แม่นศิริ
นายณัฐรุติ	ขาวสะอาด
นายมรุพงศ์	กอนอยู่่

## หน่วยงานที่สังกัด

วิทยาลัยพลังงานทดแทน มหาวิทยาลัยนเรศวร  
ถ.พิษณุโลก-นครสวรรค์ อ.เมือง จ.พิษณุโลก 65000  
โทรศัพท์/โทรสาร 055-963391

ได้รับทุนอุดหนุนการวิจัยจาก  
จำนวนเงิน

สำนักงานคณะกรรมการวิจัยแห่งชาติ (วช.)  
297,800 บาท เริ่มตั้งแต่ ตุลาคม 2555 – มีนาคม 2557

## บทคัดย่อ

งานวิจัยนี้นำเสนอผลการศึกษาการสร้างแบบจำลองทางคณิตศาสตร์สำหรับดำเนินการเปลี่ยนแปลงความต้านทานภายในของแผงเซลล์แสงอาทิตย์สภาวะการใช้จังซึ่งใช้แผงเซลล์แสงอาทิตย์ 5 ชนิด ได้แก่ แผงเซลล์แสงอาทิตย์ชนิดอัตโนมัติฐานซิลิโคน (Amorphous Silicon Solar Cell; a-Si) แผงเซลล์แสงอาทิตย์ชนิดผลึกฟิล์มซิลิโคน (Poly Crystalline Silicon Solar Cell; p-Si) แผงเซลล์แสงอาทิตย์ชนิดผลึกฟิล์มผสมผ่านซิลิโคน (Hybrid Crystalline Silicon Solar Cell; HIT) แผงเซลล์แสงอาทิตย์ชนิดไมโครซิลิโคน (Amorphous silicon/micro crystalline silicon; μc-Si:H) และแผงเซลล์แสงอาทิตย์ชนิดโคปเปอร์อินเดียมไดเซเลนไอด์ (Copper Indium Diselenide Solar Cell; CIS) ที่ติดตั้งใช้งานระหว่างปี 2548 - 2556 ภายในงานวิทยาลัยพลังงานทดแทน มหาวิทยาลัยนเรศวร ซึ่งผลการศึกษาแบ่งออกเป็น 2 ส่วนดังนี้

ส่วนที่ 1 การพัฒนาเทคนิคการตรวจวัดและวิเคราะห์หาค่าการเปลี่ยนแปลงความต้านทานภายในซึ่งส่งผลโดยต่อการลดลงของความสามารถในการผลิตพลังงานไฟฟ้าของแผงเซลล์แสงอาทิตย์ภายใต้สภาวะการใช้งานจริงโดยเป็นการศึกษาวิจัยเพิ่มเติมจากโครงการศึกษาผลกระทบของการเปลี่ยนแปลงความต้านทานภายในแผงเซลล์แสงอาทิตย์ที่ส่งผลต่อการผลิตไฟฟ้าของโรงไฟฟ้าเซลล์แสงอาทิตย์ขนาดใหญ่พบว่าสมการการเปลี่ยนแปลงความต้านทานภายในที่ได้จากการวิเคราะห์ เมื่อนำมาคำนวณและเปรียบเทียบกับค่าความต้านทานภายในที่ได้จากการทดลองจริง มีค่าความคลาดเคลื่อนน้อยมาก ซึ่งค่าความต้านทานภายในที่ได้นั้นมีความใกล้เคียงกับค่าความต้านทานภายในจริงของแผงเซลล์แสงอาทิตย์มากกว่าสมการที่ได้จากทฤษฎี เนื่องจากมีการวิเคราะห์ข้อมูลจากสภาวะการใช้งานจริงใน

สภาพภูมิอากาศของประเทศไทย จึงสามารถนำสมการที่ได้มาประยุกต์ใช้ในการคำนวณค่าความต้านทานภายในที่เปลี่ยนแปลงของแพงเซลล์แสงอาทิตย์ในสภาวะการใช้งานจริงได้

ส่วนที่ 2 การสร้างแบบจำลองทางคณิตศาสตร์สำหรับการทำนายการเปลี่ยนแปลงความต้านทานภายในแพงเซลล์แสงอาทิตย์ในสภาวะการใช้งานจริง พบว่าสมการที่ได้จากการสร้างแบบจำลองทางคณิตศาสตร์สำหรับการทำนายการเปลี่ยนแปลงความต้านทานภายในสามารถนำมาทำนายค่าความต้านทานภายในของแพงเซลล์แสงอาทิตย์ที่เปลี่ยนแปลงไปตลอดอายุการใช้งานของแพงเซลล์แสงอาทิตย์ ชนิดนั้นได้ โดยที่แพงเซลล์แสงอาทิตย์ a-Si p-Si HIT μc-Si:H และ CIS มีค่าความต้านทานอนุกรมที่ได้จากการทำนายคาดเคลื่อนจากค่าความต้านทานจริงร้อยละ 1.11 1.88 0.87 0.97 และ 0.97 ตามลำดับ ค่าความต้านทานชั้นต่ำที่ได้จากการทำนายคาดเคลื่อนจากค่าความต้านทานจริงร้อยละ 0.07 0.09 0.09 0.05 และ 0.05 ตามลำดับ



Title	Mathematical model development for prediction of photovoltaic module internal resistant variation under operating condition	
Researcher	Mr.Nipon Ketjoy Mr.Chatchai Sirisampanwong Mr.Kangrit Mansiri Mr.Nattawut Khaosaad Mr.Maruphong Konyu	
Organization	School of Renewable Energy Technology (SERT) Naresuan University, Phitsanulok 65000, Thailand Tel/Fax 055-963391	
Sponsor	National Research Council of Thailand (NRCT)	
Budget	297,800 Bath, October 2012 - March 2014	

### Abstract

This research presents the study result of Mathematical model development for prediction of photovoltaic (PV) module internal resistant variation under operating condition. 5 PV technologies that are Amorphous Silicon Solar Cell (a-Si), Poly Crystalline Silicon Solar Cell (p-Si), Hybrid Crystalline Silicon Solar Cell (HIT), Amorphous silicon/micro crystalline silicon ( $\mu$ -c-Si:H) and Copper Indium DiselenideSolar Cell (CIS) are in study scope. The PV systems that using these PV technologies have been installed at School of Renewable Energy Technology (SERT) Naresuan University. The data that collected during 2005-2013 is used in this resarch. The results of this research can be divided into two sections:

For the first section, the internal resistance changing measurement and analysis technique is developed to investigate the energy production decreasing effect of PV module under operating condition. The measurement and analysis technique is developed beased on "Study on Internal resistant changing effect of photovoltaic module in large scale solar power plant generation". The result of this section, the developed chaning PV internal resistance equation can be calculated the internal resistance value easier with no significant error from basic equation ( $E_{basic}$ ). The conclusion of this section, the new equations can be applied to measure the PV modules internal resistance value in the actual operating condition.

For the second section, the mathematical model that developed in the first section is used to predict the changing PV internal resistance value of the 5 PV technologies for their life time warranty. The result of this section indicates that the new equation ( $E_{\text{new}}$ ) can be predicted the changing PV internal resistance value for 25 years with low error from basic equation ( $E_{\text{basic}}$ ). The series resistance of the  $E_{\text{new}}$  is higher than  $E_{\text{basic}}$  about 1.11 %, 1.88 %, 0.87 %, 0.97 %, and 0.97 % for a-Si, p-Si, HIT,  $\mu$ c-Si:H, and CIS respectively. The shunt resistance of the  $E_{\text{new}}$  is higher than  $E_{\text{basic}}$  about 0.07 %, 0.09 %, 0.09%, 0.05%, and 0.05% for a-Si, p-Si, HIT,  $\mu$ c-Si:H, and CIS respectively.



### กิตติกรรมประกาศ

งานวิจัยนี้ได้รับทุนอุดหนุนจากสำนักงานคณะกรรมการวิจัยแห่งชาติ งบประมาณแผ่นดินประจำปีงบประมาณ 2551 2552 2554 2555 2556 และ Kaneka Corporation, Japan และขอขอบพระคุณ คณาจารย์ เจ้าหน้าที่วิจัยของวิทยาลัยพัลังงานทดแทนที่ได้ให้ความช่วยเหลือในเรื่องคำแนะนำ และข้อมูล สนับสนุนในการศึกษานี้ ทำให้การศึกษาครั้งนี้สำเร็จลุล่วงไปได้ด้วยดี

คณบดีวิจัย

มีนาคม 2557



## สารบัญ

	หน้า
<b>บทคัดย่อ.....</b>	<b>ก</b>
<b>Abstract .....</b>	<b>ค</b>
<b>กิตติกรรมประกาศ .....</b>	<b>จ</b>
<b>สารบัญ .....</b>	<b>ฉ</b>
<b>สารบัญตาราง .....</b>	<b>ช</b>
<b>สารบัญรูปประกอบ.....</b>	<b>ณ</b>
<b>รายการสัญลักษณ์.....</b>	<b>ภ</b>
<b>บทที่ 1 .....</b>	<b>1</b>
<b>บทนำ.....</b>	<b>1</b>
1.1 ความสำคัญและที่มาของปัญหาที่ทำการวิจัย.....	1
1.2 วัตถุประสงค์ของการวิจัย .....	4
1.3 ขอบเขตการวิจัย.....	4
1.4 ประโยชน์ที่คาดว่าจะได้รับ .....	4
<b>บทที่ 2 .....</b>	<b>6</b>
เอกสารและงานวิจัยที่เกี่ยวข้อง.....	6
2.1 เชลล์แสงอาทิตย์ .....	6
2.2 คุณสมบัติทางไฟฟ้าของแฟลชเซลล์แสงอาทิตย์ .....	7
2.3 ตัวแปรทางธรรมชาติที่ส่งผลต่อสมรรถนะของแฟลชเซลล์แสงอาทิตย์.....	9
2.4 การลดลงของสมรรถนะของแฟลชเซลล์แสงอาทิตย์[13] .....	13
2.5 การทบทวนวรรณกรรมที่เกี่ยวข้อง .....	15
2.6 สรุปงานวิจัยที่เกี่ยวข้อง .....	18
<b>บทที่ 3 .....</b>	<b>22</b>
<b>วิธีการดำเนินการวิจัย.....</b>	<b>22</b>

3.1 ศึกษาพัฒนาเทคนิคการตรวจวัดและวิเคราะห์หาค่าการเปลี่ยนแปลงความต้านทานภายในชี่งส่งผลโดยต่อการลดลงของความสามารถในการผลิตพลังงานไฟฟ้าของแรงเชลล์แสงอาทิตย์ภายใต้สภาพการใช้งานจริง มีรายละเอียดดังนี้.....	22
3.2 การสร้างแบบจำลองทางคณิตศาสตร์สำหรับการทำนายการเปลี่ยนแปลงความต้านทานภายในแรงเชลล์แสงอาทิตย์ในสภาพการใช้งานจริง.....	29
บทที่ 4 .....	31
ผลการทดลอง .....	31
4.1 การศึกษาพัฒนาเทคนิคการตรวจวัดและวิเคราะห์หาค่าการเปลี่ยนแปลงความต้านทานภายในชี่งส่งผลโดยต่อการลดลงของความสามารถในการผลิตพลังงานไฟฟ้าของแรงเชลล์แสงอาทิตย์ภายใต้สภาพการใช้งานจริงในลักษณะของโรงไฟฟ้าขนาดใหญ่.....	31
4.2 การเปรียบเทียบการทำนายการเปลี่ยนแปลงความต้านทานอนุกรมและความต้านทานขั้นต่ำของแรงเชลล์แสงอาทิตย์แต่ละชนิด .....	42
บทที่ 5 .....	49
5.1 สรุปผลการวิจัย .....	49
5.2 ข้อเสนอแนะ .....	49
บรรณานุกรม .....	50
ภาคผนวก ก. ....	52
บทความทางวิชาการที่ได้รับการตีพิมพ์เผยแพร่ .....	52

## สารบัญตาราง

หน้า

ตารางที่ 1 ช่องว่างพลังงานของชิลิกอนกับอุณหภูมิ .....	10
ตารางที่ 2 สรุปเอกสารและงานวิจัยที่เกี่ยวข้อง.....	20
ตารางที่ 3 คุณสมบัติของแพงเชลล์แสงอาทิตย์.....	23
ตารางที่ 4 ข้อมูลที่ต้องทำการประมวลผลหากการเปลี่ยนแปลงของความด้านท่านภายใน .....	29
ตารางที่ 5 สรุปการเปลี่ยนแปลงของความด้านท่านของแพงเชลล์แสงอาทิตย์แต่ละชนิด.....	38



## สารบัญรูปประกอบ

หน้า

รูปที่ 1 การผลิตเซลล์แสงอาทิตย์ทั่วโลก .....	1
รูปที่ 2 สัดส่วนของเซลล์แสงอาทิตย์ชนิด Crystalline Silicon และ Thin Films (หน่วย MW) .....	1
รูปที่ 3 แนวโน้มการติดตั้งใช้งานเซลล์แสงอาทิตย์ในประเทศไทย .....	2
รูปที่ 4 แนวโน้มการติดตั้งใช้งานเซลล์แสงอาทิตย์ของโลก .....	2
รูปที่ 5 ลักษณะทั่วไปและการทำงานของแผงเซลล์แสงอาทิตย์ .....	7
รูปที่ 6 คุณสมบัติกระแทกไฟฟ้าแรงดันไฟฟ้าของเซลล์แสงอาทิตย์ .....	7
รูปที่ 7 IV-Curve กรณีเมื่อค่าความเข้มรังสีอาทิตย์คงที่และอุณหภูมิเซลล์เพิ่มขึ้น .....	9
รูปที่ 8 วงจรของความต้านทานอนุกรมของแผงเซลล์แสงอาทิตย์ .....	14
รูปที่ 9 วงจรของความต้านทานชั้นต์ของแผงเซลล์แสงอาทิตย์ .....	15
รูปที่ 10 แผนผังการตรวจดุดคุณลักษณะทางไฟฟ้าของแผงเซลล์แสงอาทิตย์ .....	23
รูปที่ 11 ขั้นตอนการวิเคราะห์ทำความต้านทานอนุกรม .....	26
รูปที่ 12 ขั้นตอนการวิเคราะห์ทำความต้านทานชั้นต์ .....	27
รูปที่ 13 ขั้นตอนวิเคราะห์ทำความสัมภันธ์ของความต้านทานภายในเก็บแรงดันไฟฟ้าสูงสุด .....	28
รูปที่ 14 ขั้นตอนการหาอัตราการเปลี่ยนแปลงความต้านทานภายในของแผงเซลล์แสงอาทิตย์เพื่อจะนิด ..	29
รูปที่ 15 แนวโน้มการเปลี่ยนแปลงของความต้านทานอนุกรมของแผงเซลล์แสงอาทิตย์ชนิด a-Si .....	32
รูปที่ 16 แนวโน้มการเปลี่ยนแปลงของความต้านทานชั้นต์ของแผงเซลล์แสงอาทิตย์ชนิด a-Si .....	32
รูปที่ 17 แนวโน้มการเปลี่ยนแปลงของความต้านทานอนุกรมของแผงเซลล์แสงอาทิตย์ชนิด p-Si .....	33
รูปที่ 18 แนวโน้มการเปลี่ยนแปลงของความต้านทานชั้นต์ของแผงเซลล์แสงอาทิตย์ชนิด p-Si .....	34
รูปที่ 19 แนวโน้มการเปลี่ยนแปลงของความต้านทานอนุกรมของแผงเซลล์แสงอาทิตย์ชนิด HIT .....	34
รูปที่ 20 แนวโน้มการเปลี่ยนแปลงของความต้านทานชั้นต์ของแผงเซลล์แสงอาทิตย์ชนิด HIT .....	35
รูปที่ 21 แนวโน้มการเปลี่ยนแปลงของความต้านทานอนุกรมของแผงเซลล์แสงอาทิตย์ชนิด mc-Si:H .....	36
รูปที่ 22 แนวโน้มการเปลี่ยนแปลงของความต้านทานชั้นต์ของแผงเซลล์แสงอาทิตย์ชนิด mc-Si:H .....	36
รูปที่ 23 แนวโน้มการเปลี่ยนแปลงของความต้านทานอนุกรมของแผงเซลล์แสงอาทิตย์ชนิด CIS .....	37
รูปที่ 24 แนวโน้มการเปลี่ยนแปลงของความต้านทานชั้นต์ของแผงเซลล์แสงอาทิตย์ชนิด CIS .....	37
รูปที่ 25 ค่าความต้านทานอนุกรมที่ได้จากการคำนวณของแผงเซลล์แสงอาทิตย์ชนิด a-Si .....	43
รูปที่ 26 ค่าความต้านทานชั้นต์ที่ได้จากการคำนวณของแผงเซลล์แสงอาทิตย์ชนิด a-Si .....	43
รูปที่ 27 ค่าความต้านทานอนุกรมที่ได้จากการคำนวณของแผงเซลล์แสงอาทิตย์ชนิด p-Si .....	44
รูปที่ 28 ค่าความต้านทานชั้นต์ที่ได้จากการคำนวณของแผงเซลล์แสงอาทิตย์ชนิด p-Si .....	45
รูปที่ 29 ค่าความต้านทานอนุกรมที่ได้จากการคำนวณของแผงเซลล์แสงอาทิตย์ชนิด HIT .....	45
รูปที่ 30 ค่าความต้านทานชั้นต์ที่ได้จากการคำนวณของแผงเซลล์แสงอาทิตย์ชนิด HIT .....	46
รูปที่ 31 ค่าความต้านทานอนุกรมที่ได้จากการคำนวณของแผงเซลล์แสงอาทิตย์ชนิด mc-Si:H .....	47

## สารบัญรูปประกอบ (ต่อ)

หน้า

รูปที่ 32 ค่าความด้านทานชั้นต์ที่ได้จากการทำนายของແພເໜລີ່ສັງອາທິດຍືນດີ μc-Si:H.....	47
รูปที่ 33 ค่าความด้านทานອນຸກຣມที่ได้จากการทำนายของແພເໜລີ່ສັງອາທິດຍືນດີ CIS .....	48
รูปที่ 34 ค่าความด้านทานชั้นต์ที่ได้จากการทำนายของແພເໜລີ່ສັງອາທິດຍືນດີ CIS.....	48



### รายการสัญลักษณ์

$I_m$	คือ	ค่ากระแสไฟฟ้าที่จุดกำลังไฟฟ้าสูงสุดของเซลล์แสงอาทิตย์ในขณะที่ต่ออยู่กับกระแสทางไฟฟ้า (A)
$V_m$	คือ	ค่าแรงดันไฟฟ้าที่จุดกำลังไฟฟ้าสูงสุดของเซลล์แสงอาทิตย์ในขณะที่ต่ออยู่กับกระแสทางไฟฟ้า (V)
$I_{sc}$	คือ	ค่ากระแสไฟฟ้าของเซลล์แสงอาทิตย์ในขณะที่เกิดการลัดวงจร (A)
$V_{oc}$	คือ	ค่าแรงดันไฟฟ้าของเซลล์แสงอาทิตย์ในขณะที่ไม่มีกระแสทางไฟฟ้า (V)
$P_m$	คือ	ค่ากำลังไฟฟ้าสูงสุดที่เซลล์แสงอาทิตย์จ่ายออกมานิยมในขณะที่มีกระแสทางไฟฟ้า (W)
$F.F$	คือ	ค่าอัตราส่วนของกำลังไฟฟ้าสูงสุดต่อมูลคุณระหว่างค่ากระแสไฟฟ้าลัดวงจรกับแรงดันไฟฟ้าງวดจระเปิด
$\eta_m$	คือ	ประสิทธิภาพสูงสุด (%)
$A_m$	คือ	พื้นที่รับแสงของเซลล์แสงอาทิตย์ ( $m^2$ )
$G_t$	คือ	ค่าความเข้มรังสีดวงอาทิตย์ ( $W/m^2$ )
$\eta_e$	คือ	ประสิทธิภาพในการเปลี่ยนคุオリีกตอรอน – โอลให้เป็นกระแสไฟฟ้า
$r$	คือ	สัมประสิทธิ์การสะท้อนแสงที่ผิวด้านรับแสงของเซลล์
$\alpha$	คือ	สัมประสิทธิ์การดูดกลืนของเซลล์แสงอาทิตย์ ( $cm^{-1}$ )
$I$	คือ	ระยะเวลาที่ไฟตอบในแสงอาทิตย์ที่สารกึ่งตัวนำซึ่งมีช่องว่างพลังงานสามารถดูดกลืนได้ $photon/cm^2.sec$
$e^{-\alpha}$	คือ	สัดส่วนของไฟตอบที่หลุดผ่านเซลล์ต่อไฟตอบที่ตกกระทบหักหมด
$E_g$	คือ	ช่องว่างพลังงานของสารกึ่งตัวนำ (eV)
$E_{go}$	คือ	ช่องว่างพลังงานของสารกึ่งตัวนำที่ศูนย์องคากำบูรณ์มีค่าเท่ากับ 1.16 eV
$E_g(T)$	คือ	ช่องว่างพลังงานของสารกึ่งตัวนำที่อุณหภูมิใดๆ (eV)
$\gamma$	คือ	ค่าคงที่เฉพาะสารกึ่งตัวนำไดๆ สำหรับซิลิกอน = $7.02 \times 10^{-4} \text{ eV/K}$
$\beta$	คือ	ค่าคงที่เฉพาะของสารกึ่งตัวนำไดๆ สำหรับซิลิกอน = 1,108 K
$N_c$	คือ	ความหนาแน่นประสิทธิผลของอิเล็กตรอนสเตทในแบบตัวนำ ( $cm^{-3}$ )
$N_v$	คือ	ความหนาแน่นประสิทธิผลของไฮโลสเตทในแบบวาเลนซ์ ( $cm^{-3}$ )
$D_n$	คือ	ค่าคงที่ของการแพร่ของอิเล็กตรอน ( $cm^2/sec$ )
$D_p$	คือ	ค่าคงที่ของการแพร่ของไฮโล ( $cm^2/sec$ )
$L_n$	คือ	ระยะแพร่ของอิเล็กตรอนในสารกึ่งตัวนำชนิดพี (cm)
$N_D$	คือ	ความหนาแน่นของคอนเนอร์ ( $cm^{-3}$ )

### รายการสัญลักษณ์ (ต่อ)

$N_A$	คือ ความหนาแน่นของแอกเซบเตอร์( $\text{cm}^3$ )
$A_p$	คือ พื้นที่หน้าตัดของรอยต่อ ( $\text{m}^2$ )
$m_e$	คือ มวลประสิทธิภาพของอิเล็กตรอน (kg)
$m_h$	คือ มวลประสิทธิภาพของไฮดروเจน(kg)
$h$	คือ ค่าคงที่ของแพลงค์(J-sec)
$P_m$ (STC)	คือกำลังไฟฟ้าสูงสุดของเซลล์แสงอาทิตย์ที่สภาพมาตรฐาน (W)
$T_{cell}$	คือ อุณหภูมิของเซลล์ ( $^{\circ}\text{C}$ )
$T_{amb}(t)$	คือ อุณหภูมิแวดล้อม ณ เวลาที่พิจารณา ( $^{\circ}\text{C}$ )
$T_{\max}$	คือ อุณหภูมิแวดล้อมสูงสุดของวัน( $^{\circ}\text{C}$ )
$T_{\min}$	คือ อุณหภูมิแวดล้อมต่ำสุดของวัน( $^{\circ}\text{C}$ )
$t$	คือ $h-9$
$h$	เวลาที่พิจารณา (ชั่วโมง)
$Y_A$	คือ พลังงานไฟฟ้าที่เซลล์แสงอาทิตย์ผลิตได้ต่อกำลังติดตั้ง ( $\text{kWh}/\text{kWp}$ )
$E_A$	คือ พลังงานไฟฟ้าที่เซลล์แสงอาทิตย์ผลิตได้ ( $\text{kWh}$ )
$P_o$	กำลังไฟฟ้าติดตั้งสูงสุดของแผงเซลล์แสงอาทิตย์ ( $\text{Wp}$ )
$Y_r$	พลังงานไฟฟ้าที่เซลล์แสงอาทิตย์ผลิตได้ต่อกำลังติดตั้งในทางทฤษฎี ( $\text{kWh}/\text{kWp}$ )
$H_i$	พลังงานจากรังสีดวงอาทิตย์ที่ตกกระทบพื้นผิวแผงเซลล์แสงอาทิตย์ ( $\text{kWh}/\text{m}^2$ )
$G_{STC}$	ค่าความเข้มรังสีดวงอาทิตย์ที่สภาพมาตรฐานการทดสอบเซลล์แสงอาทิตย์ $\text{STC} = 1 \text{ kW}/\text{m}^2$
$Y_f$	พลังงานไฟฟ้าที่ใช้งานจริงที่ผลิตได้จากเซลล์แสงอาทิตย์ ( $\text{kWh}/\text{kWp}$ )
$E_{PV}$	พลังงานจากเซลล์แสงอาทิตย์ที่ถูกใช้โดยภาระทางไฟฟ้า ( $\text{kWh}$ )
$P_o$	กำลังไฟฟ้าติดตั้งสูงสุดของแผงเซลล์แสงอาทิตย์ ( $\text{Wp}$ )
$E_L$	พลังงานไฟฟ้าที่ใช้จริงโดยภาระทางไฟฟ้า ( $\text{kWh}$ )
$E_{BU}$	พลังงานที่ผลิตได้จากการบันทึกการทำงานเสริม ในกรณีนี้คือ 0 ( $\text{kWh}$ )
$L_C$	พลังงานที่สูญเสียบนแผงเซลล์แสงอาทิตย์ ( $\text{kWh}/\text{kWp}$ )
$L_S$	พลังงานที่สูญเสียในระบบเซลล์แสงอาทิตย์ ( $\text{kWh}/\text{kWp}$ )
$T_A$	อุณหภูมิของแผงเซลล์แสงอาทิตย์ ( $^{\circ}\text{C}$ )
$PR$	สมรรถนะของระบบเซลล์แสงอาทิตย์
$\eta_A$	ประสิทธิภาพของแผงเซลล์แสงอาทิตย์ (%)
$A_A$	พื้นที่แผงเซลล์แสงอาทิตย์ ( $\text{m}^2$ )

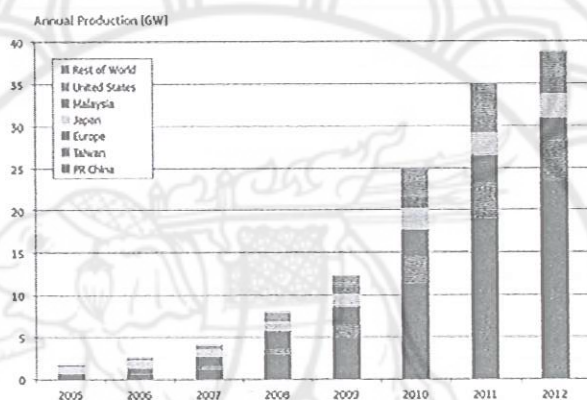
## รายการสัญลักษณ์ (ต่อ)

$\eta_{PV}$	คือ ประสิทธิภาพของระบบเซลล์แสงอาทิตย์ (%)
$P_{1,000}$	คือ กำลังไฟฟ้าสูงสุดที่ค่าความเข้มรังสีอาทิตย์ เท่ากับ 1,000 วัตต์ต่อตารางเมตร
$P_{Irr}$	คือ กำลังไฟฟ้าสูงสุดที่ค่าความเข้มรังสีอาทิตย์ใดๆ
$I_{1,000}$	คือ กระแสไฟฟ้าสูงสุดที่ค่าความเข้มรังสีอาทิตย์ เท่ากับ 1,000 วัตต์ต่อตารางเมตร
$I_{Irr}$	คือ กระแสไฟฟ้าสูงสุดที่ค่าความเข้มรังสีอาทิตย์ใดๆ
$P_{25}$	คือ กำลังไฟฟ้าสูงสุดที่ค่าความเข้มรังสีอาทิตย์ เท่ากับ 1,000 วัตต์ต่อตารางเมตร ที่อุณหภูมิแฟร์ 25 องศาเซลเซียส
$P_T$	คือ กำลังไฟฟ้าสูงสุดที่ค่าความเข้มรังสีอาทิตย์ เท่ากับ 1,000 วัตต์ต่อตารางเมตร ที่อุณหภูมิแฟร์ใดๆ
$V_{25}$	คือ แรงดันไฟฟ้าสูงสุดที่ค่าความเข้มรังสีอาทิตย์ เท่ากับ 1,000 วัตต์ต่อตารางเมตร ที่อุณหภูมิแฟร์ 25 องศาเซลเซียส
$V_T$	คือ แรงดันไฟฟ้าสูงสุดที่ค่าความเข้มรังสีอาทิตย์ เท่ากับ 1,000 วัตต์ต่อตารางเมตร ที่อุณหภูมิแฟร์ใดๆ
$I_{25}$	คือ กระแสไฟฟ้าสูงสุดที่ค่าความเข้มรังสีอาทิตย์ เท่ากับ 1,000 วัตต์ต่อตารางเมตร ที่อุณหภูมิแฟร์ 25 องศาเซลเซียส
$I_T$	คือ กระแสไฟฟ้าสูงสุดที่ค่าความเข้มรังสีอาทิตย์ เท่ากับ 1,000 วัตต์ต่อตารางเมตร ที่อุณหภูมิแฟร์ใดๆ
$k$	คือ สัมประสิทธิ์ของความเข้มรังสีอาทิตย์ที่มีผลกับแรงดันไฟฟ้าของแผงเซลล์แสงอาทิตย์ (irradiance coefficient)(%/วัลต์)
$T_{coe,V}$	คือ สัมประสิทธิ์ของอุณหภูมิที่มีผลกับแรงดันไฟฟ้าของแผงเซลล์แสงอาทิตย์ (Temperature coefficient)(%/วัลต์)
$T_{coe,I}$	คือ สัมประสิทธิ์ของอุณหภูมิที่มีผลกับกระแสไฟฟ้าของแผงเซลล์แสงอาทิตย์ (Temperature coefficient)(%/แอมป์เบอร์)

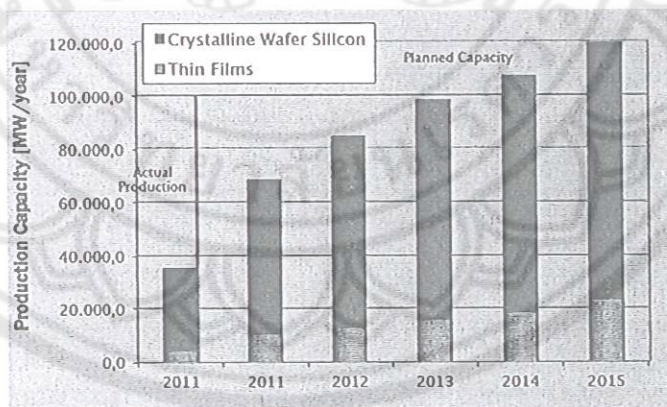
## บทที่ 1 บทนำ

### 1.1 ความสำคัญและที่มาของปัญหาที่ทำการวิจัย

ในปัจจุบันการผลิตเซลล์แสงอาทิตย์มีแนวโน้มเพิ่มอย่างต่อเนื่องโดย ณ ลิ้นปี พ.ศ. 2555 ทั่วโลก มีการผลิตเซลล์แสงอาทิตย์เพิ่มขึ้นกว่า 38.5 GW คิดเป็นร้อยละ 10 เมื่อเทียบกับปี พ.ศ. 2554 เป็นผลมาจากการตั้งตัวของประชาคมโลกในเรื่องการนำพลังงานทดแทนมาใช้ในการผลิตพลังงานไฟฟ้าแทน การพัฒนาเทคโนโลยี ซึ่งกำลังจะหมดไปแล้วส่งผลต่อการเกิดสภาวะโลกร้อนที่วิเคราะห์ความรุนแรงขึ้นทุกปี [1]



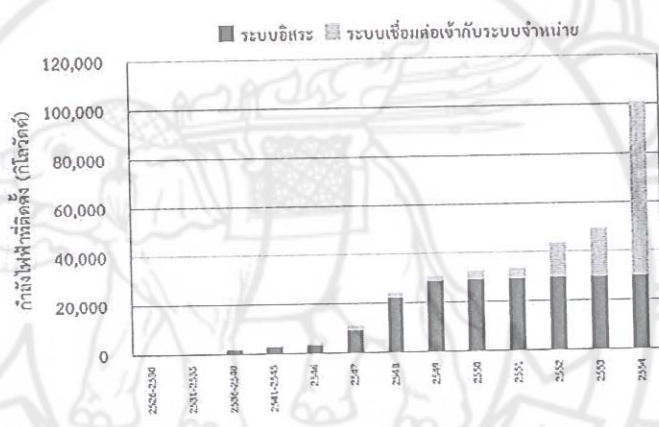
รูปที่ 1 การผลิตเซลล์แสงอาทิตย์ทั่วโลก [1]



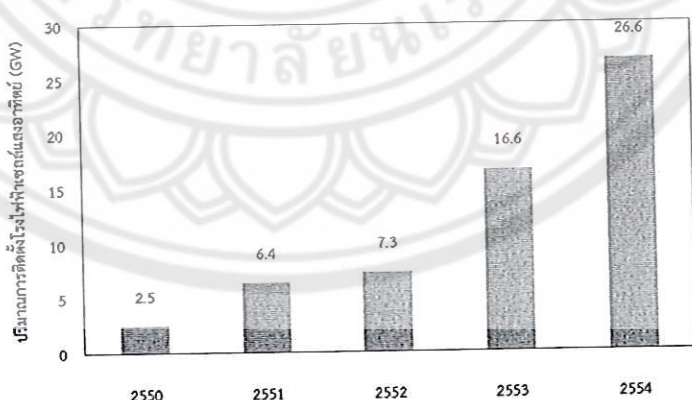
รูปที่ 2 สัดส่วนของเซลล์แสงอาทิตย์ชนิด Crystalline Silicon และ Thin Films (หน่วย MW) [1]

ในปัจจุบันแบ่งเซลล์แสงอาทิตย์จากชิลิกอนที่ใช้กันอยู่ออกเป็น 2 กลุ่มได้แก่ เซลล์แสงอาทิตย์ ชนิดผลึกชิลิกอน (Crystalline Silicon) และพิล์มบาง (Thin Films) ซึ่งจากรูปที่ 2 จะเห็นได้ว่าสัดส่วน

ของเซลล์แสงอาทิตย์ทั้ง 2 กลุ่มนี้ เริ่มมีสัดส่วนน้ำใจแล้วเทียบกัน เนื่องจากในปัจจุบันเซลล์กลุ่มฟิล์มบางได้รับความสนใจมากขึ้น โดยเฉพาะในเรื่องของความสามารถในการผลิตพลังงานไฟฟ้า ซึ่งมีผลการศึกษา พบว่า ฟิล์มบางสามารถผลิตพลังงานไฟฟ้าได้สูงกว่าผลลัพธ์ของ [2-6] ซึ่งในประเทศไทยมีการนำแผงเซลล์แสงอาทิตย์ทั้ง 2 กลุ่มมาใช้ในการผลิตพลังงานไฟฟ้าเพิ่มขึ้น เป็นผลจากแผนพัฒนาพลังงานทดแทนและ พลังงานทางเลือก 25% ใน 10 ปี (พ.ศ.2555-2564) หรือ Alternative Energy Development Plan: AEDP (2012-2021) นั้นได้กำหนดเป้าหมายการผลิตไฟฟ้าจากพลังงานแสงอาทิตย์ไว้สูงถึง 2,000 MW โดยปัจจุบันมีการติดตั้งติดตั้งสะสมอยู่ประมาณ 150 MW ดังรูปที่ 3 [7-8] ซึ่งเมื่อพิจารณาจากการติดตั้ง ดังกล่าวและแนวโน้มของการผลิตไฟฟ้าจากแสงอาทิตย์แล้วพบว่าเทคโนโลยีที่ได้รับความสนใจและใช้งานมากที่สุดในปัจจุบันคือเทคโนโลยีเซลล์แสงอาทิตย์ ดังรูปที่ 4 ซึ่งแนวโน้มการติดตั้งใช้งานเซลล์แสงอาทิตย์ทั่วโลกมีอัตราการติดตั้งใช้งานเพิ่มสูงขึ้นอย่างรวดเร็วในช่วงเวลา 5 ปีที่ผ่านมา



รูปที่ 3 แนวโน้มการติดตั้งใช้งานเซลล์แสงอาทิตย์ในประเทศไทย [7]



รูปที่ 4 แนวโน้มการติดตั้งใช้งานเซลล์แสงอาทิตย์ของโลก [8]

จากสถานการณ์ในปัจจุบันของประเทศไทยกู้้ผู้ลงทุนให้ความสนใจกับอุตสาหกรรมด้านการผลิตไฟฟ้าจากเซลล์แสงอาทิตย์เป็นจำนวนมาก โดยคาดการณ์ว่ามีผู้อยู่ระหว่างดำเนินโครงการก่อสร้างโรงไฟฟ้าเซลล์แสงอาทิตย์อยู่ประมาณ 500 – 600 MW ดังนั้นจึงยังคงมีขนาดของตลาดเซลล์แสงอาทิตย์ในประเทศไทยอีกไม่น้อยกว่า 1,200 – 1,300 MW ซึ่งหากพิจารณาถึงเม็ดเงินลงทุนของการผลิตไฟฟ้าจากเซลล์แสงอาทิตย์ตามเป้าหมายของภาครัฐที่ 2,000 MW แล้วจะมีมูลค่าไม่ต่ำกว่า 120,000 ล้านบาท และหากรวมมูลค่าของอุตสาหกรรมต่อเนื่องของการเดินโรงไฟฟ้า การดูแลและบำรุงรักษาโรงไฟฟ้าซึ่งมีอายุโครงการถึง 25 ปีแล้วจะหมายถึงเงินหมุนเวียนตลอดช่วงของอายุโรงไฟฟ้าอีกไม่น้อยกว่า 2,000 ล้านบาท/ปี ซึ่งเห็นได้ว่าการกำหนดเป้าหมายการผลิตไฟฟ้าจากพลังงานแสงอาทิตย์ของกระทรวงพลังงาน ดังกล่าวสามารถสร้างตลาดและมูลค่าของอุตสาหกรรมด้านการผลิตไฟฟ้าจากแสงอาทิตย์ได้อย่างมหาศาล

ซึ่งจากผลงานวิจัยที่ได้รับทุนอุดหนุนจากสำนักงานคณะกรรมการวิจัยแห่งชาติได้แก่ โครงการสมรรถนะกลางแจ้งของแผงเซลล์แสงอาทิตย์แบบซิลิกอนอัลลอยด์ที่สภาวะอากาศร้อนชื้น ระยะที่ 1 (สัญญาเลขที่ RE-AR-011/51) งบประมาณแผ่นดิน ประจำปีงบประมาณ พ.ศ. 2551 โครงการสมรรถนะกลางแจ้งของแผงเซลล์แสงอาทิตย์แบบซิลิกอนอัลลอยด์ที่สภาวะอากาศร้อนชื้นระยะที่ 2 (สัญญาเลขที่ RE-AR-40/2552) งบประมาณแผ่นดิน ประจำปีงบประมาณ พ.ศ. 2552 ที่ผ่านมาและจากผลการวิจัยโครงการศึกษาการลดลงของสมรรถนะของแผงเซลล์แสงอาทิตย์ภายใต้สภาวะอากาศร้อนชื้นในระยะยาว (สัญญาเลขที่ R2554C842) กองทุนวิจัยมหาวิทยาลัยนเรศวร ประจำปีงบประมาณ พ.ศ. 2554 และโครงการศึกษาการลดลงของสมรรถนะของแผงเซลล์แสงอาทิตย์ภายใต้สภาวะอากาศร้อนชื้นในระยะยาว ระยะที่ 2(สัญญาเลขที่ 2554B066) งบประมาณแผ่นดิน ประจำปีงบประมาณ พ.ศ. 2554 พบว่าความสามารถในการผลิตพลังงานไฟฟ้าของเซลล์แสงอาทิตย์มีแนวโน้มลดลงทุกปี ซึ่งเป็นผลมาจากการเปลี่ยนแปลงของความต้านทานภายในแผงเซลล์แสงอาทิตย์ และอุปกรณ์ประกอบอื่นๆ ปัจจัยดังกล่าวส่งผลกระทบโดยตรงต่อการลงทุนในการสร้างโรงไฟฟ้าขนาดใหญ่จากการวิเคราะห์เบื้องต้นพบว่าในอุตสาหกรรมการสร้างโรงไฟฟ้าเซลล์แสงอาทิตย์ให้การรับประทานการผลิตพลังงานไฟฟ้าของโรงไฟฟ้า (energy yield) ซึ่งโดยส่วนใหญ่การรับประทานปริมาณพลังงานไฟฟ้าที่โรงไฟฟ้าจะผลิตได้ทำให้เกิดความเสี่ยงต่อผู้รับงานในลักษณะดังกล่าว ดังนั้น วิทยาลัยพลังงานทดแทนจึงมีแนวคิดที่จะทำศึกษาหาแบบจำลองทางคณิตศาสตร์เพื่อใช้ในการคำนวณเปลี่ยนแปลงความต้านทานภายในแผงเซลล์แสงอาทิตย์ในสภาวะการใช้งานจริงซึ่งส่งผลโดยตรงต่อการลดลงของความสามารถในการผลิตพลังงานของแผงเซลล์แสงอาทิตย์ อีกทั้งยังสามารถนำไปใช้ในการพัฒนาการทำนายพลังงานไฟฟ้าที่ผลิตให้ถูกต้องและแม่นยำยิ่งขึ้น เนื่องจากสามารถนำข้อมูลดังกล่าวไปใช้ในการกำหนดเงื่อนไขการรับประทานซึ่งสอดคล้องกับความเป็นจริงมากที่สุด ก่อให้เกิดประโยชน์สูงสุดทั้งกับผู้ลงทุนก่อสร้างโรงไฟฟ้าเซลล์แสงอาทิตย์ และการรับประทานปริมาณพลังงานที่โรงไฟฟ้าจะผลิตได้

## 1.2 วัตถุประสงค์ของการวิจัย

1.2.1 เพื่อพัฒนาเทคนิคการตรวจวัดและวิเคราะห์หาค่าการเปลี่ยนแปลงความต้านทานภายในชีงส่งผลโดยต่อการลดลงของความสามารถในการผลิตพลังงานไฟฟ้าของแผงเซลล์แสงอาทิตย์ภายใต้สภาวะการใช้งานจริง

1.2.2 เพื่อสร้างแบบจำลองทางคณิตศาสตร์สำหรับการทำนายการเปลี่ยนแปลงความต้านทานภายในแผงเซลล์แสงอาทิตย์ในสภาวะการใช้งานจริง

## 1.3 ขอบเขตการวิจัย

การศึกษาในครั้งนี้มุ่งเน้นทำการศึกษาสาเหตุและผลกระทบที่เกิดจากการเปลี่ยนแปลงของความต้านทานภายในของแผงเซลล์แสงอาทิตย์ในแต่ละชนิด โดยจะแบ่งการศึกษาออกเป็น 2 ส่วน ดังนี้

1.3.1 การศึกษาพัฒนาเทคนิคการตรวจวัดและวิเคราะห์หาค่าการเปลี่ยนแปลงความต้านทานภายในชีงส่งผลโดยต่อการลดลงของความสามารถในการผลิตพลังงานไฟฟ้าของแผงเซลล์แสงอาทิตย์ภายใต้สภาวะการใช้งานจริงในลักษณะของโรงไฟฟ้าขนาดใหญ่ โดยทำการศึกษาหาเทคนิคการตรวจวัดและวิเคราะห์คุณสมบัติทางไฟฟ้าของแผงเซลล์แสงอาทิตย์ หลังงานไฟฟ้าที่แผงเซลล์แสงอาทิตย์ผลิตได้ ความเข้มรังสีอาทิตย์ อุณหภูมิแวดล้อม อุณหภูมิของแผงเซลล์แสงอาทิตย์แล้วนำข้อมูลที่บันทึกไว้มาวิเคราะห์การเปลี่ยนแปลงของความต้านทานภายในของแผงเซลล์แสงอาทิตย์ ภายในระยะเวลา 9 ปี ตั้งแต่ปี 2548 - 2557 ว่าแผงเซลล์แสงอาทิตย์มีความต้านทานภายในและพลังงานไฟฟ้าเปลี่ยนแปลงเป็นอย่างไร ซึ่งจะมุ่งเน้นทำการศึกษาแผงเซลล์แสงอาทิตย์จำนวน 5 ชนิด ได้แก่ แผงเซลล์แสงอาทิตย์ชนิดอัมorphous silicon (Amorphous Silicon Solar Cell; a-Si) แผงเซลล์แสงอาทิตย์ชนิดผลึกสมบูรณ์ (Poly Crystalline Silicon Solar Cell; p-Si) แผงเซลล์แสงอาทิตย์ชนิดผลึกผสม (Hybrid Crystalline Silicon Solar Cell; HJT) แผงเซลล์แสงอาทิตย์ชนิดไมโครซิลิกอน (Microcrystalline Silicon Solar Cells; μc-Si:H) และแผงเซลล์แสงอาทิตย์ชนิด คوبเปอร์อินเดียมชิลีนไนด์ (Copper indium selenide; CIS) ซึ่งติดตั้งภายในวิทยาลัยพลังงานทดแทน มหาวิทยาลัยเรศวร

1.3.2 ทำการศึกษาสร้างแบบจำลองทางคณิตศาสตร์สำหรับการทำนายการเปลี่ยนแปลงความต้านทานภายในแผงเซลล์แสงอาทิตย์ในสภาวะการใช้งานจริงในลักษณะของโรงไฟฟ้าขนาดใหญ่ โดยนำตัวแปรต่างๆที่ทำจากบันทึกไว้ มาทำการหาความสัมพันธ์ระหว่างตัวแปรต่างๆ เพื่อใช้ในการสร้างแบบจำลองทางคณิตศาสตร์สำหรับการทำนายการเปลี่ยนแปลงความต้านทานภายในแผงเซลล์แสงอาทิตย์

## 1.4 ประโยชน์ที่คาดว่าจะได้รับ

1.4.1 เผยแพร่ผลงานวิจัยในวารสาร และงานประชุมสัมมนาเชิงวิชาการเครือข่ายพลังงานแห่งประเทศไทย

1.4.2 แบบจำลองทางคณิตศาสตร์สำหรับทำนายการเปลี่ยนแปลงของความต้านทานภายในของแผงเซลล์แสงอาทิตย์ว่าเป็นเช่นไร

1.4.3 ผลลัพธ์ที่ได้ของโครงการจะเป็นประโยชน์ต่อการเลือกใช้งานเชลล์แสงอาทิตย์ที่เหมาะสมสำหรับประเทศไทยในระยะเวลา และเป็นข้อมูลในการสร้างโรงไฟฟ้าเชลล์แสงอาทิตย์ที่มีขนาดใหญ่รวมถึงเป็นแนวทางในการพัฒนาเทคโนโลยีเชลล์แสงอาทิตย์ของประเทศ

1.4.4 เพื่อเป็นประโยชน์ในการกำหนดเงื่อนไขการรับประกันซึ่งสอดคล้องกับความเป็นจริงมากที่สุด ก่อให้เกิดประโยชน์สูงสุดทั้งกับผู้ลงทุนก่อสร้างโรงไฟฟ้าเชลล์แสงอาทิตย์ และให้การรับประกันปริมาณ พลังงานที่โรงไฟฟ้าจะผลิตได้

1.4.5 เพื่อเป็นประโยชน์สำหรับการตัดสินใจของหน่วยงานภาครัฐในการดำเนินโครงการด้าน เชลล์แสงอาทิตย์ในอนาคต ลดการสูญเสียงบประมาณ และตอบสนองนโยบายภาครัฐในเรื่องของการ พัฒนาการใช้แหล่งพลังงานใหม่ๆ จากแสงอาทิตย์ของประเทศ

1.4.6 ตอบสนองนโยบายภาครัฐในเรื่องของการพัฒนาการใช้แหล่งพลังงานใหม่ๆ จากแสงอาทิตย์ ของประเทศ

#### หน่วยงานที่นำผลการวิจัยไปใช้ประโยชน์

กรมพัฒนาพลังงานทดแทนและอนุรักษ์พลังงาน กรมส่งเสริมอุตสาหกรรม การไฟฟ้าส่วนภูมิภาค การไฟฟ้านครหลวง การไฟฟ้าฝ่ายผลิต กระทรวงมหาดไทย กระทรวงกลาโหม กลุ่มองค์กร หน่วยงานภาครัฐ ภาคเอกชน

## บทที่ 2

### เอกสารและงานวิจัยที่เกี่ยวข้อง

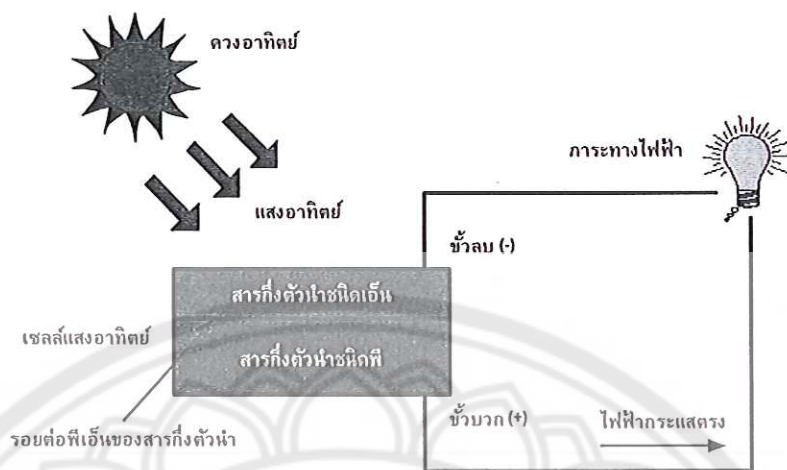
จากการศึกษาโดยวิทยาลัยพัฒนาเทคโนโลยีได้โครงการ “สมรรถนะกลางแจ้งของแมงเซลล์แสงอาทิตย์แบบอสัณฐานชิลิกอนภายใต้สภาวะอากาศร้อนชื้น ระยะที่ 1 สมรรถนะกลางแจ้งของแมงเซลล์แสงอาทิตย์แบบอสัณฐานชิลิกอนภายใต้สภาวะอากาศร้อนชื้น ระยะที่ 2 การศึกษาการลดลงของสมรรถนะของแมงเซลล์แสงอาทิตย์ภายใต้สภาวะอากาศร้อนชื้นในระยะเวลา ระยะที่ 1 และ 2” พบว่า อัตราการลดลงสมรรถนะของแมงเซลล์แสงอาทิตย์ชนิด  $a\text{-Si}$   $p\text{-Si HIT}$  และ  $a\text{-Si:}\mu\text{C}$  เมื่อติดตั้งใช้งานเป็นระยะเวลา 7 ปี ประมาณร้อยละ  $0.980.25 - 0.34$  และ  $0.38$  ต่อปี จากข้อมูลดังกล่าวทำให้ทราบว่าแมงเซลล์แสงอาทิตย์ที่ติดตั้งใช้งานจะมีการลดลงของสมรรถนะ ดังนั้นคุณผู้วิจัยจึงมีแนวคิดที่จะทำการศึกษาเพื่อทราบถึงสาเหตุของการเปลี่ยนแปลงความต้านทานภายในแมงเซลล์แสงอาทิตย์ในสภาวะการใช้งานจริง และหาเทคนิคการตรวจวัดและวิเคราะห์หาค่าการเปลี่ยนแปลงความต้านทานภายในซึ่งส่งผลโดยตรงต่อการลดลงของความสามารถในการผลิตพลังงานไฟฟ้าของแมงเซลล์แสงอาทิตย์ภายใต้สภาวะการใช้งานจริงในลักษณะของโรงไฟฟ้าขนาดใหญ่

#### 2.1 เซลล์แสงอาทิตย์

เซลล์แสงอาทิตย์ คือ สารกึ่งตัวนำ (Semiconductor) ที่สามารถเปลี่ยนพลังงานจากแสงอาทิตย์ให้เป็นไฟฟ้าได้ โดยไฟฟ้าที่ได้นั้นจะเป็นไฟฟ้ากระแสตรง เซลล์แสงอาทิตย์โดยทั่วไปประกอบไปด้วยรอยต่อของสารกึ่งตัวนำ ซึ่งส่วนใหญ่คือชิลิกอนที่มีคุณสมบัติแตกต่างกัน เรียกรอยต่อนี้ว่า รอยต่อพีเจ็น ( $p\text{-n Junction}$ ) หน้าที่สร้างสนามไฟฟ้าภายในเซลล์แสงอาทิตย์

เมื่อแสงอาทิตย์ตกกระทบเซลล์แสงอาทิตย์ จะเกิดพาราหหางไฟฟ้าขึ้นสองชนิดคือ อิเล็กตรอน (ประจุลบ) และ โอล (ประจุบวก) สนามไฟฟ้าที่บริเวณรอยต่อพีเจ็นจะแยกอิเล็กตรอนที่เกิดขึ้นให้หลบไปทางขั้วลบและ แยกโอลให้หลบไปทางขั้วบวก มีผลทำให้เกิดแรงดันไฟฟ้าแบบกระแสตรงขึ้นที่ข้างสองดังนั้นเมื่อเราต่อขั้วดังกล่าวเข้ากับภาระทางไฟฟ้า (เครื่องใช้ไฟฟ้ากระแสตรง) ก็จะเกิดการไหลของกระแสไฟฟ้าขึ้นภายในวงจร ดังรูปที่ 5

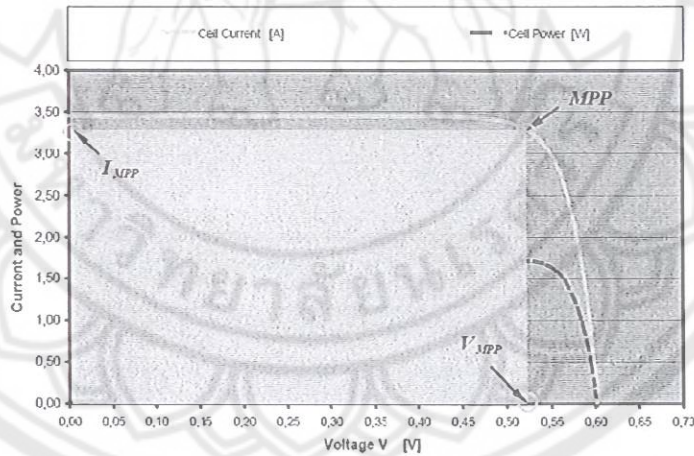
เซลล์แสงอาทิตย์โดยทั่วไปจะให้แรงดันไฟฟ้าประมาณ 0.5 โวลต์ ที่สภาวะจะระดับและไม่มีภาระทางไฟฟ้า ส่วนค่ากระแสไฟฟ้าของเซลล์แสงอาทิตย์จะขึ้นอยู่กับประสิทธิภาพและขนาดของเซลล์แสงอาทิตย์ (พื้นที่หน้าตัด) และยังขึ้นอยู่กับค่าความเข้มรังสีแสงอาทิตย์ที่ตกกระทบบนพื้นผิวของเซลล์แสงอาทิตย์ ตัวอย่างเช่น เซลล์แสงอาทิตย์จากโรงงานขนาดพื้นที่หน้าตัด 160 ตารางเซนติเมตร จะสามารถผลิตไฟฟ้าได้สูงสุดประมาณ 2 วัตต์ ที่สภาวะความเข้มแสงอาทิตย์ประมาณ 1,000 วัตต์ต่อตารางเมตร และเมื่อความเข้มแสงอาทิตย์ลดต่ำลงเหลือประมาณ 400 วัตต์ต่อตารางเมตร เซลล์แสงอาทิตย์นี้ก็จะผลิตไฟฟ้าได้เพียงประมาณ 0.8 วัตต์ [9]



รูปที่ 5 ลักษณะทั่วไปและการทำงานของแผงเซลล์แสงอาทิตย์ [9]

## 2.2 คุณสมบัติทางไฟฟ้าของแผงเซลล์แสงอาทิตย์

คุณสมบัติทางไฟฟ้าของแผงเซลล์แสงอาทิตย์สามารถอธิบายได้โดยใช้กราฟแสดงคุณสมบัติกระแส-แรงดันไฟฟ้าของแผงเซลล์แสงอาทิตย์ (IV-Curve) ลักษณะของ IV-Curve ไม่ว่าจะเป็นของเซลล์ (cell) โมดูล (module) แอร์เรย์ (array) จะมีลักษณะที่เดียวกันดังรูปที่ 6



รูปที่ 6 คุณสมบัติกระแสไฟฟ้าแรงดันไฟฟ้าของเซลล์แสงอาทิตย์ [10]

- ค่ากระแสไฟฟ้าสูงสุด ( $I_m$ ) คือค่ากระแสไฟฟ้าที่จุดกำลังไฟฟ้าสูงสุดของเซลล์แสงอาทิตย์ในขณะที่ต่ออยู่กับการทำงานไฟฟ้า
- ค่าแรงดันไฟฟ้าสูงสุด ( $V_m$ ) คือค่าแรงดันไฟฟ้าที่จุดกำลังไฟฟ้าสูงสุดของเซลล์แสงอาทิตย์ในขณะที่ต่ออยู่กับการทำงานไฟฟ้า

3. ค่ากระแสไฟฟ้าลัดวงจร ( $I_{sc}$ ) คือค่ากระแสไฟฟ้าของเซลล์แสงอาทิตย์ในขณะที่เกิดการลัดวงจร

4. ค่าแรงดันไฟฟ้าวงจรเปิด ( $V_{oc}$ ) คือค่าแรงดันไฟฟ้าของเซลล์แสงอาทิตย์ในขณะที่ไม่มีกระแสไฟฟ้า

5. ค่ากำลังไฟฟ้าสูงสุด ( $P_m$ ) คือค่ากำลังไฟฟ้าสูงสุดที่เซลล์แสงอาทิตย์จ่ายออกมานในขณะที่มีกระแสไฟฟ้า

6. ค่าพิล็อกแฟคเตอร์(F.F) คือค่าอัตราส่วนของกำลังไฟฟ้าสูงสุดต่อผลคูณระหว่างค่ากระแสไฟฟ้าลัดวงจรกับแรงดันไฟฟ้าวงจรเปิดสามารถเปลี่ยนเป็นสมการได้ดังต่อไปนี้

$$F.F = \frac{P_m}{I_{sc} \times V_{oc}} = \frac{I_{sc} \times V_m}{I_{sc} \times V_{oc}} \quad (2.1)$$

เซลล์แสงอาทิตย์ที่ดีควรมีค่าพิล็อกแฟคเตอร์มากกว่า 0.7 ขึ้นไป เพื่อที่จะให้จุดทำงานมีค่าใกล้เคียงกับจุดกำลังไฟฟ้าสูงสุด

7. ประสิทธิภาพสูงสุด ( $\eta_m$ ) คือ ค่าอัตราส่วนกำลังไฟฟ้าสูงสุดต่อห้องงานที่ได้รับของแผงเซลล์แสงอาทิตย์ ซึ่งหาค่าได้จากการ

$$\eta_m = \frac{P_m}{A_m \times G_t} \quad (2.2)$$

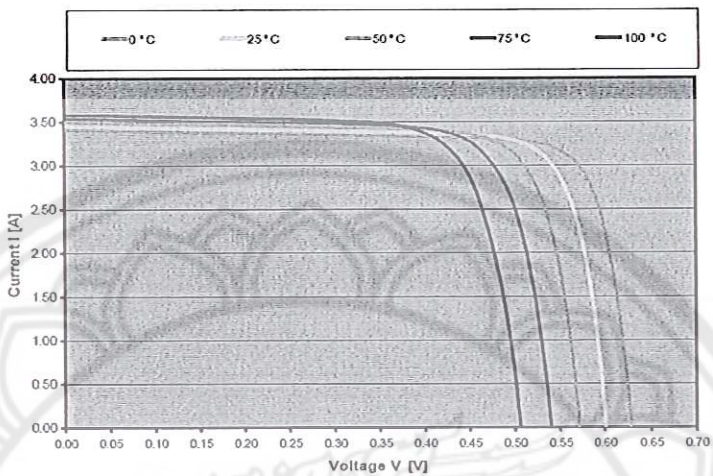
เมื่อ  $A_m$  คือ พื้นที่รับแสงของเซลล์แสงอาทิตย์ ( $m^2$ )  
 $G_t$  คือ ความเข้มรังสีอาทิตย์ ( $W/m^2$ )

ในการนี้ที่รูปกราฟ IV-Curve นี้เปลี่ยนแกนไปอยู่ใน Quadrant ที่สองหรือสี่ (ค่าแรงดันและกระแสไฟฟ้าเป็นลบ) จะหมายความว่าเกิดการสูญเสียกำลังไฟฟ้า ซึ่งสาเหตุอาจเกิดจากการที่เซลล์มีอุณหภูมิสูงมาก และใกล้ที่จะเสียหาย ดังนั้นจึงนิยมติดตั้ง Bypass Diode ไว้ที่แผงเซลล์เพื่อป้องกันการเกิดแรงดันไฟลัดย้อนกลับเข้าเซลล์แสงอาทิตย์

โดยปกติการทดสอบคุณสมบัติทางไฟฟ้าของแผงเซลล์แสงอาทิตย์เพื่อรับรองคุณภาพจะกระทำที่เงื่อนไขเดียวกับ Standard Testing Condition (STC) ซึ่งเงื่อนไขดังกล่าวการทดสอบเพื่อหาคุณสมบัติทางไฟฟ้าจะต้องภายใต้เงื่อนไขของความเข้มรังสีอาทิตย์  $1,000 W/m^2$  ที่ค่ามวลอากาศ 1.5 และ อุณหภูมิเซลล์  $25^\circ C$

สำหรับแผงเซลล์แสงอาทิตย์แล้วจะมีลักษณะเฉพาะที่น่าสนใจคือกระแสไฟฟ้าที่ผลิตได้จะเพิ่มขึ้นอย่างสม่ำเสมอเมื่อความเข้มรังสีอาทิตย์เพิ่มขึ้น ซึ่งส่งผลต่อ IV-Curve ของแผงเซลล์แสงอาทิตย์ที่สภาวะความเข้มรังสีดวงอาทิตย์คงที่ กับที่สภาวะอุณหภูมิแตกต่างกันกำลังไฟฟ้าที่ผลิตได้ของเซลล์แสงอาทิตย์ชนิดซิลิกอนจะคงลงเมื่ออุณหภูมิเซลล์สูงขึ้น ส่วนค่ากระแสันจะเพิ่มขึ้นเล็กน้อย ในขณะที่ค่า

แรงดันไฟฟ้าจะตกลงอย่างมาก ซึ่งโดยปกติกำลังไฟฟ้าจะตกลงไปประมาณ 0.4–0.6 เปอร์เซ็นต์ต่อองศาเซลเซียส[11]



รูปที่ 7 IV-Curve กรณีเมื่อค่าความเข้มรังสีอาทิตย์คงที่และอุณหภูมิเซลล์เพิ่มขึ้น [10]

### 2.3 ตัวแปรทางธรรมชาติที่ส่งผลต่อสมรรถนะของแผงเซลล์แสงอาทิตย์

ผลของอุณหภูมิต่อกระแสไฟฟ้าลดลงจริงและแรงดันไฟฟ้าจะจรเปิด

จากที่ได้กล่าวไว้ในหัวข้อที่ผ่านมาถึงผลของอุณหภูมิเซลล์ว่าส่งผลผลกระทบโดยตรงกับคุณสมบัติทางไฟฟ้าของเซลล์แสงอาทิตย์ สามารถอธิบายรายละเอียดของผลกระทบดังกล่าว

ผลของอุณหภูมิต่อกระแสไฟฟ้าลดลงจร

กระแสไฟฟ้าลดลงจะสามารถเขียนเป็นสมการทางคณิตศาสตร์ได้ดังสมการ

$$I_e = \eta_e (l - r)(l - e^{-\alpha}) q n_p(E_s) \quad (2.3)$$

เมื่อ  $\eta_e$  คือ ประสิทธิภาพในการเปลี่ยนคุณภาพอน - โอลให้เป็น  
กระแสไฟฟ้า

$r$  คือ สัมประสิทธิ์การสะท้อนแสงที่ผิวด้านรับแสงของเซลล์

$\alpha$  คือ สัมประสิทธิ์การดูดกลืนของเซลล์แสงอาทิตย์ ( $\text{cm}^{-1}$ )

$l$  คือ ระยะทางที่ไฟต่อนในแสงอาทิตย์ที่สารกึ่งตัวนำซึ่งมีช่องว่าง  
พลังงานสามารถดูดกลืนได้  $\text{photon}/\text{cm}^2 \cdot \text{sec}$

$e^{-\alpha}$  คือ สัดส่วนของไฟต่อนที่ทะลุผ่านเซลล์ต่อไฟต่อนที่ผลกระทบ  
ทั้งหมด

$E_g$  คือ ช่องว่างพลังงานของสารกึ่งตัวนำ (eV)

เมื่อพิจารณาซึ่งว่างพลังงานของสารกึ่งตัวนำจะพบว่าช่องว่างพลังงานจะลดลงเมื่ออุณหภูมิสูงขึ้นและจะมีความสัมพันธ์กับอุณหภูมิตั้งสมการ

$$E_g(T) = E_{g0} \frac{\gamma T^2}{T + \beta} \quad (2.4)$$

เมื่อ  $E_{g0}$  คือ ช่องว่างพลังงานของสารกึ่งตัวนำที่ศูนย์องศาสัมบูรณ์มีค่าเท่ากับ 1.16 eV

$E_g(T)$  คือ ช่องว่างพลังงานของสารกึ่งตัวนำที่อุณหภูมิใดๆ (eV)

$\gamma$  ค่าคงที่เฉพาะสารกึ่งตัวนำใดๆ สำหรับชิลิกอน =  $7.02 \times 10^{-4}$  eV/K

$\beta$  ค่าคงที่เฉพาะของสารกึ่งตัวนำใดๆ สำหรับชิลิกอน = 1,108 K

เมื่ออุณหภูมิของสารกึ่งตัวนำเพิ่มขึ้นช่องว่างพลังงานจะลดลงสำหรับชิลิกอนช่องว่างพลังงานจะลดลงประมาณ  $2.3 \times 10^{-4}$  eV/K ดังนั้นจำนวนไฟตอนที่มีพลังงานมากกว่าช่องว่างพลังงานจะมีจำนวนเพิ่มขึ้นเป็นผลให้กระแสไฟฟ้าลัดวงจรมากขึ้น

จากตารางที่ 1 แสดงค่าของช่องว่างพลังงานของชิลิกอนที่อุณหภูมิต่างๆ ซึ่งจะเห็นได้ว่าช่องว่างพลังงานของชิลิกอนจะเปลี่ยนไปเล็กน้อยขณะที่อุณหภูมิเพิ่มขึ้นจาก 25 – 70°C ด้วยเหตุผลนี้จึงทำให้กระแสไฟฟ้าลัดวงจรเพิ่มขึ้นเล็กน้อยขณะที่อุณหภูมิเซลล์สูงขึ้น ในทางปฏิบัติอาจจะถือว่าอุณหภูมิไม่มีผลกระทบต่อกระแสไฟฟ้าลัดวงจรก็ได้

ตารางที่ 1 ช่องว่างพลังงานของชิลิกอนกับอุณหภูมิ

อุณหภูมิ (°C)	ช่องว่างพลังงาน (eV)
25	1.115
30	1.114
35	1.129
40	1.111
45	1.110
50	1.108
55	1.107
60	1.105
65	1.104
70	1.103

ผลของอุณหภูมิต่อแรงดันไฟฟ้าวงจรเปิด  
แรงดันไฟฟ้าวงจรเปิดสามารถเขียนเป็นสมการทางคณิตศาสตร์ได้ดังสมการ

$$V_{oc} = qN_c N_v A_p \left[ \frac{1}{N_A} \sqrt{\frac{D_n}{\tau_n}} + \frac{1}{N_D} \sqrt{\frac{D_p}{\tau_p}} \right] e^{-\epsilon_f/kT} \quad (2.5)$$

โดยที่

$$\sqrt{\tau_n} = \frac{L_n}{\sqrt{D_n}} \quad (2.6)$$

$$\sqrt{\tau_p} = \frac{L_p}{\sqrt{D_p}} \quad (2.7)$$

$$N_c = 2 \left[ \frac{2\pi m_e * kT}{h^2} \right]^{3/2} \quad (2.8)$$

$$N_v = 2 \left[ \frac{2\pi m_h * kT}{h^2} \right]^{3/2} \quad (2.9)$$

เมื่อ  $N_c$  คือ ความหนาแน่นประสิทธิผลของอิเล็กตรอนสเตทในແບตัวนำ ( $\text{cm}^{-3}$ )

$N_v$  คือ ความหนาแน่นประสิทธิผลของໂයලສเตทในແບວາເລນ໌ ( $\text{cm}^{-3}$ )

$D_n$  คือ ค่าคงที่ของการແພ່ງของອิเล็กตรอน ( $\text{cm}^2/\text{sec}$ )

$D_p$  คือ ค่าคงที่ของการແພ່ງของໂຍລ ( $\text{cm}^2/\text{sec}$ )

$L_n$  คือ ระยะແພ່ງของອิเล็กตรอนในสารกึ่งตัวนำชนิดที่ ( $\text{cm}$ )

$N_D$  คือ ความหนาแน่นของຄອນແນວ ( $\text{cm}^{-3}$ )

$N_A$  คือ ความหนาแน่นของແກຂບ່ອງ ( $\text{cm}^{-3}$ )

$A_p$  คือ พื้นที่หน้าตัดของรอยต่อ ( $\text{m}^2$ )

$m_e$  คือ มวลประสิทธิภาพของอิเล็กตรอน ( $\text{kg}$ )

$m_h$  คือ มวลประสิทธิภาพของໂຍລ ( $\text{kg}$ )

$h$  คือ ค่าคงที่ของแพลงค์ ( $\text{J}\cdot\text{sec}$ )

จำนวนอิเล็กตรอนหรือໂຍລໃນสารกึ่งตัวนำบริสุทธิ์เป็นไปตามสมการ

$$n_i^2 = N_c N_v e^{-\epsilon_f/kT} \quad (2.10)$$

จากสมการสามารถเขียน  $V_{oc}$  ให้ได้ดังนี้

$$V_{oc} = qA_p n_i^2 \left[ \frac{D_n}{N_a L_n} / \frac{D_p}{N_b L_p} \right] \quad (2.11)$$

ค่า  $g^2$  สำหรับซิลิกอนมีความสัมพันธ์กับอุณหภูมิตั้งสมการ

$$n_i^2 = 1.54 \times 10^{33} T^{33} 10^{6080/T} \quad (2.12)$$

ดังนั้นเมื่ออุณหภูมิเพิ่มขึ้น ก.  $L_n$  และ  $L_p$  จะเพิ่มขึ้นแต่การเพิ่มของ  $g$  กลามากกว่าการเพิ่มของ  $L_n$  และ  $L_p$  ซึ่งเป็นผลให้กระแสอิมตัวย้อนกลับเพิ่มขึ้น เมื่อกระแสอิมตัวย้อนกลับมากขึ้นค่าแรงดันไฟฟ้าจะรีเปิดจะลดลง

ผลของอุณหภูมิต่อกำลังไฟฟ้าสูงสุด

กำลังไฟฟ้าสูงสุดของเซลล์แสงอาทิตย์ชนิดซิลิกอนจะลดลงเมื่ออุณหภูมิเพิ่มขึ้น สามารถอธิบายด้วยสมการทางคณิตศาสตร์ดังนี้

$$P_m = P_m(STC) [1 - 0.005(T_{cell} - 25)] \quad (2.13)$$

เมื่อ	$P_m$ (STC)	คือ กำลังไฟฟ้าสูงสุดของเซลล์แสงอาทิตย์ที่สภาวะมาตรฐาน (W)
	$T_{cell}$	คือ อุณหภูมิของเซลล์ ( $^{\circ}\text{C}$ )

ดังนั้นถ้าเซลล์แสงอาทิตย์ที่สภาวะมาตรฐานมีกำลังไฟฟ้าสูงสุด 50 W เมื่อนำมาใช้งานที่อุณหภูมิของเซลล์  $55^{\circ}\text{C}$  กำลังไฟฟ้าสูงสุดจะเหลือ 34 W ในกรณีของประสิทธิภาพสูงสุดจะมีความสัมพันธ์กับอุณหภูมิตั้งสมการ

$$\eta_m = \eta_m(STC) [1 - 0.003(T_{cell} - 25)] \quad (2.14)$$

อุณหภูมิอากาศแวดล้อม (Ambient Temperature) [12]

การพิจารณาอุณหภูมิแวดล้อมในเขตต้อนรับจะใช้สมการของ Sinusoidal ambient temperature โดยจะพิจารณาจาก อุณหภูมิแวดล้อมสูงสุดและต่ำสุดของวันนั้น

$$T_{amb}(t) = \frac{1}{2} \left[ (T_{max} + T_{min}) + (T_{max} - T_{min}) \sin \left( \frac{2\pi}{24} t \right) \right] \quad (2.15)$$

เมื่อ:

$T_{amb}(t)$	คือ อุณหภูมิแวดล้อม ณ เวลาที่พิจารณา ( $^{\circ}\text{C}$ )
$T_{max}$	คือ อุณหภูมิแวดล้อมสูงสุดของวัน ( $^{\circ}\text{C}$ )
$T_{min}$	คือ อุณหภูมิแวดล้อมต่ำสุดของวัน ( $^{\circ}\text{C}$ )
$t$	คือ $h - 9$
$h$	คือเวลาที่พิจารณา (ชั่วโมง)

## 2.4 การลดลงของสมรรถนะของแพนเซลล์แสงอาทิตย์[13]

สาเหตุทำให้สมรรถนะของเซลล์แสงอาทิตย์ลดลงไป ดังต่อไปนี้

### 2.4.1 การลดลงของสมรรถนะของแพนเซลล์แสงอาทิตย์ที่เกิดจากผิวน้ำของแพนเซลล์แสงอาทิตย์ คือ การสูญเสียกระแสไฟฟ้าลัดวงจร ซึ่งมีหลายสาเหตุ ได้แก่

2.4.1.1 การสะท้อนแสงที่ผิวของเซลล์แสงอาทิตย์ เนื่องจากผิวที่รับแสงของสารกึ่งตัวนำนั้น โดยทั่วไปมีค่าสัมประสิทธิ์การสะท้อนแสงที่สูงมาก ดังนั้นโฟตรอนจำนวนมากจึงถูกสะท้อนกลับ โดยไม่ได้เดินทางเข้าไปในสารกึ่งตัวนำ วิธีการลดการสะท้อนแสงวิธีหนึ่ง ได้แก่การเคลือบฟิล์มนป้องกันการสะท้อนแสง เช่น  $\text{SiO}_2$  และ  $\text{Si}_3\text{N}_4$

2.4.1.2 การสร้างข้าวไฟฟ้าบนผิวด้านรับแสง เช่น การเคลือบข้าว Al เป็นลายเส้นด้านผิว.rับแสง ทำให้เกิดการบังแสง พื้นที่ที่บังแสงมีประมาณ 5-15 % ของพื้นที่ทั้งหมด

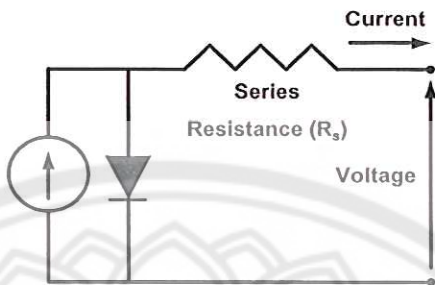
2.4.1.3 โฟตรอนบางตัวไม่ถูกดูดกลืน แต่สามารถเดินทางทะลุสารกึ่งตัวนำออกไปทางด้านหลังของเซลล์แสงอาทิตย์ ทั้งนี้เพราะสัมประสิทธิ์การดูดกลืนแสงมีค่าไม่มาก วิธีการแก้ไขคือ การใช้ผลึกที่มีความหนาที่เพียงพอ สารกึ่งตัวนำที่มีเชื่องว่างพลังงานชนิดไม่ตrong ต้องใช้ความหนามากกว่าสารกึ่งตัวนำที่มีเชื่องว่างพลังงานชนิดตรง

2.4.1.4 มีการสูญเสียนៃองจากอิเล็กตรอนและไฮดรอนตัวกันก่อนที่จะออกสู่ภายนอกเซลล์แสงอาทิตย์ การรวมตัวกันเกิดขึ้นมากที่บริเวณผิวของสารกึ่งตัวนำและในขั้นที่ไม่มีสนามไฟฟ้าภายในปกติพำนะไฟฟ้าที่สามารถเดินทางออกสู่ภายนอกได้ต้องแก้พำนะไฟฟ้าที่เกิดขึ้นในย่านปลดพำนะซึ่งมีศักย์ไฟฟ้าภายใน (built-in potential) ช่วยพัดพาให้พำนะไฟฟ้าหลุดด้วยสนามไฟฟ้า

### 2.4.2 การลดลงของสมรรถนะของแพนเซลล์แสงอาทิตย์ที่เกิดจากตัวเซลล์ของแพนเซลล์แสงอาทิตย์ มีดังนี้

2.4.2.1 เกิดจากการสึกกร่อนของรอยต่อหรือเกิดจากการลดลงของแรงยึดเหนี่ยว โครงสร้างเซลล์ของแพนเซลล์แสงอาทิตย์ ค่าความต้านทานอนุกรมของแพนเซลล์แสงอาทิตย์เปลี่ยนแปลง เกิดขึ้นได้จากหลายสาเหตุ เช่น ความต้านของรอยต่อ p-n ความต้านทานของข้าวไฟฟ้า ความต้านทานที่รอยต่อของสารกึ่งตัวนำและข้าวไฟฟ้า เป็นต้น ค่าความต้านทานอนุกรมเพิ่มขึ้นจะมีผลทำให้กระแสไฟฟ้าที่

ให้ลงในແຜ່ນເຊື້ອແສງອາທິດຍົດຄວາມສຳຜັນໃຫ້ຄ່າກະຮະແສໄພຟ້າທີ່ແຜ່ນເຊື້ອແສງອາທິດຍົດສາມາດຜົດໄດ້ລັດລົງ ໂດຍ  
ທີ່ກຳລັງໄພຟ້າຂອງແຜ່ນເຊື້ອແສງອາທິດຍົດສາມາດເຂົ້າເປັນ ສາມາດເຂົ້າເປັນໄດ້ດັ່ງນີ້



ຮູບທີ່ 8 ວິຈາຂອງຄວາມຕ້ານທານອນຸກຮົມຂອງແຜ່ນເຊື້ອແສງອາທິດຍົດ

$$P_m = \frac{(V_{mp} - I_{mp} R_s)}{I_{mp}} \quad (2.16)$$

$$= P_{mp} \left(1 - \frac{I_{mp} R_s}{V_{mp}}\right) \quad (2.17)$$

$$= P_{mp} \left(1 - \frac{I_{sc} R_s}{V_{oc}}\right) \quad (2.18)$$

$$R_s = \frac{\Delta V}{I} \quad (2.19)$$

ເນື້ອ  $P_m$  ຄື່ອ ດຳລັງໄພຟ້າສູງສຸດທີ່ເຊື້ອແສງອາທິດຍົດຈໍາຍອອກນາໃນຂະໜາທີ່ມີກະຮະທາງໄພຟ້າ

$V_{mp}$  ຄື່ອ ດັນໄພຟ້າສູງສຸດທີ່ເຊື້ອແສງອາທິດຍົດຈໍາຍອອກນາໃນຂະໜາທີ່ມີກະຮະທາງໄພຟ້າ

$I_{mp}$  ຄື່ອ ດຳຮະແສໄພຟ້າສູງສຸດທີ່ເຊື້ອແສງອາທິດຍົດຈໍາຍອອກນາໃນຂະໜາທີ່ມີກະຮະທາງໄພຟ້າ

$R_s$  ຄື່ອ ດຳຄວາມຕ້ານທານອນຸກຮົມຂອງເຊື້ອແສງອາທິດຍົດ

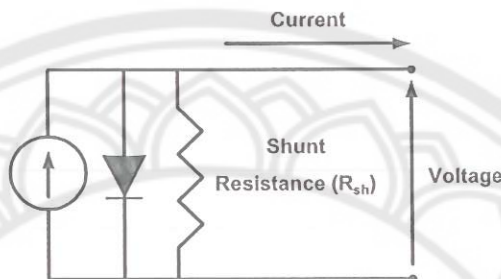
$\Delta V$  ຄື່ອ ດຳຄວາມແຕກຕ່າງຂອງແດນໄພຟ້າທີ່ເຊື້ອແສງອາທິດຍົດທີ່ສາມາດຜົດໄດ້

$I$  ຄື່ອ ດຳຮະແສໄພຟ້າທີ່ເຊື້ອແສງອາທິດຍົດສາມາດຜົດໄດ້

$I_{sc}$  ຄື່ອ ດຳຮະແສໄພຟ້າຂອງເຊື້ອແສງອາທິດຍົດໃນຂະໜາທີ່ເກີດກາລັດວຽກ

$V_{oc}$  ຄື່ອ ດັນໄພຟ້າຂອງເຊື້ອແສງອາທິດຍົດໃນຂະໜາທີ່ໄມ້ກະຮະທາງໄພຟ້າ

2.4.2.2 เกิดจากการเสื่อมของโลหะผสมที่อยู่ระหว่างรอยต่อพีอี็น (p-n junction) ทำให้ค่าความต้านทานชั้นต่อลดลง ความต้านทานชั้นต่อก็จะเกิดจาก การเกิดร้าวของแรงดันไฟฟ้าที่ขอบของเซลล์ แสงอาทิตย์ หรือเกิดจากความไม่สมบูรณ์ของผลึก ซึ่งการลดลงของความต้านทานชั้นต่จะมีผลทำให้ แรงดันไฟฟ้าที่ไฟฟ้าในเซลล์แสงอาทิตย์ลดลงส่งผลให้ค่าแรงดันไฟฟ้าที่เซลล์แสงอาทิตย์สามารถผลิตได้ ลดลง โดยที่กำลังไฟฟ้าของแผงเซลล์แสงอาทิตย์สามารถเปลี่ยนเป็น สมการได้ดังนี้



รูปที่ 9 วงจรของความต้านทานชั้นต่ของแผงเซลล์แสงอาทิตย์

$$P_m = P_{mp} \left( I_{mp} - \frac{V_{mp}}{V_{mp} \times R_{sh}} \right) \quad (2.20)$$

$$= P_{mp} \left( 1 - \frac{V_{mp}}{I_{mp} \times R_{sh}} \right) \quad (2.21)$$

$$= P_{mp} \left( 1 - \frac{V_c}{I_c \times R_{sh}} \right) \quad (2.22)$$

$$R_{sh} = \frac{V}{\Delta I} \quad (2.23)$$

เมื่อ  $R_{sh}$  คือ ค่าความต้านทานชั้นต่ของโลหะผสมที่อยู่ระหว่างรอยต่อพีอี็น

$V$  คือ ค่าแรงดันไฟฟ้าที่เซลล์แสงอาทิตย์สามารถผลิตได้

$\Delta I$  คือ ค่าความแตกต่างของเซลล์แสงอาทิตย์สามารถผลิตได้

## 2.5 การทดสอบรวมทุกกระบวนการที่เกี่ยวข้อง

David L. King, et al [2] ได้ทำการศึกษาพัฒนาสมการและประยุกต์ใช้กับการหาสมรรถนะของ แผงเซลล์แสงอาทิตย์มากกว่า 12 ปี โดยใช้ตัวแปรต่างๆ เช่น กำลังไฟฟ้าอุณหภูมิ และความเข้มรังสี อาทิตย์ จากการศึกษาพัฒนาพบว่าสมการนี้สามารถวิเคราะห์สมรรถนะของระบบเซลล์แสงอาทิตย์ได้อย่างแม่นยำ

AchitponSaSitharanuwata, et al [3] ได้ทำการศึกษาและทดสอบระบบสถานีผลิตไฟฟ้ากระแสสลับด้วยเซลล์แสงอาทิตย์ขนาด 10kWPn วิทยาลัยพลังงานทดแทน มหาวิทยาลัยนเรศวรหลังจากติดตั้งใช้งานมาเป็นระยะเวลา 11 เดือน จากการศึกษาพบว่า ระบบสามารถผลิตพลังงานไฟฟ้าได้เท่ากับ 14,124 kWh และประสิทธิภาพของแผงเซลล์แสงอาทิตย์แบบ a-Si p-Si และ HIT มีค่าเท่ากับ 6.26% 10.48% และ 13.78% และสมรรถนะของระบบ เท่ากับ 0.57 - 0.79

KritwiputPhaokeaw, et al [4] ได้ทำการศึกษาเปรียบเทียบสมรรถนะของแผงเซลล์แสงอาทิตย์แบบ a-Si p-Si และ HIT ภายใต้สภาวะอากาศร้อนชื้นจากการศึกษาพบว่า a-Si สามารถผลิตพลังงานไฟฟ้าได้มากกว่า p-Si และ HIT

ณัฐวุฒิ ขาวสะอาด และคณะ[5] ทำการศึกษาพัฒนาไฟฟ้าที่แผงเซลล์แสงอาทิตย์ผลิตได้ภายใต้สภาวะการใช้งานจริงโดยทำการศึกษาข้อมูลของแผงเซลล์แสงอาทิตย์ 3 ชนิด คือ ซิลิกอนอัมorphous (Amorphous Silicon Solar Cell; a-Si) ผลึกสมบูรณ์ (Poly Crystalline Silicon Solar Cell; p-Si) และไฮบริดซิลิกอน (Hybrid Solar cell; HIT) ของระบบสาธิตสถานีผลิตไฟฟ้ากระแสสลับจากเซลล์แสงอาทิตย์ขนาด 10 กิโลวัตต์ ภายในวิทยาลัยพลังงานทดแทน มหาวิทยาลัยนเรศวรในการวิเคราะห์หา พลังงานไฟฟ้าที่แผงเซลล์แสงอาทิตย์ทั้ง 3 ชนิด สามารถผลิตได้นั้น ใช้ข้อมูลตั้งแต่เดือนกรกฎาคม พ.ศ. 2548 จนถึงเดือนมีนาคม พ.ศ. 2551 เพื่อเปรียบเทียบค่าพลังงานไฟฟ้าที่แผงเซลล์แสงอาทิตย์สามารถผลิตได้เป็นรายปี ผลการศึกษาพบว่าค่าพลังงานไฟฟ้าที่ แผงเซลล์แสงอาทิตย์ชนิด a-Si p-Si และ HIT สามารถผลิตได้ ในปี 2548 มีค่าเท่ากับ 885739 และ 798kWh/kWp ในปี 2549 มีค่าเท่ากับ 1,8911,676 และ 1,779kWh/kWp ในปี 2550 มีค่าเท่ากับ 1,7611,604 และ 1,703kWh/kWp และในปี 2551 มีค่าเท่ากับ 1,6701,496 และ 1,583kWh/kWp ตามลำดับ

NiponKetjoy, et al [6] ได้ทำการศึกษาพัฒนาไฟฟ้าที่แผงเซลล์แสงอาทิตย์สามารถผลิตได้และอัตราการลดลงของสมรรถนะแผงเซลล์แสงอาทิตย์ชนิด a-Si p-Si และ HIT ของระบบสถานีผลิตไฟฟ้ากระแสสลับด้วยเซลล์แสงอาทิตย์ขนาด 10kWPn วิทยาลัยพลังงานทดแทน มหาวิทยาลัยนเรศวร ที่ติดตั้งใช้งานตั้งแต่ปี 2548 จนถึง 2553 ผลการศึกษาพบว่าพลังงานไฟฟ้าที่แผงเซลล์แสงอาทิตย์ชนิด a-Si p-Si และ HIT สามารถผลิตได้เท่ากับ 4.86 h/d 4.36 h/d และ 4.60 h/d ตามลำดับ และมีอัตราการลดลงของสมรรถนะของแผงเซลล์แสงอาทิตย์ชนิด a-Si เท่ากับ 0.92% HIT เท่ากับ 0.87% และน้อยที่สุด คือ p-Si เท่ากับ 0.83%

Peter Hacke, et al [14] ได้ทำการศึกษาเรื่องการเสื่อมสภาพและพัฒนาสูญเสียของแผงเซลล์แสงอาทิตย์ ที่ได้จากการวิเคราะห์ ซึ่งถูกการกระทำจากแรงดันของระบบ เซลล์แสงอาทิตย์บางส่วนนี้ที่ครบกำหนดจะถูกนำมาระบบตามมาตรฐาน แต่ไม่เพียงพอสำหรับการประเมินถึงความทนทานของแผงเซลล์ได้ในระยะยาวที่จะได้รับผลกระทบจากแรงดันไฟฟ้าสูงๆ จากประสบการณ์ในโรงไฟฟ้าจริงๆ ได้ แรงดันไฟฟ้าสูงๆ จะนำไปสู่การเสื่อมสภาพของแผงเซลล์จากความหลากหลายของกลไก ขอบเขตของแรงดันต่อการเสื่อมสภาพจะเกี่ยวเนื่องกับ Leakage current หรือ Coulombs ผ่านชั้นผลิตกระแสของเซลล์ ผ่านไปยังชั้นวนและกระจุไปสู่กราวด์เพื่อรวมของแผงเซลล์ ที่สามารถกำหนดการทดลองได้ อย่างไรก็

ตาม ผลกระทบจากการผลิตจะไม่มีความแน่นอน วิธีการประมาณการวิธีทดสอบและระดับของ การกระทำจากแรงดันไฟฟ้าสามารถอธิบายได้ถึงการกระทำกับแผงเซลล์และความทนทานต่อแรงดันของ ระบบที่จะทำให้เกิด PID กับกลไกของระบบ ข้อมูลนี้ได้จากการทดสอบแบบกลางแจ้งที่ได้ทำการทดลอง มาแล้ว ซึ่งจะถูกใช้สำหรับประมาณการโดยการเร่งตัวแปรที่ต้องการเพื่อประเมินผลกระทบของแรง เซลล์แสงอาทิตย์ต่อการกระทำจากแรงดันของระบบ จากการเร่งให้เกิด PID สามารถสังเกตได้จากผิวของ ตัวเซลล์หลังจาก การกระทำของแรงดันไฟฟ้าสูงๆ พบว่าลดการเกิด PID ใน การ damp heat ด้วยการ จ่ายไฟลงที่ชั้นผลิตกระแส

Faraz Ebneali [15] ได้ทำการศึกษาผลกระทบต่อแผงเซลล์แสงอาทิตย์ จากอุณหภูมิและตัวนำที่ ผิวน้ำแผงเซลล์ เริ่มจากศึกษาแรงดันไฟฟ้าสูง อุณหภูมิและความชื้น ที่จะส่งผลต่อแผงเซลล์ชนิดผลึก รวม เพื่อเปรียบเทียบผลกระทบจากอุณหภูมิต่อการกระตุนและระดับการเสื่อมสภาพ เพื่อหา ความสัมพันธ์ระหว่างกระแสรั่วและพลังงานที่ลดลง เพื่อเปรียบเทียบและการประมาณการ อัตราการ ลดลงของการเสื่อมสภาพต่อแผงใหม่จากตัวอย่าง Thermal cycling (TC) และ Damp heat (DH) เพื่อ เช้าใจนิodicของแผงเซลล์ที่เหมาะสมสำหรับการทดสอบ PID เพื่อหารดับการกัดกร่อนทางเคมีไฟฟ้าและ ความต้านทานระหว่างรอยต่อ เพื่อวิเคราะห์การย้อนกลับของกำลังไฟฟ้า จากตัวอย่างหลังจากทดสอบ การเสื่อมสภาพ เพื่อประมาณการความต้านทานไฟฟ้าภายใน ( $R_s$ ) ของตัวอย่างก่อนและหลังทดสอบ PID เพื่อตรวจสอบและยืนยันก่อนศึกษา PID

Lele Peng, et al [16] ได้ทำการศึกษาวิธีการใหม่สำหรับการกำหนดคุณลักษณะ I-V และ P-V ของเซลล์แสงอาทิตย์ โดยใช้การวิเคราะห์ปัญหาที่แน่นอนชัดเจน กราฟ I-V และ P-V ของโมดูลที่มีความ สอดคล้องกันจะถูกนำมาคำนวณและสร้างแบบจำลอง เทคนิคใหม่จะถูกนำเสนอโดยใช้ฟังก์ชัน Lambert W และ การปรับกราฟสมการพหุนามย่อยเพื่อทำการแยกตัวแปร วิธีการนี้ประสบความสำเร็จเมื่อถูก นำไปใช้ในเซลล์แสงอาทิตย์และโมดูลเซลล์แสงอาทิตย์เชิงพาณิชย์ ผลลัพธ์ที่ได้อุปในข้อตกลงที่ดีกับผู้ที่ เผยแพร่ก่อนหน้านี้นักวิชาการที่ได้มีเพียงแต่มีค่าผิดพลาดของกระแสไฟฟ้าที่ น้อยแต่ยังมีค่าเบี่ยงเบนของพลังงานน้อย โดยเฉพาะอย่างยิ่ง ณ จุดที่ค่ากำลังไฟฟ้าสูงสุด

S. Kaplanis and E. Kaplani. [17] ได้ทำการศึกษาประสิทธิภาพของพลังงานและการ เสื่อมสภาพของ 3 BP PV modules ชนิด BP 1233 ระยะเวลาการดำเนินการมากกว่า 20 ปี ใน การศึกษาและเปรียบเทียบข้อมูลของกำลังไฟฟ้าออก ทั้ง 3 โมดูลของเซลล์แสงอาทิตย์ถูกติดตั้งกลางแจ้ง ในมหาวิทยาลัยพลังงานแสงอาทิตย์ (Solar Campus) และดำเนินการได้อย่างราบรื่นในตลอดระยะเวลา ดำเนินการ โดยปราศจากการดูแลหรือการบำรุงรักษา ถึงแม้ว่าแผงเซลล์แสงอาทิตย์จะมีสภาพทาง กายภาพเปลี่ยนจากการหากัดตกบนผิวหน้าต่างๆ แต่ก็ยังคงสามารถทำงานได้ดี ไม่เสื่อมสภาพอย่างมาก การเสื่อมสภาพอย่างมากจะสังเกตได้จากความเสื่อมของไฟฟ้าภายใน STC อนุกรมและขนาดตัวต้านทานตามลำดับ และค่าไฟวัล์ฟอก เตอร์ (FF) สาเหตุของการเสื่อมสภาพเกิดจากความเสื่อมของไฟฟ้าภายใน STC อนุกรมและขนาดตัวต้านทานตามลำดับ และค่าไฟวัล์ฟอก เตอร์ (FF) เป็นต้น โดยตระหนักในการตรวจสอบจุดกำเนิด

M. Fuentes et al. [18] ได้ทำการศึกษาการทำนายการผลิตพลังงานไฟฟ้าที่แสงเซลล์แสงอาทิตย์สามารถผลิตได้ภายใต้สภาวะการใช้งานจริง โดยการข้อมูลของแสงเซลล์แสงอาทิตย์ชนิด m-Si และ p-Si ภายใต้ภูมิอากาศแบบเมดิเตอร์เรเนียน จำนวน 12 เดือน และใช้ทฤษฎีพีชคณิต (algebraic methods) ในการสร้างสมการสำหรับทำนายการผลิตพลังงานไฟฟ้าที่แสงเซลล์แสงอาทิตย์สามารถผลิตได้เปรียบเทียบกับการวิเคราะห์ภายใต้สภาวะการใช้งานจริงจากผลการศึกษาพบว่าสมการที่คณะผู้วิจัยสร้างขึ้นเปรียบเทียบการวิเคราะห์ภายใต้การใช้งานจริงมีความคลาดเคลื่อนประมาณ 5 % ทั้งการทำนายกำลังไฟฟ้าและพลังงานไฟฟ้าที่แสงเซลล์แสงอาทิตย์สามารถผลิตได้

E.E. van Dyk , E.L. Meyer [19] ได้ทำการศึกษาการสืกร่องของ Parasitic resistances ทำให้มีผลต่อประสิทธิภาพของแสงเซลล์แสงอาทิตย์เนื่องจากทำให้พลังงานไฟฟ้าที่ออกมานลดลง โดยการศึกษารังนี้ได้ทำการศึกษาผลกระทบของประสิทธิภาพของแสงเซลล์แสงอาทิตย์ที่ได้รับจากความด้านท่านอนุกรมและความด้านท่านชั้นต์ ซึ่งจะนำเทคโนโลยีมาใช้ในการวิเคราะห์และแสดงให้เห็นค่าของแรงดันไฟฟ้าและกระแสไฟฟ้าที่ได้รับผลกระทบจากความด้านท่านทั้ง 2 ตัวนี้ จากการวิเคราะห์การลดลงของประสิทธิภาพของแสงเซลล์แสงอาทิตย์ชนิดอมอร์ฟสีจิลิกอน ซึ่งการเพิ่มขึ้นของความด้านท่านอนุกรมของแสงขนาด  $130 \text{ kWh/m}^2$  ทำให้เกิดการสูญเสียพลังงานไฟฟ้าถึง 50% และการลดลงของความด้านท่านชั้นต์ 29 % ของแสง CuInSe<sub>2</sub> ทำให้เกิดการสูญเสียพลังงานไฟฟ้าถึง 6 % จากการศึกษาในครั้งนี้แสดงให้เห็นถึงผลกระทบที่เกิดจากการเพิ่มขึ้นของความด้านท่านอนุกรมและการลดลงของความด้านท่านชั้นต์จะทำให้ประสิทธิภาพของแสงเซลล์แสงอาทิตย์ลดลง

## 2.6 สรุปงานวิจัยที่เกี่ยวข้อง

จากผลงานวิจัยที่เกี่ยวข้องสามารถสรุปได้ว่า การเปลี่ยนแปลงของความด้านท่านภายในของแสงเซลล์แสงอาทิตย์นั้น โดยทั่วไปมาจากการเสื่อมสภาพของแสงเซลล์แสงอาทิตย์ เป็นผลมาจากการเพิ่มขึ้นของความด้านท่านอนุกรมและการลดลงของความด้านท่านชั้นต์ ทำให้แสงเซลล์แสงอาทิตย์มีสมรรถนะลดลงตามไปด้วย และวิธีการหาความด้านท่านภายในของแสงเซลล์แสงอาทิตย์โดยทั่วไป จะใช้วิธีการทดสอบโดยใช้Flash test แต่วิธีการทดสอบนี้มีข้อจำกัด คือ สามารถทดสอบหากค่าความด้านท่านภายในได้เพียงครั้งหนึ่งจะคงเท่าเดิม ซึ่งหากเป็นแสงเซลล์แสงอาทิตย์ที่ติดตั้งใช้งานในระบบจะไม่สามารถทดสอบหากความด้านท่านภายในของแสงเซลล์แสงอาทิตย์ในระบบได้ เนื่องจากการนำแสงเซลล์แสงอาทิตย์มาทดสอบเพื่อหาความด้านท่านภายในและการเปลี่ยนแปลงของความด้านท่านภายในของแสงเซลล์แสงอาทิตย์นั้น จำเป็นต้องทำการปลดแสงเซลล์แสงอาทิตย์ที่ต้องการทดสอบออกจากระบบ เป็นผลทำให้ระบบไม่สามารถทำงานได้ ซึ่งหากเป็นกรณีของโรงไฟฟ้าเซลล์แสงอาทิตย์ขนาดใหญ่นั้นจะส่งผลทำให้โรงไฟฟ้านั้นไม่สามารถผลิตพลังงานไฟฟ้าได้ และจากเทคนิคการตรวจวัด การวิเคราะห์การเปลี่ยนแปลงความด้านท่านภายในของแสงเซลล์แสงอาทิตย์ที่คณะผู้วิจัยได้สร้างขึ้นมาหนึ่น คณะผู้วิจัยได้พัฒนาต่อยอดงานวิจัยดังกล่าว เพื่อใช้ในการทำนายการเปลี่ยนแปลงความด้านท่านภายในซึ่งส่งผลโดยต่อการลดลงของความสามารถในการผลิตพลังงานไฟฟ้าของแสงเซลล์แสงอาทิตย์ภายใต้สภาวะการใช้งานจริง

และสร้างแบบจำลองทางคณิตศาสตร์สำหรับการทำนายการเปลี่ยนแปลงความต้านทานภายในแผงเซลล์  
แสงอาทิตย์ในสภาวะการใช้งานจริง



## ตารางที่ 2 สรุปเอกสารและงานวิจัยที่เกี่ยวข้อง

ชื่อผู้แต่ง	ชื่อเรื่อง	ทดลอง	โปรแกรม	เครื่องมือ	ตัวแปร	ผลการวิจัย
David L. King, et al.[2]	Photovoltaic Array Performance Model	Photovoltaic Array Performance Model	PV-DesignPro	Basic equation model	Performance parameters and meteorological data	สมการที่ใช้ในการออกแบบ วิเคราะห์สมรรถนะของระบบ
Achitpon Sasithara nuwat, et al.[3]	Performance evaluation of a 10 kWp PV power system prototype for isolated building in Thailand	Performance evaluated equations		guideline of standard IEC 61724 และ International Energy Agency Photovoltaic Power System (IEA PVPS) Program task 2	Performance parameters and meteorological data	เบริ่งที่ยับสนับนรดของ แผงเซลล์แสงอาทิตย์
Kritwiput Phaobkaew wet al.[4]	Performance of a-Si, p-Si, and HIT PV Technological Comparison under Tropical Wet Climate Condition	Performance evaluated equations and polynomial relationship		IEC 61724	$Y_r$ , $Y_a$ , $L_c$ , and $a$	ผลกระทบที่เกิดจากความ เผื้อนรังสีอาทิตย์และอุณหภูมิ อากาศแวดล้อม มีผลต่อแรง เจริญเติบโตของเซลล์ จากการซึ่งกันบวกความเร็วลม
ณัฐรุณิช ขาวสะอาด และคณะ[5]	การศึกษาไฟฟ้าใน ไฟฟ้าที่แม่เหล็ก แสงอาทิตย์เล็กได้ รายปีก่อนได้สภาวะ การใช้งานจริง	Performance evaluated equations		IEC 61724 และ International Energy Agency Photovoltaic Power System (IEA PVPS) Program task 2	$Y_r$ และ $Y_a$	ผลงานไฟฟ้าที่แม่เหล็ก แสงอาทิตย์ก่อประกายและ หลุดรั่ว
Npon Ketjey, et al.[6]	Performance Evaluation of 10 kWp Photovoltaic Power Generator Under Hot Climatic Condition	Performance evaluated equations		IEC 61724 และ International Energy Agency Photovoltaic Power System (IEA PVPS) Program task 2	$Y_r$ และ $Y_a$	ประสิทธิภาพ ผลงานไฟฟ้า ที่แม่เหล็กแสงอาทิตย์ค่าร้อน ชนิดเกลียวได้และอัตราการ ลดลงของสมรรถนะ
Peter Hacke et al. [14]	System Voltage Potential-Induced Degradation Mechanisms in PV Modules and Methods for Test	System Voltage Potential- Induced Degradation Mechanisms in PV Modules and Methods		IEC 61215 and IEC 61646	Voltage stress , Leakage current and meteorological data	ทราบแรงดันที่อ่อนตัว เสื่อมสภาพซึ่งเกี่ยวเนื่องกับ กระแสรั่วและเซลล์ที่ กระชากเสื่อม

ตารางที่ 2 สรุปเอกสารและงานวิจัยที่เกี่ยวข้อง (ต่อ)

ชื่อผู้แต่ง	หัวเรื่อง	ทดลอง	โปรแกรม	เครื่องมือ	ตัวแปร	ผลการวิจัย
Faraz Ebneali et al. [15]	Influence of Temperature and Surface Conductivity	Potential-Induced Degradation method		IEC61215 standard	Voltage stress, Leakage current, High voltage, Temperature and humidity	ทราบความสัมพันธ์ระหว่าง กระบวนการเสื่อมและผลงานที่ คลุม
Lele Peng, et al, [16]	Determining the characteristics of solar cells	Newton – Raphson	Matlab-Simulink	Lambert W function and subsection polynomial curve fitting	$I_{sc}$ , $V_{mp}$ , $I_{mp}$ , $V_{oc}R_s$ , $R_{sh}$ and $I_0$	สมการที่ใช้ในการวิเคราะห์ คุณลักษณะของแผงเซลล์ แสงอาทิตย์
S. Kaplanis and E. Kaplanis, [17]	Performance Degradation	Swanson,		A linear model of continuous degradation	$R_p$ , $R_{sh}$ and F.F	สมรรถนะของแผงเซลล์ แสงอาทิตย์มีอัตราการลดลง ประมาณ 11% เมื่อเวลาผ่านไป 20 ปี
M. Fuentes, et al. [18]	The behavior of crystalline silicon PV modules prediction	Algebraic and Ostwald's	Lab view and Matlab-Simulink	IEC 60904-1	$I_{sc}$ , $V_{mp}$ , $I_{mp}$ , $V_{oc}P_{max}$ และ $Y_A$	การประนีดให้สำหรับและ พัฒนาให้มีของแผงเซลล์ แสงอาทิตย์ที่สภาวะการใช้ งานจริง
E.E. van Dyk and E.L. Meyer. [21]	The effect of parasitic resistances analysis	Staebler – Wronski effect	PVSIM	Two diode model	$R_s$ and $R_{sh}$	การเพิ่มสภาพของ ต้านทานภายในในส่อง ผลกระทบก่อภัยให้พื้น
งานวิจัยนี้	เพื่อพัฒนาเทคนิค การตรวจสอบและ วิเคราะห์หาค่าการ เปลี่ยนแปลงความ ต้านทานภายใน และ สร้างแบบจำลองทาง คณิตศาสตร์สำหรับ การทำนายการ เปลี่ยนแปลงความ ต้านทานภายในและ เชลล์แสงอาทิตย์ใน สภาวะการใช้งานจริง	ความต้านทาน อยุกยุ่นและ ความต้านทาน ซึ่งกัน	Matlab-Simulink	ลอกการเขียนส้น	ความแข็งรักษา อาร์คิคท์ อุณหภูมิ แรง IV Curve $R_s$ , $R_{sh}I_m$ และ $V_m$	ได้สมการในการวิเคราะห์หา และทำนายการ เปลี่ยนแปลงความต้านทาน ภายใน

### บทที่ 3 วิธีการดำเนินการวิจัย

ในบทนี้จะนำเสนอเครื่องมือที่ใช้ในการวิจัยขั้นตอนการทดลอง วิธีการดำเนินการวิจัยและการวิเคราะห์ข้อมูลต่างๆ โดยจะทำการศึกษาแบ่งออกเป็น 2 ส่วนได้แก่ ศึกษาหาสาเหตุของการเปลี่ยนแปลงความต้านทานภายในแผงเซลล์แสงอาทิตย์ในสภาวะการใช้งานจริง และศึกษาหาเทคนิคการตรวจวัดและวิเคราะห์ทำการเปลี่ยนแปลงความต้านทานภายในชี้งส่งผลโดยต่อการลดลงของความสามารถในการผลิตพลังงานไฟฟ้าของแผงเซลล์แสงอาทิตย์ภายใต้สภาวะการใช้งานจริงในลักษณะของโรงไฟฟ้าขนาดใหญ่มีรายละเอียดการศึกษาดังนี้

**3.1 ศึกษาพัฒนาเทคนิคการตรวจวัดและการวิเคราะห์ทำการเปลี่ยนแปลงความต้านทานภายในชี้งส่งผลโดยต่อการลดลงของความสามารถในการผลิตพลังงานไฟฟ้าของแผงเซลล์แสงอาทิตย์ภายใต้สภาวะการใช้งานจริง มีรายละเอียดดังนี้**

ในการพัฒนาเทคนิคการตรวจวัดและการวิเคราะห์ทำการเปลี่ยนแปลงความต้านทานภายในแผงเซลล์แสงอาทิตย์ ผู้วิจัยได้มีการสร้างสมการวิเคราะห์ความต้านทานภายในของแผงเซลล์แสงอาทิตย์ โดยเป็นการศึกษาวิจัยเพิ่มเติมจากโครงการศึกษาผลกระทบของการเปลี่ยนแปลงความต้านทานภายในแผงเซลล์แสงอาทิตย์ที่ส่งผลต่อการผลิตไฟฟ้าของโรงไฟฟ้าเซลล์แสงอาทิตย์ขนาดใหญ่ ซึ่งสร้างจากสัมพันธ์ระหว่างความต้านทานภายใน กับแรงดันไฟฟ้าสูงสุด ( $V_m$ ) และกระแสไฟฟ้าสูงสุด ( $I_m$ ) เพื่อสะทกต่อระบบที่ติดตั้งใช้งานจริง ซึ่งกระบวนการเก็บข้อมูลและวิเคราะห์ข้อมูลดังนี้

#### 3.1.1 เครื่องมือที่ใช้ในการทดลอง

3.2.1.1 แผงเซลล์แสงอาทิตย์ (PV modules) 5ชนิดได้แก่ ชนิด a-Si p-Si HIT  $\mu$ c-Si:H และCIS

3.2.1.2 ไพรอนิเมตอร์ (pyranometer) สำหรับวัดค่าความเข้มรังสีอาทิตย์

3.2.1.3 PVAnalyzer สำหรับวิเคราะห์ค่ากระแสไฟฟ้า แรงดันไฟฟ้า อุณหภูมิแผงเซลล์แสงอาทิตย์ อุณหภูมิอากาศแวดล้อม และความเข้มรังสีอาทิตย์ เป็นต้น

3.2.1.4 มัลติมิเตอร์ (Multimeter) สำหรับวิเคราะห์ค่าแรงดันไฟฟ้า และกระแสไฟฟ้า

3.2.1.4 เทอร์โมคوبเปิล (thermocouple) สำหรับวัดค่าอุณหภูมิแผงเซลล์แสงอาทิตย์ และอุณหภูมิอากาศแวดล้อม

ตารางที่ 3 คุณสมบัติของแผงเซลล์แสงอาทิตย์

ตัวแปร	a-Si	p-Si	HIT	$\mu$ c-Si:H	CIS
กำลังไฟฟ้าสูงสุด(W)	54	80	180	100	140
ค่าแรงดันไฟฟ้าจริงเปิด (V)	85	21.3	45.5	71.0	109.0
ค่ากระแสไฟฟ้าลักษณะ(I)	1.14	5.16	5.49	2.25	2.10
ค่าแรงดันไฟฟ้าสูงสุด (V)	62.0	17.1	36.5	53.5	77.0
ค่ากระแสไฟฟ้าสูงสุด (I)	0.87	4.68	4.93	1.87	1.82
จำนวนแผงเซลล์แสงอาทิตย์	68	45	16	10	10
ขนาด (mm.)	920x920x40	1,200x530x35	1,443x812x35	1,210 x 1,008 x 40	1,255x977 x 35

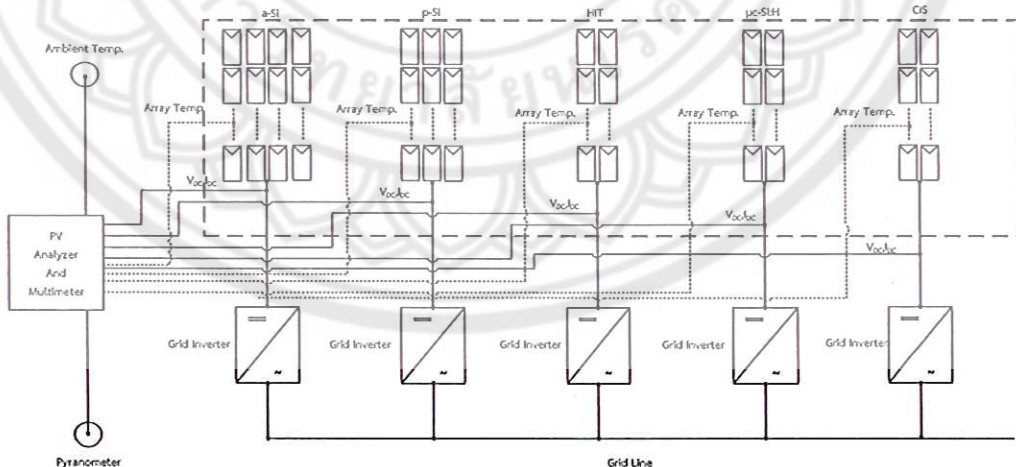
หมายเหตุ: สภาวะมาตรฐาน: Air mass 1.5 ค่าความเข้มรังสีอาทิตย์ 1,000 W/m<sup>2</sup>, อุณหภูมิเซลล์ 25 °C

### 3.2.2 การเก็บบันทึกข้อมูลและการวิเคราะห์ข้อมูลในการทำการวิจัย

ในหัวข้อนี้ผู้วิจัยดำเนินการเก็บข้อมูลการตรวจวัดและบันทึกค่าด้วยการบันทึกจดด้วยมือ โดยแต่ละการตรวจวัดและวิเคราะห์มีรายละเอียดขั้นตอนดังนี้

#### - ขั้นตอนการทดลอง

1. วัดค่าและบันทึกความเข้มรังสีดวงอาทิตย์ ( $G_i$ ) ทุกๆ 1 ชั่วโมง
2. วัดค่าและบันทึกอุณหภูมิแผงเซลล์ ( $T_m$ ) และอุณหภูมิอากาศแวดล้อม ( $T_{amb}$ ) ทุกๆ 1 ชั่วโมง
3. วัดค่าและบันทึกข้อมูลกระแสไฟฟ้า ( $I$ ) และแรงดันไฟฟ้า ( $V$ ) ของแผงเซลล์ แสงอาทิตย์ทุกๆ 1 ชั่วโมงจะใช้ PV Analyzer พร้อมกับมัลติมิเตอร์ เพื่อเปรียบเทียบค่าที่ได้จากการวัดของเครื่องทั้งสองเครื่อง
4. ทำการทดลองต่อไปอีก 9.00 – 17.00 น. และทำการเก็บข้อมูล 1 ครั้งต่อเดือน



รูปที่ 10 แผนผังการตรวจวัดคุณลักษณะทางไฟฟ้าของแผงเซลล์แสงอาทิตย์

- ขั้นตอนการวิเคราะห์ข้อมูล

1. นำข้อมูลที่บันทึกปรับค่าเข้าสู่ที่สากลมาตรฐาน (STC) ดังอิงจาก IEC 61829 โดยคัดกรองข้อมูลที่มีความเข้มรังสีแสงอาทิตย์ ตั้งแต่ 700 วัตต์ต่อตารางเมตร ใช้สมการดังนี้

สมการใช้ในการปรับความเข้มรังสีอาทิตย์ เท่ากับ 1,000 วัตต์ต่อตารางเมตร

กำลังไฟฟ้าสูงสุด

$$P_{1,000} = \frac{(1,000 \times P_{irr})}{Irr} \quad (3.1)$$

กระแสไฟฟ้าสูงสุด

$$I_{1,000} = \frac{(1,000 \times I_{irr})}{Irr} \quad (3.2)$$

แรงดันไฟฟ้าสูงสุด

$$V_{1,000} = V_T - (V_T \times k) \quad (3.3)$$

เมื่อ  $k$  คือ สัมประสิทธิ์ของความเข้มรังสีอาทิตย์ที่มีผลกับแรงดันไฟฟ้าของแบงเชลล์แสงอาทิตย์ (irradiance coefficient)(%/วัลต์)

$k = 1.000$  ที่ 1,000 วัตต์ต่อตารางเมตร

$k = 0.996$  ที่ 900 วัตต์ต่อตารางเมตร

$k = 0.989$  ที่ 800 วัตต์ต่อตารางเมตร

$k = 0.986$  ที่ 700 วัตต์ต่อตารางเมตร

สมการใช้ในการปรับอุณหภูมิแบงเชลล์แสงอาทิตย์ เท่ากับ 25 องศาเซลเซียส

กำลังไฟฟ้าสูงสุด

$$P_{25} = \frac{P_T}{1 - \left( \frac{(T_{coe,p})}{100} \times (T_m - 25) \right)} \quad (3.4)$$

แรงดันไฟฟ้าสูงสุด

$$V_{25} = \frac{V_T}{1 - \left( \frac{(T_{coe,v})}{100} \times (T_m - 25) \right)} \quad (3.5)$$

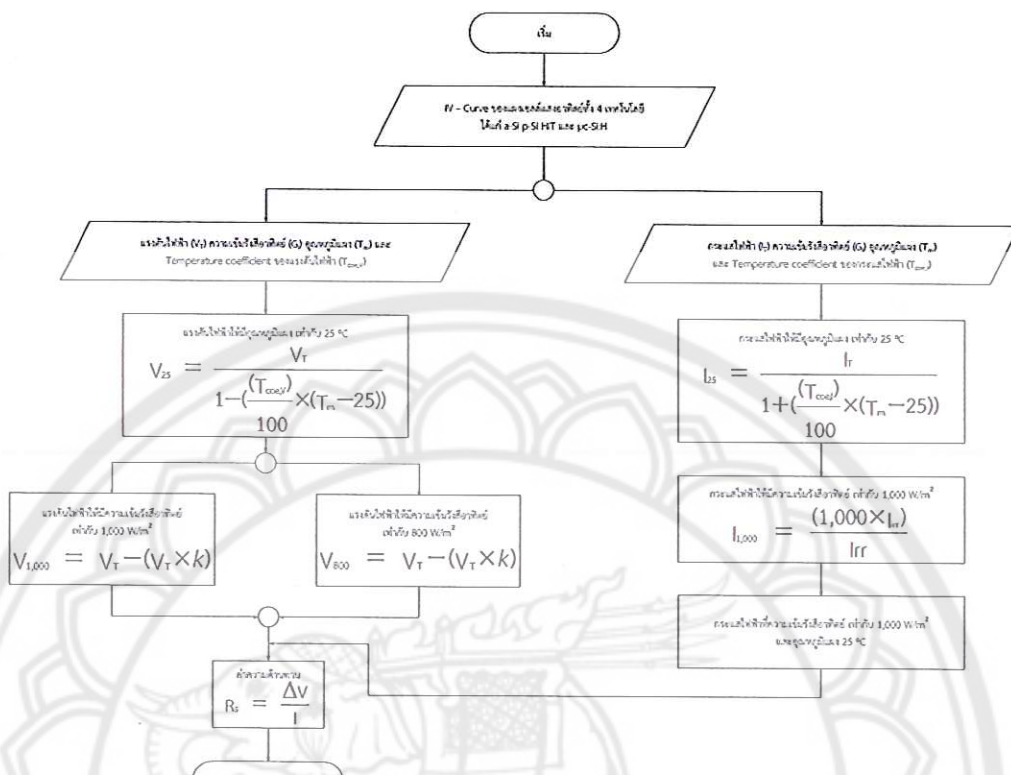
### กระแสไฟฟ้าสูงสุด

$$I_{25} = \frac{I_r}{1 + \left( \frac{(T_{coe,V})}{100} \times (T_m - 25) \right)} \quad 1. ๖๘๙๙๙๘ \quad (3.6)$$

เมื่อ

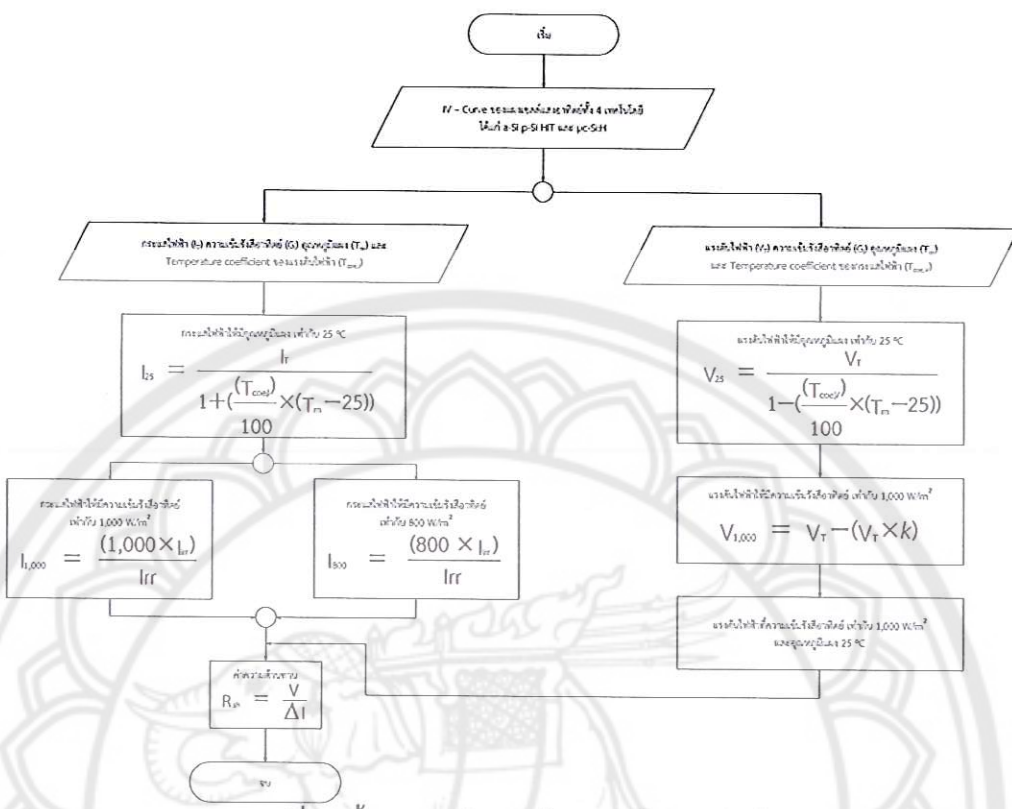
- $P_{1,000}$  คือ กำลังไฟฟ้าสูงสุดที่ค่าความเข้มรังสีอาทิตย์ เท่ากับ 1,000 วัตต์ต่อตารางเมตร
- $P_{irr}$  คือ กำลังไฟฟ้าสูงสุดที่ค่าความเข้มรังสีอาทิตย์ไดๆ
- $I_{1,000}$  คือ กระแสไฟฟ้าสูงสุดที่ค่าความเข้มรังสีอาทิตย์ เท่ากับ 1,000 วัตต์ต่อตารางเมตร
- $I_{irr}$  คือ กระแสไฟฟ้าสูงสุดที่ค่าความเข้มรังสีอาทิตย์ไดๆ
- $P_{25}$  คือ กำลังไฟฟ้าสูงสุดที่ค่าความเข้มรังสีอาทิตย์ เท่ากับ 1,000 วัตต์ต่อตารางเมตร  
ที่อุณหภูมิแพง เท่ากับ 25 องศาเซลเซียส
- $P_T$  คือ กำลังไฟฟ้าสูงสุดที่ค่าความเข้มรังสีอาทิตย์ เท่ากับ 1,000 วัตต์ต่อตารางเมตร  
ที่อุณหภูมิแพงไดๆ
- $V_{25}$  คือ แรงดันไฟฟ้าสูงสุดที่ค่าความเข้มรังสีอาทิตย์ เท่ากับ 1,000 วัตต์ต่อตารางเมตร  
ที่อุณหภูมิแพง เท่ากับ 25 องศาเซลเซียส
- $V_T$  คือ แรงดันไฟฟ้าสูงสุดที่ค่าความเข้มรังสีอาทิตย์ เท่ากับ 1,000 วัตต์ต่อตารางเมตร  
ที่อุณหภูมิแพงไดๆ
- $I_{25}$  คือ กระแสไฟฟ้าสูงสุดที่ค่าความเข้มรังสีอาทิตย์ เท่ากับ 1,000 วัตต์ต่อตารางเมตร  
ที่อุณหภูมิแพง เท่ากับ 25 องศาเซลเซียส
- $I_T$  คือ กระแสไฟฟ้าสูงสุดที่ค่าความเข้มรังสีอาทิตย์ เท่ากับ 1,000 วัตต์ต่อตารางเมตร  
ที่อุณหภูมิแพงไดๆ
- $T_{coe,V}$  คือ สัมประสิทธิ์ของอุณหภูมิที่มีผลกับแรงดันไฟฟ้าของแพงเซลล์แสงอาทิตย์  
(Temperature coefficient)(%/วัลต์)
- $T_{coe,I}$  คือ สัมประสิทธิ์ของอุณหภูมิที่มีผลกับกระแสไฟฟ้าของแพงเซลล์แสงอาทิตย์  
(Temperature coefficient)(%/แเอมเปอร์)

2. ดำเนินการวิเคราะห์หาความต้านทานอนุกรม โดยการปรับค่าแรงดันไฟฟ้าให้มีความ  
เข้มรังสีอาทิตย์ เท่ากับ 1,000 และ 800 วัตต์ต่อตารางเมตร และปรับอุณหภูมิแพงให้เท่ากับ 25 องศาเซลเซียส  
หลังจากนั้นปรับค่ากระแสไฟฟ้ามีความเข้มรังสีอาทิตย์ เท่ากับ 1,000 วัตต์ต่อตารางเมตร และปรับอุณหภูมิแพงให้  
เท่ากับ 25 องศาเซลเซียส ดังรูปที่ 10



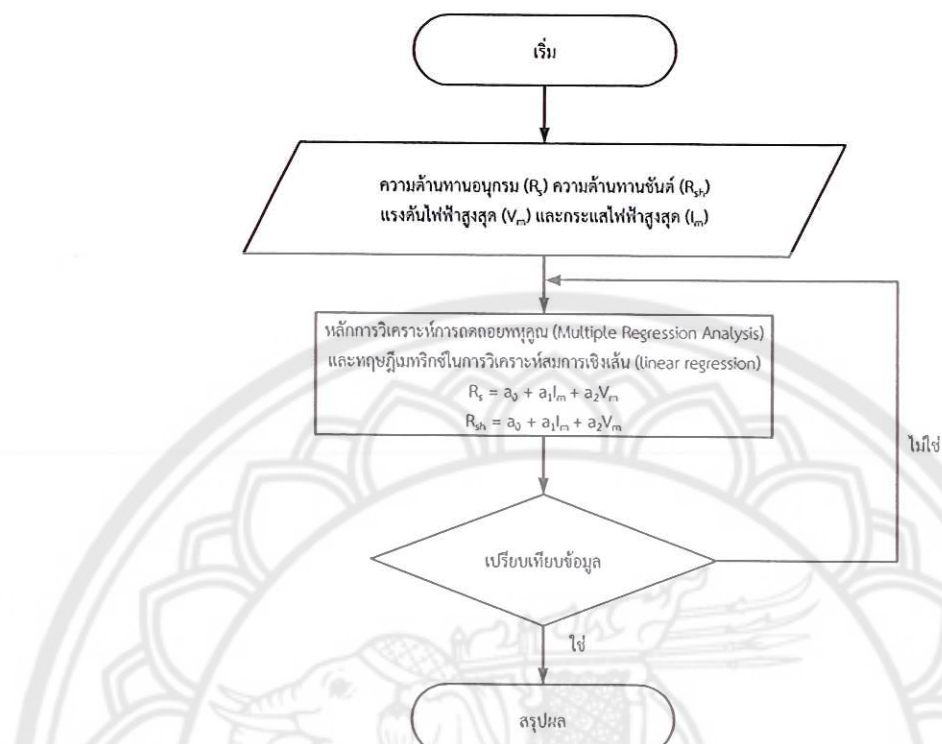
รูปที่ 11 ขั้นตอนการวิเคราะห์หาความต้านทานอนุกรม

3. ดำเนินการวิเคราะห์หาความต้านทานชั้นต่อ โดยการปรับค่ากระแสไฟฟ้าให้มีความเข้มรังสีอาทิตย์ เท่ากับ 1,000 และ 800 วัตต์ต่อตารางเมตร และปรับอุณหภูมิแสงให้เท่ากับ 25 องศาเซลเซียส หลังจากนั้นปรับค่าแรงดันไฟฟ้ามีความเข้มรังสีอาทิตย์ เท่ากับ 1,000 วัตต์ต่อตารางเมตร และปรับอุณหภูมิแสงให้เท่ากับ 25 องศาเซลเซียส ดังรูปที่ 12



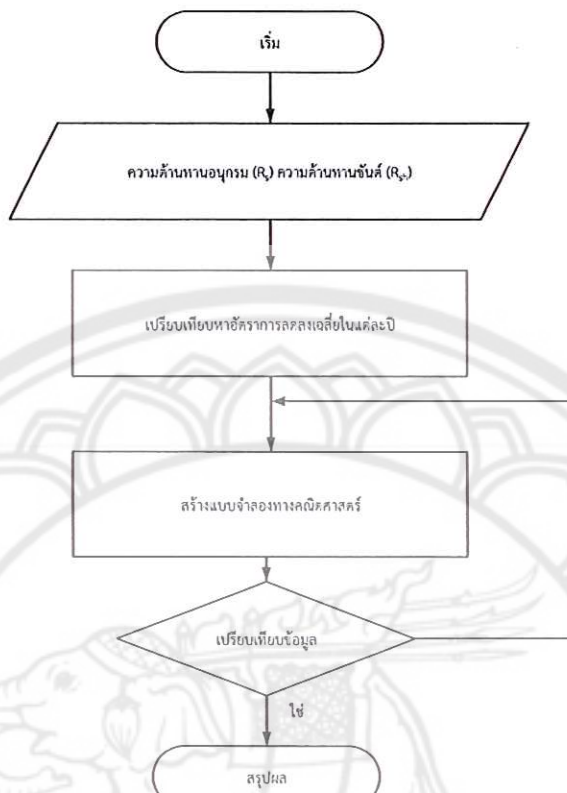
รูปที่ 12 ขั้นตอนการวิเคราะห์ทำความต้านทานชันต์

4. หลังจากวิเคราะห์ทำความต้านทานภายในทั้ง 2 ตัว เสร็จเรียบร้อย ทำการหาความสัมพันธ์ของความต้านทานภายในกับแรงดันไฟฟ้าสูงสุดและกระแสไฟฟ้าสูงสุด หลักการสร้างสมการการวิเคราะห์การถดถอยพหุคุณ (Multiple Regression Analysis) และทฤษฎีเมทริกซ์ในการวิเคราะห์สมการเชิงเส้น (linear regression) เพื่อสร้างสมการที่ใช้ในการคำนวณทำความต้านทานภายในทั้ง 2 ตัว ได้จ่ายขึ้นเนื่องจากงานวิจัยนี้จะเป็นการวิเคราะห์ແຜยเซลล์แสงอาทิตย์ในลักษณะของແຜยเซลล์แสงอาทิตย์ที่ติดตั้งในระบบจะมีลักษณะเช่นเดียวกับการเก็บข้อมูลของโรงไฟฟ้าเซลล์แสงอาทิตย์โดยทั่วไป การเก็บข้อมูลค่าแรงดันไฟฟ้าและกระแสไฟฟ้าของແຜยเซลล์แสงอาทิตย์แต่ละชุด โดยสมการที่สร้างใหม่เป็นการพัฒนาเทคนิคการวิเคราะห์ทำความต้านทานภายในของແຜยเซลล์แสงอาทิตย์ที่ติดตั้งอยู่กับระบบและสามารถประยุกต์ใช้ในการทำความต้านทานภายในและการเปลี่ยนแปลงของความต้านทานภายในของແຜยเซลล์แสงอาทิตย์ที่ติดตั้งในโรงไฟฟ้าเซลล์แสงอาทิตย์ได้จ่ายขึ้นดังรูปที่ 13



รูปที่ 13 ขั้นตอนวิเคราะห์ทำความสัมพันธ์ของความต้านทานภายในกับแรงดันไฟฟ้าสูงสุด และกระแสไฟฟ้าสูงสุด

5. เมื่อได้สมการที่ใช้ในการวิเคราะห์ทำความต้านทานภายในเรียบร้อยแล้ว คณวิจัยจะทำการหาอัตราการเปลี่ยนแปลงความต้านทานภายในของแพนเซลล์แสงอาทิตย์ หลังจากนั้น เมื่อทราบถึงอัตราการเปลี่ยนแปลงความต้านทานเรียบร้อย จะนำอัตราการเปลี่ยนแปลงนั้นมาสร้างแบบจำลองทางคณิตศาสตร์สำหรับนำมายกการเปลี่ยนแปลงความต้านทานของแพนเซลล์แสงอาทิตย์ ดังรูปที่ 14



รูปที่ 14 ขั้นตอนการหาอัตราการเปลี่ยนแปลงความด้านท่านภายในของแข่งขันแสงอาทิตย์แต่ละชนิด

ตารางที่ 4 ข้อมูลที่ต้องทำการประมาณผลหากการเปลี่ยนแปลงของความด้านท่านภายใน

ลำดับที่	ตัวแปร	สัญลักษณ์
1	ความด้านท่านอนุกรรมา	$R_s$
2	ความด้านท่านชั้นต์	$R_{sh}$

### 3.2 การสร้างแบบจำลองทางคณิตศาสตร์สำหรับการทำนายการเปลี่ยนแปลงความด้านท่านภายในแข่งขันแสงอาทิตย์ในสภาวะการใช้งานจริง

จากการวิเคราะห์ความด้านท่านภายในและการเปลี่ยนแปลงของแข่งขันแสงอาทิตย์ในแต่ละชนิดข้างต้น จากระยะที่สร้างใหม่จะเกิดจากความสัมพันธ์ของตัวแปรทั้งสิ้น 3 ตัวแปร ได้แก่ ความด้านท่านอนุกรรมา ( $R_s$ ) ความด้านท่านชั้นต์ ( $R_{sh}$ ) แรงดันไฟฟ้าสูงสุด ( $V_m$ ) และกระแสไฟฟ้าสูงสุด ( $I_m$ ) เนื่องจากเป็นไปตามลักษณะการเก็บข้อมูลของโรงไฟฟ้าโดยทั่วไปจะเป็นการเก็บข้อมูลของแรงดันไฟฟ้า และกระแสไฟฟ้าที่แข่งขันแสงอาทิตย์จ่ายไฟฟ้าไปยังภาระทางไฟฟ้าที่นำไปใช้งาน ดังนั้นผู้วิจัยจึงมุ่งเน้นสร้างสมการจากความสัมพันธ์ของตัวแปรดังกล่าว ใช้หลักการสร้างจากการวิเคราะห์การคาดถอย

พหุคุณ และทฤษฎีเมทริกซ์ในการวิเคราะห์สมการเชิงเส้น เพื่อสร้างสมการให้อยู่ในรูปแบบดังนี้ “ $R_s = a_0 + a_1 I_m + a_2 V_m$ ” และ “ $R_{sh} = a_0 + a_1 I_m + a_2 V_m$ ” นำสมการที่สร้างใหม่นั้นใช้ในการวิเคราะห์ความเปลี่ยนแปลงความต้านทานและอัตราการเปลี่ยนแปลงของความต้านทานภายในของแผงเซลล์แสงอาทิตย์ เพื่อสร้างสมการที่ใช้ในการคำนวณการเปลี่ยนแปลงความต้านทานภายในของแผงเซลล์แสงอาทิตย์ต่อไป



## บทที่ 4

### ผลการทดลอง

ในบทนี้นำเสนอผลการศึกษา โดยจะทำการศึกษาแบ่งออกเป็น 2 ส่วนได้แก่ ศึกษาหาเหตุของ การเปลี่ยนแปลงความต้านทานภายในแผงเซลล์แสงอาทิตย์ในสภาวะการใช้งานจริง และศึกษาหาเทคนิค การตรวจวัดและวิเคราะห์หาค่าการเปลี่ยนแปลงความต้านทานภายในชี้งส่งผลโดยต่อการลดลงของ ความสามารถในการผลิตพลังงานไฟฟ้าของแผงเซลล์แสงอาทิตย์ภายใต้สภาวะการใช้งานจริงในลักษณะ ของโรงไฟฟ้าขนาดใหญ่ มีรายละเอียดดังนี้

4.1 การศึกษาพัฒนาหาเทคนิคการตรวจวัดและวิเคราะห์หาค่าการเปลี่ยนแปลงความ ต้านทานภายในชี้งส่งผลโดยต่อการลดลงของความสามารถในการผลิตพลังงานไฟฟ้าของแผงเซลล์ แสงอาทิตย์ภายใต้สภาวะการใช้งานจริงในลักษณะของโรงไฟฟ้าขนาดใหญ่

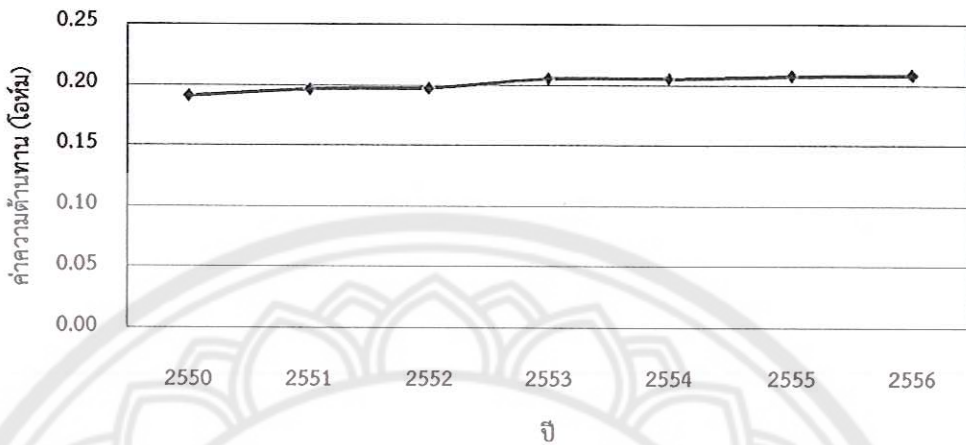
ในส่วนนี้จะมุ่งเน้นทำการศึกษาหาเทคนิคการตรวจวัดและวิเคราะห์หาค่าการเปลี่ยนแปลง ความต้านทานอนุกรมและความต้านทานชั้นต์ของแผงเซลล์แสงอาทิตย์แต่ละชนิดที่ติดตั้งใช้งานในระบบ โดยจะแบ่งออกเป็น 2 ส่วน ดังนี้

4.1.1 การวิเคราะห์หาความต้านทานภายในและผลกระทบจากการเปลี่ยนแปลงความ ต้านทานภายในของแผงเซลล์แสงอาทิตย์แต่ละชนิด มีรายละเอียดดังนี้

#### - แผงเซลล์แสงอาทิตย์ชนิด a-Si

จากรูปที่ 15 การเปลี่ยนแปลงความต้านทานอนุกรมของแผงเซลล์แสงอาทิตย์ชนิด a-Si ซึ่งจาก กฎของโอห์ม กล่าวไว้ว่า “สารใดที่มีความต้านทานสูงจะยอมให้กระแสไฟฟ้าไหลผ่านได้น้อย” ในปี 2550 2551 2552 2553 2554 2555 และ 2556 แผงเซลล์แสงอาทิตย์ชนิด a-Si มีความต้านทานอนุกรม เท่ากับ  $0.191 \ 0.196 \ 0.197 \ 0.205 \ 0.205 \ 0.207$  และ  $0.208$  โอห์มตามลำดับ มือตราชาระบบเปลี่ยนแปลง ของความต้านทานอนุกรมคิดเป็นร้อยละ  $0.78$  ต่อปี แสดงว่าความต้านทานอนุกรมเพิ่มขึ้น ทำให้ กระแสไฟฟ้าของแผงเซลล์แสงอาทิตย์หลอกมาได้น้อยลง จึงส่งผลทำให้แรงดันไฟฟ้าที่ตอกคร่อมของแผง เซลล์แสงอาทิตย์ลดลงตามไปด้วย

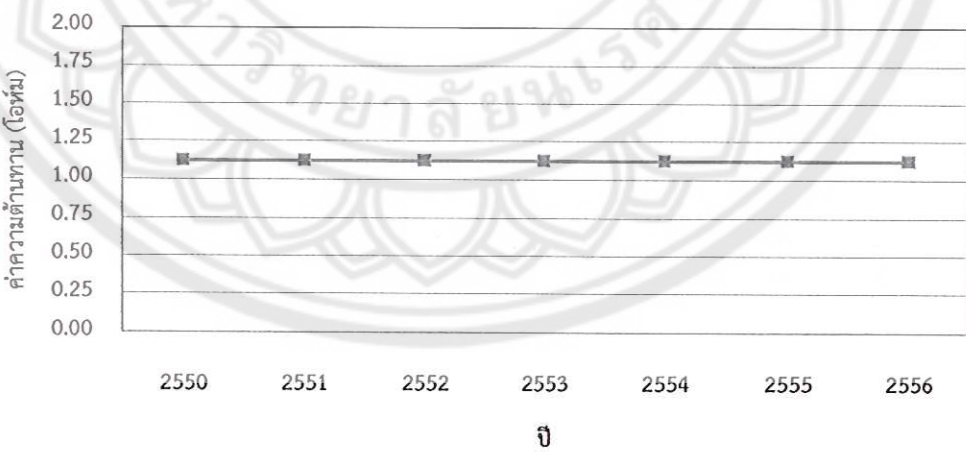
### ความต้านทานอนุกรม (Rs) ของแผงเซลล์แสงอาทิตย์ชนิด a-Si



รูปที่ 15 แนวโน้มการเปลี่ยนแปลงของความต้านทานอนุกรมของแผงเซลล์แสงอาทิตย์ชนิด a-Si

จากรูปที่ 16 แนวโน้มการเปลี่ยนแปลงความต้านทานขั้นต่ำของแผงเซลล์แสงอาทิตย์ชนิด a-Si ซึ่งจากกฎของโอล์มกล่าวไว้ว่า “สารใดที่มีความต้านทานน้อยจะยอมให้กระแสไฟฟ้าไหลผ่านได้มาก” ในปี 2550 2551 2552 2553 2554 2555 และ 2556 แผงเซลล์แสงอาทิตย์ชนิด a-Si มีความต้านทานขั้นต่ำเท่ากับ 1.126 1.126 1.124 1.124 1.123 1.123 และ 1.122 โอล์มมีอัตราการเปลี่ยนแปลงของความต้านทานขั้นต่ำคิดเป็นร้อยละ 0.03 ต่อปี แสดงว่าเมื่อความต้านทานขั้นต่ำลดลง กระแสไฟฟ้าจะไหลผ่าน ความต้านทานขั้นต่ำได้มากขึ้น จึงทำให้แรงดันไฟฟ้าที่เซลล์แสงอาทิตย์ผลิตได้ลดลง ซึ่งทั้ง 2 กรณีตรงกับกฎของโอล์มที่กล่าวไว้ข้างต้น

### ความต้านทานขั้นต่ำ (Rsh) ของแผงเซลล์แสงอาทิตย์ชนิด a-Si

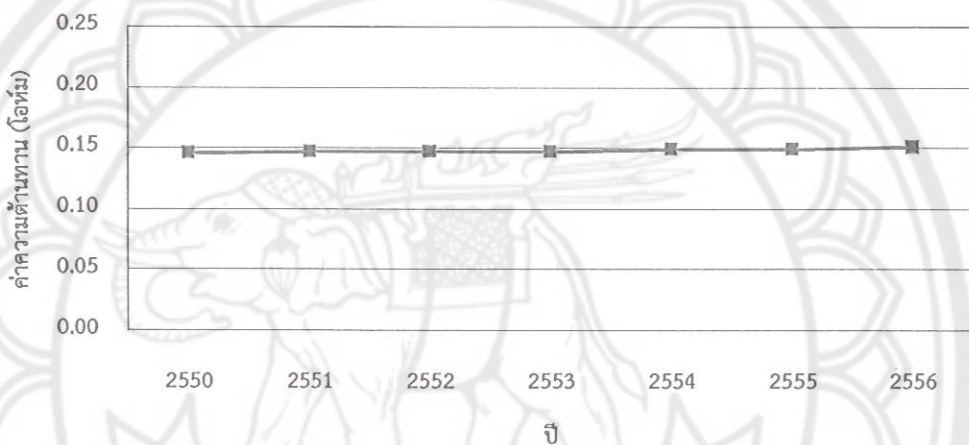


รูปที่ 16 แนวโน้มการเปลี่ยนแปลงของความต้านทานขั้นต่ำของแผงเซลล์แสงอาทิตย์ชนิด a-Si

- แฟงเซลล์แสงอาทิตย์ชนิด p-Si

จากรูปที่ 17 แนวโน้มการเปลี่ยนแปลงความต้านทานอนุกรมของแฟงเซลล์แสงอาทิตย์ชนิด p-Si ซึ่งจากกฎของโอล์ม กล่าวไว้ว่า “สารใดที่มีความต้านทานสูงจะยอมให้กระแสไฟฟ้าไหลผ่านได้น้อย” ในปี 2550 2551 2552 2553 2554 2555 และ 2556 แฟงเซลล์แสงอาทิตย์ชนิด p-Si มีความต้านทานอนุกรมเท่ากับ 0.146 0.147 0.147 0.147 0.149 0.149 และ 0.151 โอล์ม ตามลำดับ มีอัตราการเปลี่ยนแปลงของความต้านทานอนุกรมคิดเป็นร้อยละ 0.36 ต่อปี แสดงว่าความต้านทานอนุกรมเพิ่มขึ้นทำให้กระแสไฟฟ้าของแฟงเซลล์แสงอาทิตย์ไหลออกมากได้น้อยลง จึงส่งผลทำให้แรงดันไฟฟ้าที่ต่อกร่องของแฟงเซลล์แสงอาทิตย์ลดลงตามไปด้วย

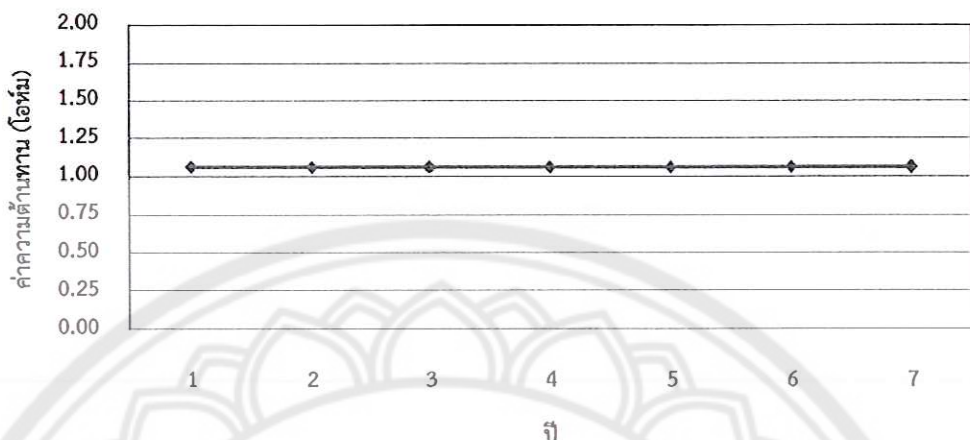
ความต้านทานอนุกรม (Rs) ของแฟงเซลล์แสงอาทิตย์ชนิด p-Si



รูปที่ 17 แนวโน้มการเปลี่ยนแปลงของความต้านทานอนุกรมของแฟงเซลล์แสงอาทิตย์ชนิด p-Si

จากรูปที่ 18 แนวโน้มการเปลี่ยนแปลงความต้านทานชั้นต์ของแฟงเซลล์แสงอาทิตย์ชนิด p-Si ซึ่งจากกฎของโอล์มกล่าวไว้ว่า “สารใดที่มีความต้านทานน้อยจะยอมให้กระแสไฟฟ้าไหลผ่านได้มาก” ในปี 2550 2551 2552 2553 2554 2555 และ 2556 แฟงเซลล์แสงอาทิตย์ชนิด p-Si มีความต้านทานชั้นต์เท่ากับ 1.060 1.060 1.060 1.060 1.060 1.060 และ 1.059 โอล์ม มีอัตราการเปลี่ยนแปลงของความต้านทานชั้นต์ คิดเป็นร้อยละ 0.02 ต่อปี แสดงว่าเมื่อความต้านทานชั้นต์ลดลง กระแสไฟฟ้าจะไหลผ่านความต้านทานชั้นต์ได้มากขึ้น จึงทำให้แรงดันไฟฟ้าที่เซลล์แสงอาทิตย์ผลิตได้ลดลง

### ความต้านทานขันต์ ( $R_{sh}$ ) ของแผงเซลล์แสงอาทิตย์ชนิด p-Si

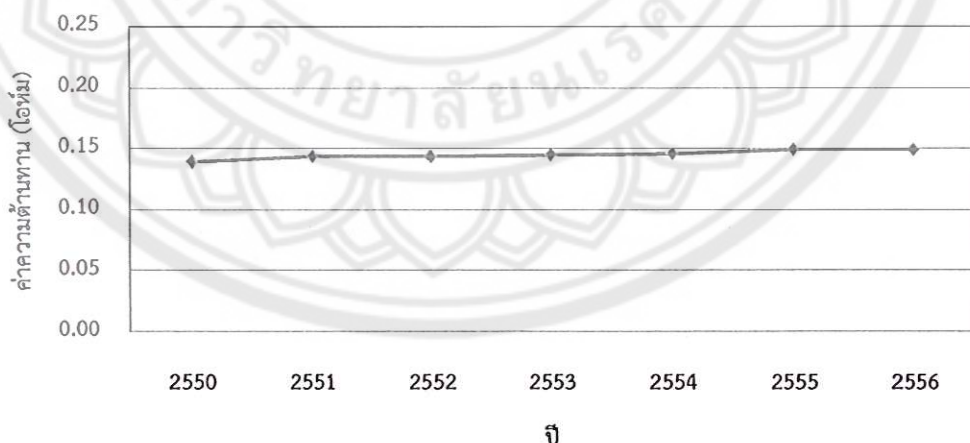


รูปที่ 18 แนวโน้มการเปลี่ยนแปลงของความต้านทานขันต์ของแผงเซลล์แสงอาทิตย์ชนิด p-Si

#### - แผงเซลล์แสงอาทิตย์ชนิด HIT

จากรูปที่ 19 การเปลี่ยนแปลงความต้านทานอนุกรมของแผงเซลล์แสงอาทิตย์ชนิด HIT ในปี 2550 2551 2552 2553 2554 2555 และ 2556 แผงเซลล์แสงอาทิตย์ชนิด HIT มีความต้านทานอนุกรมเท่ากับ 0.139 0.144 0.144 0.145 0.146 0.149 และ 0.149 โอม/ชุดตามลำดับ มีอัตราการเปลี่ยนแปลงของความต้านทานอนุกรมคิดเป็นร้อยละ 0.49 ต่อปี แสดงว่าความต้านทานอนุกรมเพิ่มขึ้นทำให้กระแสไฟฟ้าของแผงเซลล์แสงอาทิตย์ไหลออกมากได้น้อยลง จึงส่งผลทำให้แรงดันไฟฟ้าที่ตกคร่อมของแผงเซลล์แสงอาทิตย์ลดลงตามไปด้วย

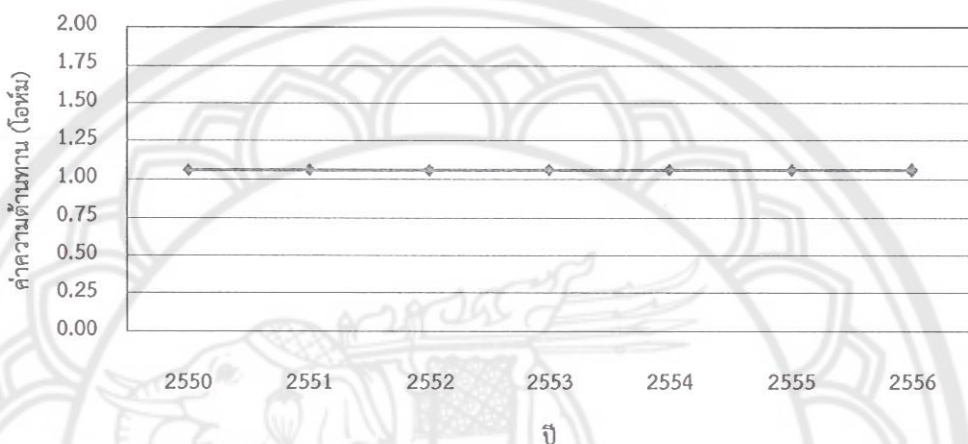
### ความต้านทานอนุกรม (Rs) ของแผงเซลล์แสงอาทิตย์ชนิด HIT



รูปที่ 19 แนวโน้มการเปลี่ยนแปลงของความต้านทานอนุกรมของแผงเซลล์แสงอาทิตย์ชนิด HIT

จากรูปที่ 20 การเปลี่ยนแปลงความต้านทานขั้นต่ำของแฟงเซล์แสงอาทิตย์ชนิด HIT ในปี 2550 2551 2552 2553 2554 2555 และ 2556 แฟงเซล์แสงอาทิตย์ชนิด HIT มีความต้านทานขั้นต่ำเท่ากับ 1.060 1.060 1.060 1.060 1.060 และ 1.059 โอม มีอัตราการเปลี่ยนแปลงของความต้านทาน ขั้นต่ำ คิดเป็นร้อยละ 0.02 ต่อปี แสดงว่าเมื่อความต้านทานขั้นต่ำลดลง กระแสไฟฟ้าจะไหลผ่านความต้านทานขั้นต่ำได้มากขึ้น จึงทำให้แรงดันไฟฟ้าที่เซล์แสงอาทิตย์ผลิตได้ลดลง

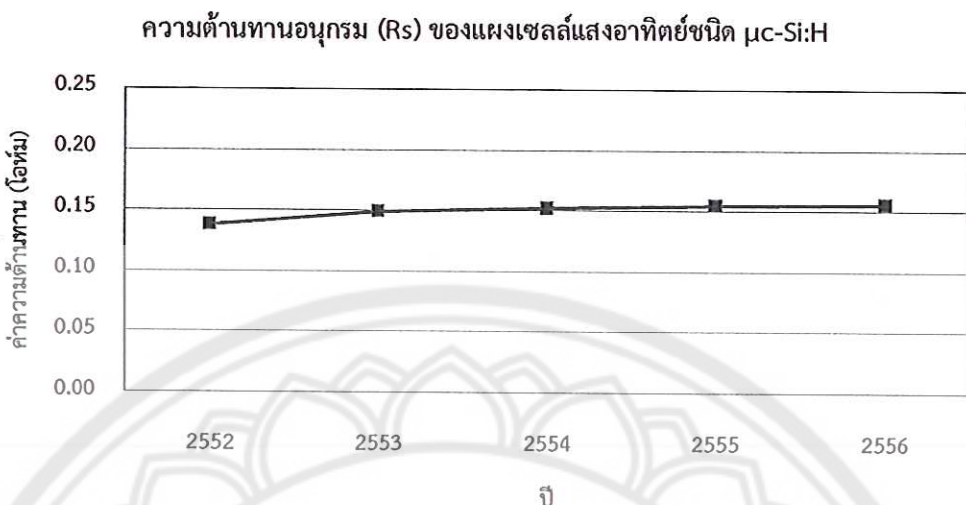
ความต้านทานขั้นต่ำ ( $R_{sh}$ ) ของแฟงเซล์แสงอาทิตย์ชนิด HIT



รูปที่ 20 แนวโน้มการเปลี่ยนแปลงของความต้านทานขั้นต่ำของแฟงเซล์แสงอาทิตย์ชนิด HIT

#### - แฟงเซล์แสงอาทิตย์ชนิด mc-Si:H

จากรูปที่ 21 การเปลี่ยนแปลงความต้านทานอนุกรมของแฟงเซล์แสงอาทิตย์ชนิด mc-Si:H ในปี 2552 2553 2254 2555 และ 2556 แฟงเซล์แสงอาทิตย์ชนิด mc-Si:H มีความต้านทานอนุกรมเท่ากับ 0.138 0.149 0.152 0.155 และ 0.156 โอม/ชุดตามลำดับ มีอัตราการเปลี่ยนแปลงของความต้านทานอนุกรมคิดเป็นร้อยละ 0.91 ต่อปี แสดงว่าความต้านทานอนุกรมเพิ่มขึ้น ทำให้กระแสไฟฟ้าของแฟงเซล์แสงอาทิตย์ไหลออกมากได้น้อยลง จึงส่งผลทำให้แรงดันไฟฟ้าที่ตกคร่อมของแฟงเซล์แสงอาทิตย์ลดลงตามไปด้วย



รูปที่ 21 แนวโน้มการเปลี่ยนแปลงของความต้านทานอนุกรมของแผงเซลล์แสงอาทิตย์ชนิด μc-Si:H

จากรูปที่ 22 การเปลี่ยนแปลงความต้านทานชั้นต์ของแผงเซลล์แสงอาทิตย์ชนิด μc-Si:H ในปี 2552 2553 2554 2555 และ 2556 แผงเซลล์แสงอาทิตย์ชนิด μc-Si:H มีความต้านทานชั้นต์ เท่ากับ 1.052 1.052 1.051 1.051 และ 1.050 โอม/ซุดตามลำดับ ตามลำดับมีอัตราการเปลี่ยนแปลงของความต้านทานชั้นต์ คิดเป็นร้อยละ 0.02 ต่อปี แสดงว่าเมื่อความต้านทานชั้นต์ลดลง กระแสไฟฟ้าจะไหลผ่านความต้านทานชั้นต์ได้นากขึ้น จึงทำให้แรงดันไฟฟ้าที่เซลล์แสงอาทิตย์ผลิตได้ลดลง



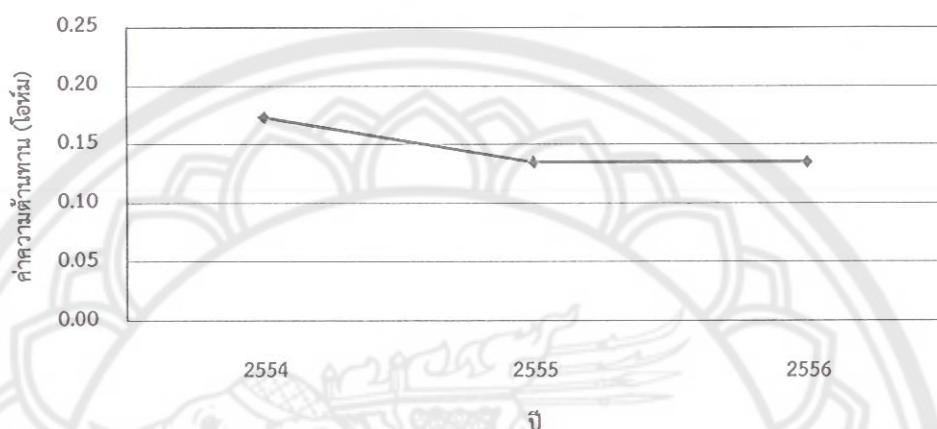
รูปที่ 22 แนวโน้มการเปลี่ยนแปลงของความต้านทานชั้นต์ของแผงเซลล์แสงอาทิตย์ชนิด μc-Si:H

#### - แผงเซลล์แสงอาทิตย์ชนิด CIS

จากรูปที่ 23 แนวโน้มการเปลี่ยนแปลงความต้านทานอนุกรมของแผงเซลล์แสงอาทิตย์ชนิด CIS ซึ่งจากกฎของโอล์ม กล่าวไว้ว่า “สารใดที่มีความต้านทานสูงจะยอมให้กระแสไฟฟ้าไหลผ่านได้น้อย” ในปี

2554 2555 และ 2556 ແຜ່ເຊລີ້ສັງອາທິຕິຍ໌ນິດ CIS ມີຄວາມຕ້ານທານອນກຽມເທົ່າກັບ 0.173 0.135 ແລະ 0.135 ໂອໜໍມາມາດຳນັກ ມີອັດຕະການປັບປຸງແປງຂອງຄວາມຕ້ານທານອນກຽມຄືດເປັນຮ້ອຍລະ 0.05 ຕ່ອປີ ແສດງວ່າຄວາມຕ້ານທານອນກຽມເພີ່ມຂຶ້ນ ທຳໄກຮະແສໄຟ້ໜ້າຂອງແຜ່ເຊລີ້ສັງອາທິຕິຍ໌ໄລຍອກນາໄດ້ນ້ອຍລັງ ຈຶ່ງສ່ວນໃຫ້ແຮງດັນໄຟ້ໜ້າທີ່ຕົກຄ່ອມຂອງແຜ່ເຊລີ້ສັງອາທິຕິຍ໌ລົດລົງທານໄປດ້ວຍ

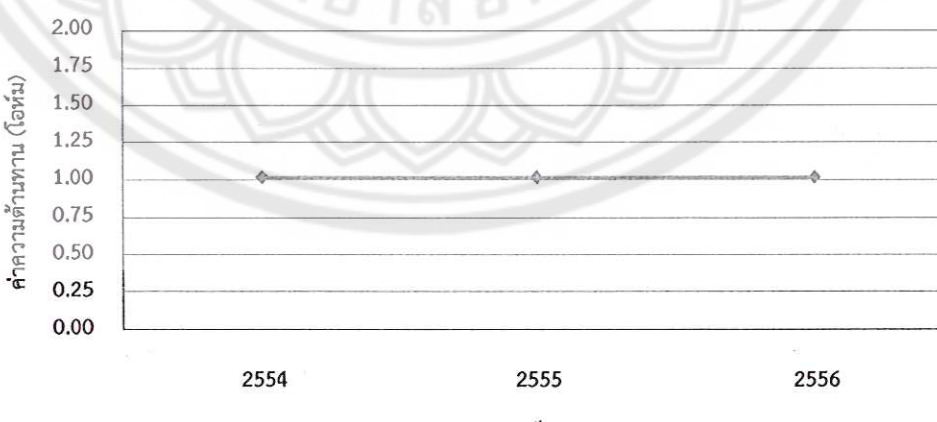
ຄວາມຕ້ານທານອນກຽມ ( $R_d$ ) ຂອງແຜ່ເຊລີ້ສັງອາທິຕິຍ໌ນິດ CIS



ຮູບທີ 23 ແນວ່ານັ້ນການປັບປຸງແປງຂອງຄວາມຕ້ານທານອນກຽມຂອງແຜ່ເຊລີ້ສັງອາທິຕິຍ໌ນິດ CIS

ຈາກຮູບທີ 24 ແນວ່ານັ້ນການປັບປຸງແປງຄວາມຕ້ານທານຂັ້ນຕໍ່ຂອງແຜ່ເຊລີ້ສັງອາທິຕິຍ໌ນິດ CIS ຈຶ່ງ ຈາກກູ້ອ່ອນກ່າວໄວ້ວ່າ “ສາມາດທີ່ມີຄວາມຕ້ານທານນ້ອຍຈະຍອມໄທກະແສໄຟ້ໜ້າໄລຍ່ານໄດ້ນຳກຳ” ໃນປີ 2554 2555 ແລະ 2556 ແຜ່ເຊລີ້ສັງອາທິຕິຍ໌ນິດ CIS ມີຄວາມຕ້ານທານຂັ້ນຕໍ່ເທົ່າກັບ 1.015 1.014 ແລະ 1.014 ໂອໜໍມາດຳຕະການປັບປຸງແປງຂອງຄວາມຕ້ານທານຂັ້ນຕໍ່ຄືດເປັນຮ້ອຍລະ 0.026 ຕ່ອປີ ແສດງວ່າເນື່ອ ຄວາມຕ້ານທານຂັ້ນຕໍ່ລົດລົງ ງະແສໄຟ້ໜ້າຈະໄລຍ່ານຄວາມຕ້ານທານຂັ້ນຕໍ່ໄດ້ນຳກຳຂຶ້ນ ຈຶ່ງໃຫ້ແຮງດັນໄຟ້ໜ້າທີ່ ເຊລີ້ສັງອາທິຕິຍ໌ພລິຕິໄດ້ລົດລົງ ຊຶ່ງໜຶ່ງ 2 ກຣົມືຕຽງກັບກູ້ອ່ອນກ່າວໄວ້ຂ້າງຕົ້ນ

ຄວາມຕ້ານທານຂັ້ນຕໍ່ ( $R_{sh}$ ) ຂອງແຜ່ເຊລີ້ສັງອາທິຕິຍ໌ນິດ CIS



ຮູບທີ 24 ແນວ່ານັ້ນການປັບປຸງແປງຂອງຄວາມຕ້ານທານຂັ້ນຕໍ່ຂອງແຜ່ເຊລີ້ສັງອາທິຕິຍ໌ນິດ CIS

จากตารางที่ 5 สรุปการเปลี่ยนแปลงของความต้านทานของแฟลเกลล์แสงอาทิตย์แต่ละชนิด ซึ่งจะเห็นได้ว่าแฟลเกลล์แสงอาทิตย์ชนิด a-Si มีอัตราการเปลี่ยนแปลงของความต้านทานทั้ง 2 ชนิด สูงที่สุด เนื่องจากแฟลเกลล์แสงอาทิตย์ชนิด a-Si มีแรงขัดเหนี่ยวระหว่างพันธะต่ำ เพราะมีไซโตรเจนเป็นส่วนประกอบ จึงทำให้โครงสร้างที่สามารถเสื่อมสภาพได้ง่ายกว่าชนิดอื่นๆ ซึ่งแฟลเกลล์แสงอาทิตย์ชนิด HIT มีอัตราการเปลี่ยนแปลงสูงเช่นกัน เป็นผลมาจากการของแฟลเกลล์แสงอาทิตย์ชนิด HIT มีส่วนประกอบของแฟลเกลล์แสงอาทิตย์ชนิด m-Si กับ a-Si จึงทำให้อัตราการเปลี่ยนแปลงใกล้เคียงกับแฟลเกลล์แสงอาทิตย์ชนิด a-Si ส่วนแฟลเกลล์แสงอาทิตย์ชนิด p-Si มีอัตราการเปลี่ยนแปลงต่ำที่สุด เนื่องจากโครงสร้างของแฟลเกลล์แสงอาทิตย์ชนิด p-Si มีแรงขัดเหนี่ยวระหว่างพันธะสูงกว่าแฟลเกลล์แสงอาทิตย์ชนิด a-Si และแฟลเกลล์แสงอาทิตย์ชนิด μc-Si:H และ แฟลเกลล์แสงอาทิตย์ชนิด CIS มีอัตราการเปลี่ยนแปลงที่สูดเนื่องจากแฟลเกลล์แสงอาทิตย์ชนิด μc-Si:H และ แฟลเกลล์แสงอาทิตย์ชนิด CIS ติดตั้งใช้งานเป็นระยะสั้นกว่าแฟลเกลล์แสงอาทิตย์ชนิดอื่นๆ จึงทำให้อัตราการต่ำกว่าความเป็นจริง ดังนั้นจึงต้องทำการศึกษาอย่างต่อเนื่อง เพื่อให้ทราบถึงอัตราการเปลี่ยนแปลงของความต้านทานของแฟลเกลล์แสงอาทิตย์ชนิด μc-Si:H แฟลเกลล์แสงอาทิตย์ชนิด CIS ต่อไป

ตารางที่ 5 สรุปการเปลี่ยนแปลงของความต้านทานของแฟลเกลล์แสงอาทิตย์แต่ละชนิด

ชนิดแฟลเกลล์แสงอาทิตย์	อัตราการเปลี่ยนแปลงของความต้านทานอนุกรม (%)	อัตราการเปลี่ยนแปลงของความต้านทานชั้นต์ (%)
a-Si	0.78	0.03
p-Si	0.36	0.01
HIT	0.49	0.02
μc-Si:H	0.91	0.02
CIS	0.05	0.02

#### 4.1.2 สมการที่ได้จากการสร้างสมการการวิเคราะห์การถดถอยพหุคุณ (Multiple Regression Analysis)

จากทฤษฎีเมทริกซ์ในการวิเคราะห์สมการเชิงเส้น (linear regression) ซึ่งกระบวนการสร้างสมการ ซึ่งข้อมูลที่ให้ในการสร้างสมการ ได้แก่ ความต้านทานอนุกรม ( $R_s$ ) ความต้านทานชั้นต์ ( $R_{sh}$ ) กระแสไฟฟ้าสูงสุด ( $I_m$ ) และแรงดันไฟฟ้าสูงสุด ( $V_m$ ) ขั้นตอนในการสร้างมีรายละเอียดดังนี้

$$y = a_0 + a_1x_1 + a_2x_2 + \dots + a_kx_k \quad (4.1)$$

- เมื่อ  $y$  คือ ตัวแปรตาม
- $x$  คือ ตัวแปรอิสระ
- $k$  คือ จำนวนตัวแปรที่เกี่ยวข้องกับสมการ

และ ในจำนวนตัวแปรตามและตัวแปรอิสระมีค่าเป็นจำนวนมาก สามารถเขียนสมการได้ดังนี้

$$y_1 = a_0 + a_1x_{11} + a_2x_{21} + \dots + a_kx_{1k} \quad (4.2)$$

$$y_2 = a_0 + a_1x_{21} + a_2x_{22} + \dots + a_kx_{2k} \quad (4.3)$$

.....

$$y_n = a_0 + a_1x_{n1} + a_2x_{n2} + \dots + a_kx_{nk} \quad (4.4)$$

ซึ่งจากสมการข้างต้น ทำให้เกิดสมการขึ้นเป็นจำนวน  $n$  สมการ จึงสามารถเขียนให้อยู่ในรูปของ เมทริกซ์ ได้ดังนี้

$$y = xa \quad (4.5)$$

$$y = \begin{bmatrix} y_1 \\ y_2 \\ \vdots \\ y_n \end{bmatrix} \quad x = \begin{bmatrix} 1 & x_{11} & x_{12} & \cdots & x_{1k} \\ 1 & x_{21} & x_{22} & \cdots & x_{2k} \\ \vdots & \vdots & \vdots & \ddots & \vdots \\ 1 & x_{n1} & x_{n2} & \cdots & x_{nk} \end{bmatrix}$$

$$a = \begin{bmatrix} a_1 \\ a_2 \\ \vdots \\ a_n \end{bmatrix}$$

จากสมการที่ 4.5  $a$  คือ เวกเตอร์ ซึ่งหาได้จาก

$$\hat{a} = (X^T X)^{-1} X^T y \quad (4.5)$$

เมื่อนำ  $\hat{a}$  ใส่ลงในสมการการวิเคราะห์การถดถอยพหุคุณ สามารถเขียนได้ดังนี้

$$\hat{y} = X\hat{a} \quad (4.6)$$

ในการสร้างสมการให้อยู่ในรูปแบบ “ $R_s = a_0 + a_1 I_m + a_2 V_m$ ” และ “ $R_{sh} = a_0 + a_1 I_m + a_2 V_m$ ” สามารถใช้ทฤษฎีเมทริกซ์หาค่า  $a_0$ ,  $a_1$  และ  $a_2$  จากสมการที่ 4.5 ใน การสร้างสมการในครั้งนี้จะสร้าง สมการจากความสัมพันธ์ระหว่างความต้านทานอนุกรมกับกระแสไฟฟ้าสูงสุด และแรงดันไฟฟ้าสูงสุด และ ระหว่างความต้านทานชั้นต์กับกระแสไฟฟ้าสูงสุด และแรงดันไฟฟ้าสูงสุด จากการสร้างสมการ ความสัมพันธ์สามารถเขียน สมการใหม่ได้ดังนี้

#### - แผงเซลล์แสงอาทิตย์ชนิด a-Si

ความต้านทานอนุกรม ( $R_s$ ) สามารถเขียนสมการได้ดังนี้

$$R_s = 0.6631 - (0.0027 \times \left( \frac{I_T}{1 + \left( \frac{(T_{coo})}{100} \times (T_m - 25) \right)} \right)) - (0.0021 \times \left( \frac{V_T}{1 - \left( \frac{(T_{coo,V})}{100} \times (T_m - 25) \right)} \right)) \quad (4.1)$$

ความต้านทานชั้นต์( $R_{sh}$ ) สามารถเขียนสมการได้ดังนี้

$$R_{sh} = 1.096 - (0.0037 \times \left( \frac{I_T}{1 + \left( \frac{(T_{coo})}{100} \times (T_m - 25) \right)} \right)) - (0.000089 \times \left( \frac{V_T}{1 - \left( \frac{(T_{coo,V})}{100} \times (T_m - 25) \right)} \right)) \quad (4.2)$$

การเปรียบเทียบค่าความต้านทานอนุกรมที่คำนวณจากสมการ  $R_s(E_{new})$  สูงกว่า  $R_s(E_{basic})$  คิดเป็น ร้อยละ 1.11 ค่าความต้านทานชั้นต์ที่คำนวณจากสมการ  $R_{sh}(E_{new})$  สูงกว่า  $R_{sh}(E_{basic})$  คิดเป็นร้อยละ 0.07

#### - แผงเซลล์แสงอาทิตย์ชนิด p-Si

ความต้านทานอนุกรม ( $R_s$ ) สามารถเขียนสมการได้ดังนี้

$$R_s = 0.2572 - (0.0015 \times \left( \frac{I_T}{1 + \left( \frac{(T_{coo})}{100} \times (T_m - 25) \right)} \right)) - (0.00137 \times \left( \frac{V_T}{1 - \left( \frac{(T_{coo,V})}{100} \times (T_m - 25) \right)} \right)) \quad (4.3)$$

ความต้านทานชั้นต์( $R_{sh}$ ) สามารถเขียนสมการได้ดังนี้

$$R_{sh} = 1.194 - (0.0096 \times \left( \frac{I_T}{1 + \left( \frac{(T_{coe,l})}{100} \times (T_m - 25) \right)} \right)) - (0.00013 \times \left( \frac{V_T}{1 - \left( \frac{(T_{coe,V})}{100} \times (T_m - 25) \right)} \right)) \quad (4.4)$$

การเปรียบเทียบค่าความต้านทานอนุกรมที่คำนวณจากสมการ  $R_s(E_{new})$  สูงกว่า  $R_s(E_{basic})$  คิดเป็นร้อยละ 1.88 ค่าความต้านทานขั้นต่ำที่คำนวณจากสมการ  $R_{sh}(E_{new})$  สูงกว่า  $R_{sh}(E_{basic})$  คิดเป็นร้อยละ 0.09

#### - แผงเซลล์แสงอาทิตย์ชนิด HIT

ความต้านทานอนุกรม ( $R_s$ ) สามารถเขียนสมการได้ดังนี้

$$R_s = 0.4145 - (0.0087 \times \left( \frac{I_T}{1 + \left( \frac{(T_{coe,l})}{100} \times (T_m - 25) \right)} \right)) - (0.00137 \times \left( \frac{V_T}{1 - \left( \frac{(T_{coe,V})}{100} \times (T_m - 25) \right)} \right)) \quad (4.5)$$

ความต้านทานขั้นต่ำ ( $R_{sh}$ ) สามารถเขียนสมการได้ดังนี้

$$R_{sh} = 1.048 - (0.0053 \times \left( \frac{I_T}{1 + \left( \frac{(T_{coe,l})}{100} \times (T_m - 25) \right)} \right)) - (0.00013 \times \left( \frac{V_T}{1 - \left( \frac{(T_{coe,V})}{100} \times (T_m - 25) \right)} \right)) \quad (4.6)$$

การเปรียบเทียบค่าความต้านทานอนุกรมที่คำนวณจากสมการ  $R_s(E_{new})$  สูงกว่า  $R_s(E_{basic})$  คิดเป็นร้อยละ 0.87 ค่าความต้านทานขั้นต่ำที่คำนวณจากสมการ  $R_{sh}(E_{new})$  สูงกว่า  $R_{sh}(E_{basic})$  คิดเป็นร้อยละ 0.09

#### - แผงเซลล์แสงอาทิตย์ชนิด mc-Si:H

ความต้านทานอนุกรม ( $R_s$ ) สามารถเขียนสมการได้ดังนี้

$$R_s = 0.4451 - (0.0023 \times \left( \frac{I_T}{1 + \left( \frac{(T_{coe,l})}{100} \times (T_m - 25) \right)} \right)) - (0.0016 \times \left( \frac{V_T}{1 - \left( \frac{(T_{coe,V})}{100} \times (T_m - 25) \right)} \right)) \quad (4.7)$$

ความต้านทานขั้นต่ำ ( $R_{sh}$ ) สามารถเขียนสมการได้ดังนี้

$$R_{sh} = 1.024 - (0.0087 \times \left( \frac{I_T}{1 + \left( \frac{(T_{coe,l})}{100} \times (T_m - 25) \right)} \right)) - (0.00009 \times \left( \frac{V_T}{1 - \left( \frac{(T_{coe,V})}{100} \times (T_m - 25) \right)} \right)) \quad (4.8)$$

การเปรียบเทียบค่าความต้านทานอนุกรมที่คำนวณจากสมการ  $R_s(E_{new})$  สูงกว่า  $R_s(E_{basic})$  คิดเป็นร้อยละ 0.97 และค่าความต้านทานขั้นต่ำที่คำนวณจากสมการ  $R_{sh}(E_{new})$  สูงกว่า  $R_{sh}(E_{basic})$  คิดเป็นร้อยละ 0.05

### - แฟงเซลล์แสงอาทิตย์ชนิด CIS

ความต้านทานอนุกรม ( $R_s$ ) สามารถเขียนสมการได้ดังนี้

$$R_s = 0.7318 - (0.06303 \times \left( \frac{I_T}{1 + \left( \frac{(T_{coel})}{100} \times (T_m - 25) \right)} \right)) - (0.0003351 \times \left( \frac{V_T}{1 - \left( \frac{(T_{coev})}{100} \times (T_m - 25) \right)} \right)) \quad (4.9)$$

ความต้านทานชั้นต์ ( $R_{sh}$ ) สามารถเขียนสมการได้ดังนี้

$$R_{sh} = 1.004 - (0.001983 \times \left( \frac{I_T}{1 + \left( \frac{(T_{coel})}{100} \times (T_m - 25) \right)} \right)) - (1.16 \times \left( \frac{V_T}{1 - \left( \frac{(T_{coev})}{100} \times (T_m - 25) \right)} \right)) \quad (4.10)$$

การเปรียบเทียบค่าความต้านทานอนุกรมที่คำนวณจากสมการ  $R_s(E_{new})$  สูงกว่า  $R_s(E_{basic})$  คิดเป็นร้อยละ 0.97 และการเปรียบเทียบค่าความต้านทานชั้นต์ที่วิเคราะห์จากสมการที่ 4.10 ( $R_{sh}(E_{new})$ ) กับค่าความต้านทานชั้นต์ที่คำนวณจากสมการ  $R_{sh}(E_{new})$  สูงกว่า  $R_{sh}(E_{basic})$  คิดเป็นร้อยละ 0.05

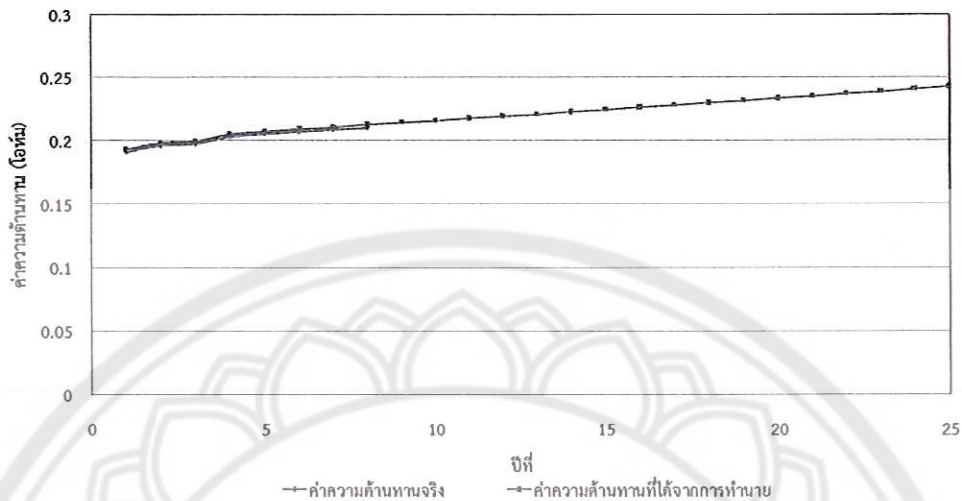
## 4.2 การเปรียบเทียบการนำมายกการเปลี่ยนแปลงความต้านทานอนุกรมและความต้านทานชั้นต์ของแฟงเซลล์แสงอาทิตย์แต่ละชนิด มีรายละเอียดดังนี้

### - แฟงเซลล์แสงอาทิตย์ชนิด-Si

จากรูปที่ 25 นำสมการที่ได้จากการคำนวณมานำมายกความต้านทานอนุกรมตลอดอายุของแฟงเซลล์แสงอาทิตย์เปรียบเทียบกับค่าความต้านทานอนุกรมของแฟงเซลล์แสงอาทิตย์

$$R_{s(Si)-t+1} = R_{s(Si)} + [R_{s(Si)} \times 0.78\%] \quad (4.11)$$

เปรียบเทียบค่าความต้านทานอนุกรม ( $R_s$ ) ของแผงเซลล์แสงอาทิตย์ชนิด a-Si

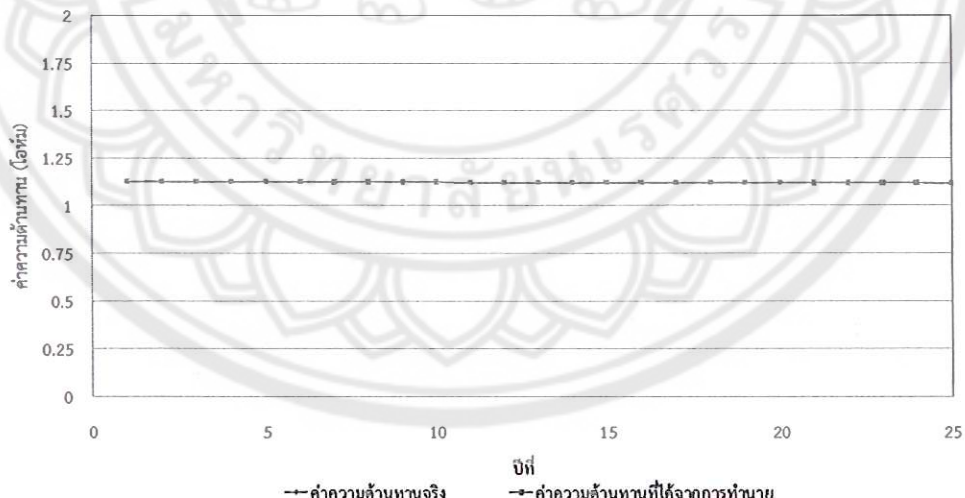


รูปที่ 25 ค่าความต้านทานอนุกรมที่ได้จากการคำนวณของแผงเซลล์แสงอาทิตย์ชนิด a-Si

จากรูปที่ 26 นำสมการที่ได้จากการคำนวณมาคำนวณค่าความต้านทานขั้นต่อไปด้วยของแผงเซลล์แสงอาทิตย์เปรียบเทียบกับค่าความต้านทานขั้นต่อของแผงเซลล์แสงอาทิตย์

$$R_{sh(a-Si+1)} = R_{sh(a-Si)} - [R_{sh(a-Si)} \times 0.03\%] \quad (4.12)$$

เปรียบเทียบค่าความต้านทานขั้นต่อ ( $R_{sh}$ ) ของแผงเซลล์แสงอาทิตย์ชนิด a-Si



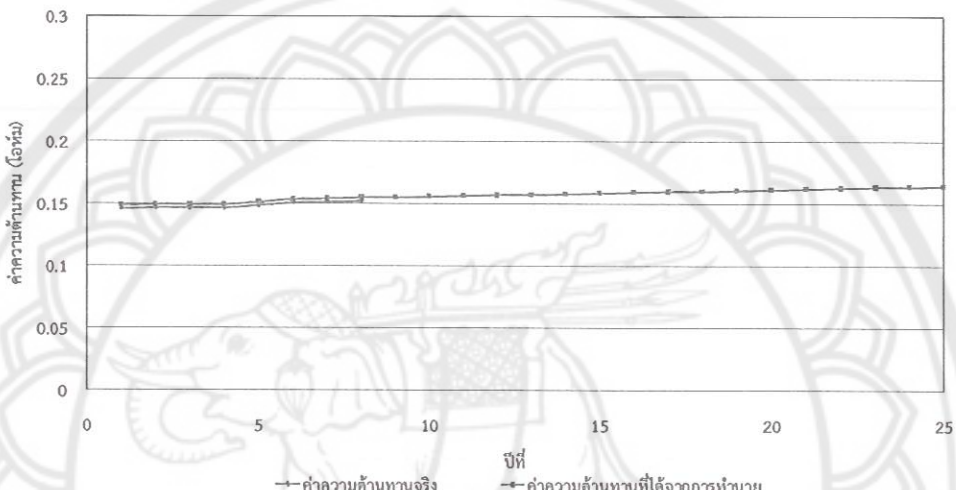
รูปที่ 26 ค่าความต้านทานขั้นต่อที่ได้จากการคำนวณของแผงเซลล์แสงอาทิตย์ชนิด a-Si

### - แฟงเซลล์แสงอาทิตย์ชนิด p-Si

จากรูปที่ 27 นำสมการที่ได้จากการคำนวณมาคำนายน้ำหนักค่าความต้านทานอนุกรมตลอดอายุของแฟงเซลล์แสงอาทิตย์เปรียบเทียบกับค่าความต้านทานอนุกรมของแฟงเซลล์แสงอาทิตย์

$$R_{s(p-Si)+o} = R_{s(p-Si)} + [R_{s(p-Si)} \times 0.36\%]) \quad (4.13)$$

เปรียบเทียบค่าความต้านทานอนุกรม ( $R_s$ ) ของแฟงเซลล์แสงอาทิตย์ชนิด p-Si

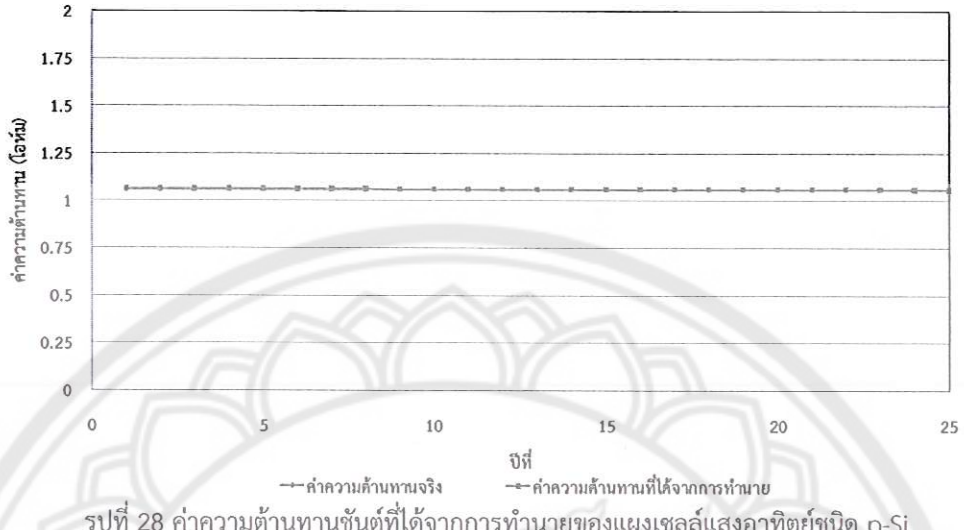


รูปที่ 27 ค่าความต้านทานอนุกรมที่ได้จากการคำนวณของแฟงเซลล์แสงอาทิตย์ชนิด p-Si

จากรูปที่ 28 นำสมการที่ได้จากการคำนวณมาคำนายน้ำหนักค่าความต้านทานชั้นต์ตลอดอายุของแฟงเซลล์แสงอาทิตย์เปรียบเทียบกับค่าความต้านทานชั้นต์ของแฟงเซลล์แสงอาทิตย์

$$R_{sh(p-Si)+o} = R_{sh(p-Si)} - [R_{sh(p-Si)} \times 0.01\%]) \quad (4.14)$$

เปรียบเทียบค่าความต้านทานชั้นต์ ( $R_{sh}$ ) ของแฟลเซลล์แสงอาทิตย์ชนิด p-Si



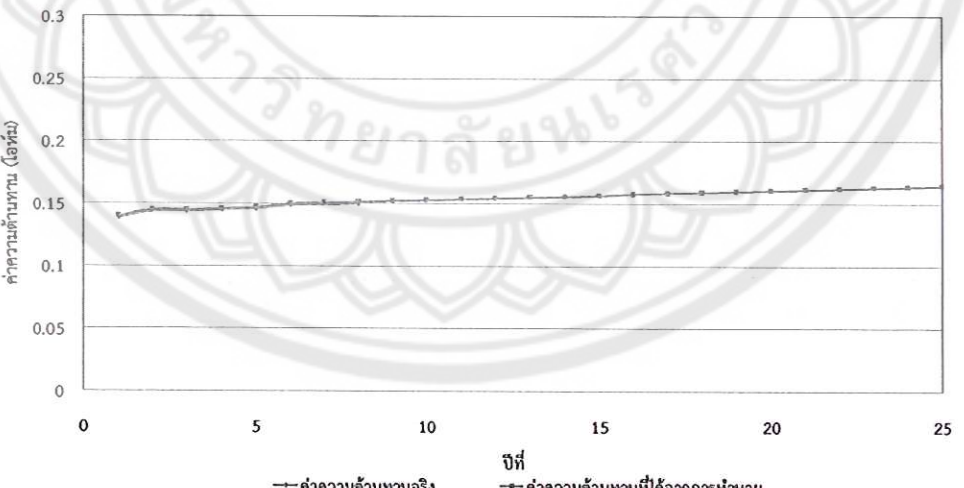
รูปที่ 28 ค่าความต้านทานชั้นต์ที่ได้จากการคำนวณของแฟลเซลล์แสงอาทิตย์ชนิด p-Si

#### - แฟลเซลล์แสงอาทิตย์ชนิด HIT

จากรูปที่ 29 นำสมการที่ได้จากการคำนวณมาคำนวณค่าความต้านทานอนุกรมตลอดอายุของแฟลเซลล์แสงอาทิตย์เปรียบเทียบกับค่าความต้านทานอนุกรมของแฟลเซลล์แสงอาทิตย์

$$R_{sh,HIT} = R_{sh,HIT} + [R_{sh,HIT} \times 0.49\%] \quad (4.15)$$

เปรียบเทียบค่าความต้านทานอนุกรม (Rs) ของแฟลเซลล์แสงอาทิตย์ชนิด HIT

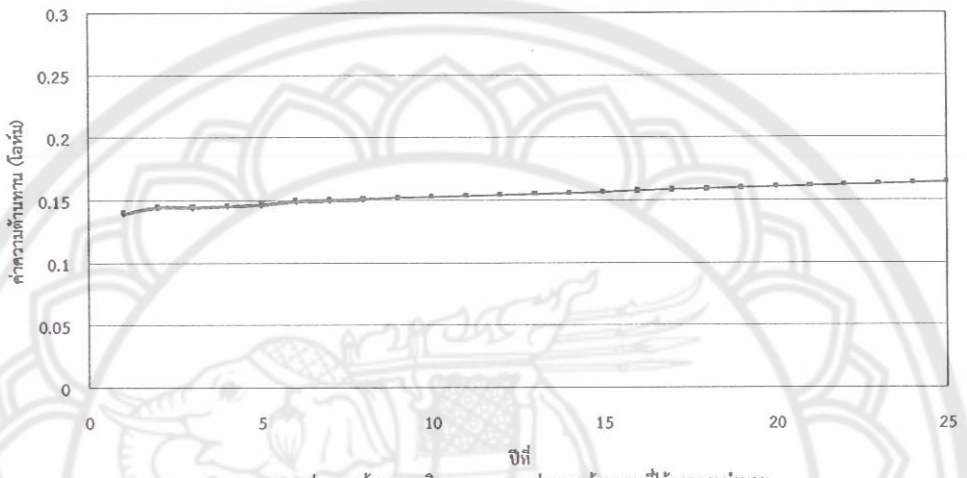


รูปที่ 29 ค่าความต้านทานอนุกรมที่ได้จากการคำนวณของแฟลเซลล์แสงอาทิตย์ชนิด HIT

จากรูปที่ 30 นำสมการที่ได้จากการคำนวณมาทำนายค่าความต้านทานชั้นต์ตลอดอายุของแพงเชลล์แสงอาทิตย์

$$R_{s(\text{HIT}+t)} = R_{s(\text{HIT})} + [R_{s(\text{HIT})} \times 0.02\%] \quad (4.16)$$

เปรียบเทียบค่าความต้านทานชั้นต์ ( $R_{sh}$ ) ของแพงเชลล์แสงอาทิตย์ชนิด HIT

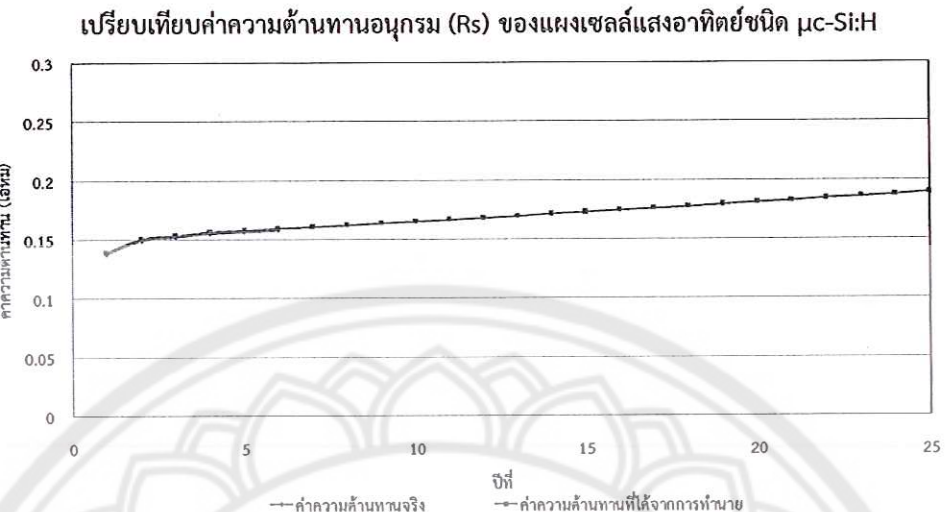


รูปที่ 30 ค่าความต้านทานชั้นต์ที่ได้จากการทำนายของแพงเชลล์แสงอาทิตย์ชนิด HIT

- แพงเชลล์แสงอาทิตย์ชนิดmuC-Si:H

จากรูปที่ 31 นำสมการที่ได้จากการคำนวณมาทำนายค่าความต้านทานอนุกรมตลอดอายุของแพงเชลล์แสงอาทิตย์ เปรียบเทียบกับค่าความต้านทานอนุกรมของแพงเชลล์แสงอาทิตย์

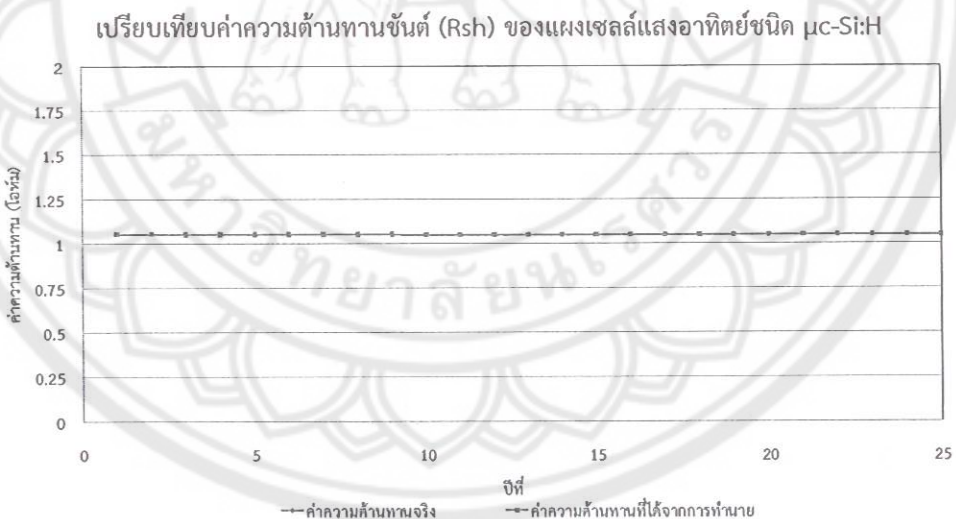
$$R_{s(\mu\text{c-Si:H}+t)} = R_{s(\mu\text{c-Si:H})} + [R_{s(\mu\text{c-Si:H})} \times 0.91\%] \quad (4.17)$$



รูปที่ 31 ค่าความต้านทานอนุกรมที่ได้จากการคำนวณของแฟลชเซลล์แสงอาทิตย์ชนิด  $\mu$ c-Si:H

จากรูปที่ 32 นำสมการที่ได้จากการคำนวณมาคำนวณค่าความต้านทานขั้นต่อลดอายุของแฟลชเซลล์แสงอาทิตย์เปรียบเทียบกับค่าความต้านทานขั้นต่อลดอายุของแฟลชเซลล์แสงอาทิตย์

$$R_{sh(\mu\text{c-Si:H})+t} = R_{sh(\mu\text{c-Si:H})} - (R_{sh(\mu\text{c-Si:H})} \times 0.02\%) \quad (4.18)$$



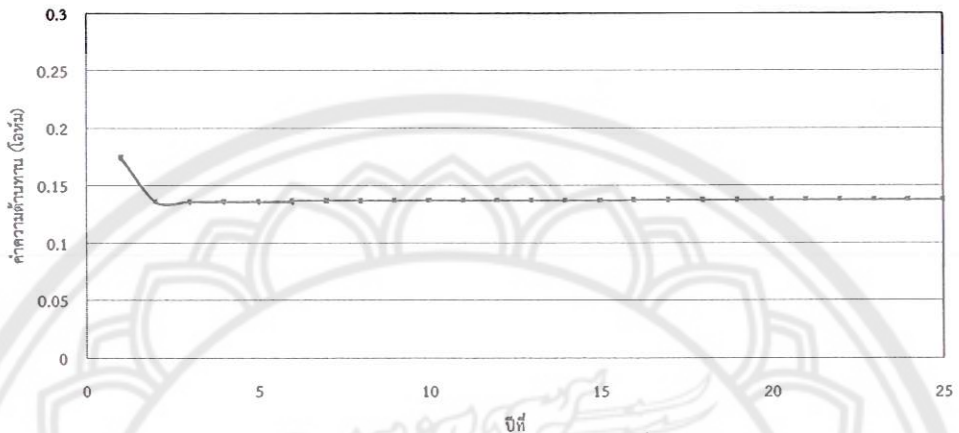
รูปที่ 32 ค่าความต้านทานขั้นต่อลดอายุที่ได้จากการคำนวณของแฟลชเซลล์แสงอาทิตย์ชนิด  $\mu$ c-Si:H

#### - แฟลชเซลล์แสงอาทิตย์ชนิด CIS

จากรูปที่ 33 นำสมการที่ได้จากการคำนวณมาคำนวณค่าความต้านทานอนุกรมลดอายุของแฟลชเซลล์แสงอาทิตย์เปรียบเทียบกับค่าความต้านทานอนุกรมของแฟลชเซลล์แสงอาทิตย์

$$R_{s(CS)_{n+1}} = R_{s(CS)} + [R_{s(CS)} \times 0.05\%] \quad (4.19)$$

เปรียบเทียบค่าความต้านทานอนุกรม ( $R_s$ ) ของแผงเซลล์แสงอาทิตย์ชนิด CIS

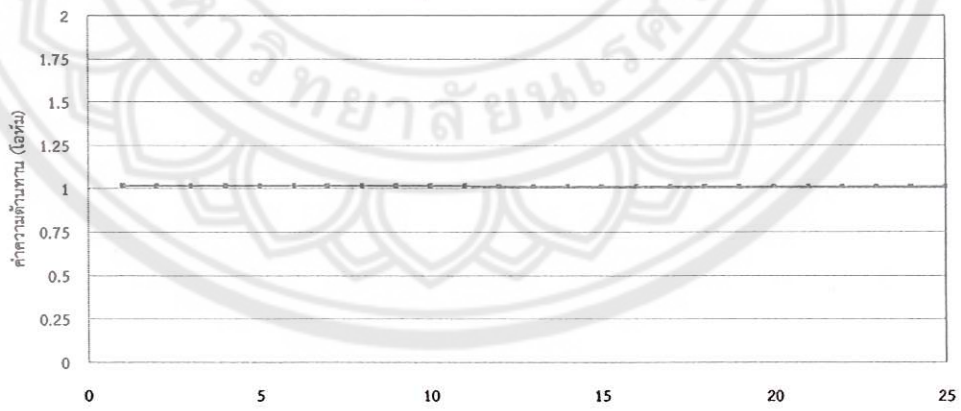


รูปที่ 33 ค่าความต้านทานอนุกรมที่ได้จากการคำนวณของแผงเซลล์แสงอาทิตย์ชนิด CIS

จากรูปที่ 34 นำสมการที่ได้จากการคำนวณมาคำนวณค่าความต้านทานชั้นต่อไปด้วยของแผงเซลล์แสงอาทิตย์เพรียบเทียบกับค่าความต้านทานชั้นต่อของแผงเซลล์แสงอาทิตย์

$$R_{sh(CS)_{n+1}} = R_{sh(CS)} - [R_{sh(CS)} \times 0.02\%] \quad (4.20)$$

เปรียบเทียบค่าความต้านทานอนุกรม ( $R_{sh}$ ) ของแผงเซลล์แสงอาทิตย์ชนิด CIS



รูปที่ 34 ค่าความต้านทานชั้นต่อที่ได้จากการคำนวณของแผงเซลล์แสงอาทิตย์ชนิด CIS

## บทที่ 5

### 5.1 สรุปผลการวิจัย

สรุปของงานวิจัยนี้จะทำการแบ่งออกเป็น 2 หัวข้อ มีรายละเอียดดังนี้

5.1.1 ผลจากการพัฒนาเทคนิคการตรวจวัดและวิเคราะห์หากาการเปลี่ยนแปลงความต้านทานภายในชิ้งส่งผลโดยต่อการลดลงของความสามารถในการผลิตพัลจานไฟฟ้าของแผงเซลล์แสงอาทิตย์ ภายใต้สภาวะการใช้งานจริงโดยเป็นการศึกษาวิจัยเพิ่มเติมจากโครงการ การศึกษาผลกระทบของการเปลี่ยนแปลงความต้านทานภายในแผงเซลล์แสงอาทิตย์ที่ส่งผลต่อการผลิตไฟฟ้าของโรงไฟฟ้าเซลล์แสงอาทิตย์ขนาดใหญ่พบว่าสมการการเปลี่ยนแปลงความต้านทานภายในที่ได้จากการวิเคราะห์ เมื่อนำมาคำนวณและเปรียบเทียบกับค่าความต้านทานภายในที่ได้จากการทดลองจริง มีค่าความคลาดเคลื่อนน้อยมาก ซึ่งค่าความต้านทานภายในที่ได้นั้นมีความใกล้เคียงกับค่าความต้านทานภายในจริงของแผงเซลล์แสงอาทิตย์มากกว่าสมการที่ได้จากการทดลองจริง เนื่องจากมีการวิเคราะห์ข้อมูลจากสภาพการทำงานจริงในสภาพภูมิอากาศของประเทศไทย จึงสามารถนำสมการที่ได้มาประยุกต์ใช้ในการคำนวณค่าความต้านทานภายในที่เปลี่ยนแปลงของแผงเซลล์แสงอาทิตย์ในสภาพการทำงานจริงได้

5.1.2 ผลจากการสร้างแบบจำลองทางคณิตศาสตร์สำหรับการทำนายการเปลี่ยนแปลงความต้านทานภายในแผงเซลล์แสงอาทิตย์ในสภาพการทำงานจริง พบว่าสมการที่ได้จากการสร้างแบบจำลองทางคณิตศาสตร์สำหรับการทำนายการเปลี่ยนแปลงความต้านทานภายในสามารถนำมาคำนวณค่าความต้านทานภายในของแผงเซลล์แสงอาทิตย์ที่เปลี่ยนแปลงไปตลอดอายุการใช้งานของแผงเซลล์แสงอาทิตย์ชนิด HJT โดยที่แผงเซลล์แสงอาทิตย์ a-Si แผงเซลล์แสงอาทิตย์ชนิด p-Si แผงเซลล์แสงอาทิตย์ชนิด CIS มีค่าความต้านทานอนุกรมที่ได้จากการคำนวณค่าความต้านทานชั้นต่ำที่ได้จากการทำนายคาดเคลื่อนจากค่าความต้านทานจริงร้อยละ 1.11 1.88 0.87 0.97 และ 0.97 ตามลำดับ ค่าความต้านทานชั้นต่ำที่ได้จากการทำนายคาดเคลื่อนจากค่าความต้านทานจริงร้อยละ 0.07 0.09 0.09 0.05 และ 0.05 ตามลำดับ

### 5.2 ข้อเสนอแนะ

1. ความมีการตรวจสอบและซ้อมบำรุงอย่างสม่ำเสมอ เพื่อให้ระบบสามารถได้อย่างเต็มประสิทธิภาพ
2. ความมีการเก็บบันทึกข้อมูลอย่างต่อเนื่อง เพื่อใช้ในการพัฒนาเทคนิคการตรวจวัดและวิเคราะห์หากาการเปลี่ยนแปลงความต้านทานภายในของโรงไฟฟ้าเซลล์แสงอาทิตย์ขนาดใหญ่ต่อไป
3. ความมีการศึกษาผลกระทบที่เกิดจากความซึ้งส่งผลอย่างไรกับความต้านทานภายในของแผงเซลล์แสงอาทิตย์

## บรรณานุกรม

- [1] Arnulf Jäger-Waldau. PV Status Report 2013: Research, Solar Cell Production and Market Implementation of Photovoltaic. EUR 26118 EN-2013
- [2] David L. King, William E. Boyson, Jay A. Kratochvil. 2004. Photovoltaic Array Performance Model. Sandia National Laboratories. SAND2004-3535
- [3] Achitpon SaSitharanuwata, Wattanapong Rakwichian, Nipon Ketjoy, and Suchart Yammen.(2006).Performance evaluation of a 10 kWp PV power system prototype for isolated building in Thailand.Renewable Energy.
- [4] Kritwiput Phaokeaw, Nipon Ketjoy, Wattanapong Rakwichian and Suchart Yammen.(2007). Performance of a-Si, p-Si and HIT PV Technological Comparison under Tropical Wet Climate Condition. International Journal of Renewable Energy (IJRE).p 23-34
- [5] ณัฐวุฒิ ขาวสะอาด นิติพิร เจาะจง และนิพนธ์ เกตุจ้อย.การศึกษาพลังงานไฟฟ้าที่แผงเซลล์แสงอาทิตย์ผลิตได้รายปีภายใต้สภาวะการใช้งานจริง. เทคโนโลยีอุตสาหกรรม. วารสารวิชาการคณะเทคโนโลยีอุตสาหกรรมมหาวิทยาลัยราชภัฏลำปาง. ปีที่ 2 ฉบับที่ 1 เมษายน 2552 – กันยายน 2552.
- [6] Nipon Ketjoy, Chatchai Sirisamphanwong and Nattawut Khaosaad.(2012). Performance evaluation of 10 kWp photovoltaic power generator under hot climatic condition. สืบค้นเมื่อ 1 สิงหาคม 2556, จาก <http://www.sciencedirect.com/>.
- [7] สำนักพัฒนาพลังงานแสงอาทิตย์กรมพัฒนาพลังงานทดแทน และอนุรักษ์พลังงาน.สืบค้นเมื่อ พฤศจิกายน 55. จ ฯ ก [http://www.dede.go.th/dede/index.php?option=com\\_content&view=article&id=85%3A-2552-&catid=52&Itemid=68&lang=th](http://www.dede.go.th/dede/index.php?option=com_content&view=article&id=85%3A-2552-&catid=52&Itemid=68&lang=th).
- [8] Izumi Kaizuka, Latest trends and outlook for the global PV market, Feb 29, 2012, PV EXPO 2012.
- [9] นิพนธ์ เกตุจ้อย. (2547). การบริหารจัดการโครงการบ้านพลังงานแสงอาทิตย์.เอกสารประกอบการฝึกอบรมการบริหารจัดการแบบยั่งยืนสำหรับโครงการบ้านพลังงานแสงอาทิตย์. วิทยาลัยพลังงานทดแทน มหาวิทยาลัยนเรศวร.
- [10] Kassel University.(2003). Photovoltaic Systems Technology SS 2003.Theoretical Description of the Solar Cell. p40.
- [11] นิพนธ์ เกตุจ้อย. (2547). ความปลอดภัยสำหรับระบบไฟฟ้าเซลล์แสงอาทิตย์.การฝึกอบรมเรื่องการติดตั้งและดูแลรักษาระบบบ้านพลังงานแสงอาทิตย์. วิทยาลัยพลังงานทดแทน มหาวิทยาลัยนเรศวร.
- [12] Nipon Ketjoy. (2005). Photovoltaic Hybrid System for Rural Electrification in the Mekong Countries.Doctor of Engineering (Dr.-Ing).Kassel University.Germany.

### บรรณานุกรม (ต่อ)

- [13] S.R.Wenham, M.A. Green, and M.E. Watt. (1994). Applied photovoltaics.Australia: National Library of Australia.
- [14] Peter Hacke, Kent Terwilliger, Ryan Smith, Stephen Glick, Joel Pankow, Michael Kempe, Sarah Kurtz Ian Bennett, Mario Kloos. (2011). System Voltage Potential-Induced Degradation Mechanisms in PV Modules and Methods for Test. สืบคันเมื่อ 1 สิงหาคม 2556, จาก [www.nrel.gov/docs/fy11osti/50716.pdf](http://www.nrel.gov/docs/fy11osti/50716.pdf)
- [15] FarazEbneali . (2012) Potential Induced Degradation of Photovoltaic Modules: Influence of Temperature and Surface Conductivity. สืบคันเมื่อ 1 สิงหาคม 2556, จาก <http://solaredon.files.wordpress.com/2012/10/asu.pdf>
- [16] Lele Peng, Yize Sun, ZhuoMeng, Yuling Wang, Yang Xu. (2013). A new method for determining the characteristics of solar cells.Journal of Power Sources 227.131-136.
- [17] S. Kaplanis and E. Kaplani.(2011). Energy performance and degradation over 20 years performance of BP c-Si PV modules.Simulation Modelling Practice and Theory 19.1201–1211.
- [18] M. Fuentes, G. Nofuentes, J. Aguilera, D.L. Talavera, M. Castro. (2007). Application and validation of algebraic methods to predict the behaviour of crystalline silicon PV modules in Mediterranean climates.Solar Energy 81.1396–1408.
- [19] E.E. van Dyk E.L. Meyer. (2003). Analysis of the effect of parasitic resistances on the performance of photovoltaic modules. Renewable Energy 29 (2004) 333–344. (Sciencedirect).สืบคันเมื่อ 15 กันยายน 2550, จาก <http://www.sciencedirect.com/>.



บกความวิชาการ

ฉบับรวมเล่ม

การประชุมวิชาการเครือข่ายพลังงาน  
แห่งประเทศไทย ครั้งที่ ๙

9<sup>th</sup> Conference on Energy Network of Thailand

พลังงานสีเขียวเพื่อโลกที่สดใส  
Green Energy Brightens Our World

ณ ชลพฤกษ์ รีสอร์ฟ อําเภอบ้านนา จังหวัดศรีสะเกษ

8-10 พฤษภาคม 2556

จัดการประชุมโดย  
คณะกรรมการศาสตร์  
มหาวิทยาลัยเทคโนโลยีมหานคร



ptt  
Group

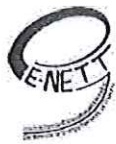


การประชุมวิชาการเครือข่ายพลังงานแห่งประเทศไทย ครั้งที่ ๙

รหัสอ้างอิงบทความ	ชื่อบทความ	หน้า
RE025	การวิเคราะห์สาเหตุการเกิดปัญหา Sintering, Slagging และ Fouling จากการเผาใหม่ ที่มีผลต่อการเผาใหม่ในเตาเผาใหม่ปัจจุบัน	1040
RE026	คุณลักษณะของการเผาใหม่ เชือเพลิงเชื้อมูลในเตาเผาใหม่ฟลูอิเดซ์เบดแบบหมุนเรียน	1047
RE027	การประเมินศักยภาพพลาสติกงานลมเบื้องต้นสำหรับติดตั้งกันหันลม	1055
RE028	การลดลงของสมรรถนะแห่งเซลล์แสงอาทิตย์ชนิดไมโครชิลิกอนที่ส่งต่อโรงไฟฟ้าขนาดใหญ่	1061
RE029	การประเมินผลของเวลา บริมาณความเข้มข้นสารตั้งต้นและความเข้มข้นของ NaOH ต่อ องค์ประกอบของไฟฟ้าโดยใช้วิธีการพื้นที่ผิวตอบสนอง	1066
RE030	การทำนายอุณหภูมิการเผาใหม่ เชือเพลิงแก๊สของหัวไฟฟ้าสุดพุ่งแบบเน็คกลอนอัดแน่นโดย วิธีการออกแบบการทดลองเชิงแยกห้องเผาใหม่	1080
RE031	การศึกษาเชิงเบรี่ยนเพียบพร้อมการใช้เชือเพลิงของ LPG และแก๊สเชื้อกำลังสำหรับผลิตไฟฟ้า	1087
RE032	การศึกษาเชิงเบรี่ยนเพียบการเพิ่มประสิทธิภาพของเซลล์แสงอาทิตย์	1092
RE033	込んでพลศาสตร์การอับแห้งกามะพร้าวด้วยเทคนิคแบบสกรูสำเร็จ	1098
RE034	การหาสมรรถนะของเครื่องยนต์อัดอากาศที่ตัดเปล่งจากเครื่องยนต์สันดาปภายใน	1103

#### สาขาอื่นๆ ที่เกี่ยวข้องทางด้านพลังงาน: Others Energy-related Topics (OT)

รหัสอ้างอิงบทความ	ชื่อบทความ	หน้า
OT001	การศึกษาการใช้งานที่อุณหภูมิต่ำของน้ำมันปาล์มใบโอดีเซลผสม	1108
OT002	วงจรเรียงกระแสแบบบทรงดันที่สวิตซ์ด้วยแรงดันศูนย์โดยใช้สัญญาณที่ดันเบลี่ยเอ็ม เพื่อการ ประยุกต์ใช้ในการประจุแบตเตอรี่ชนิด Li-ion	1117
OT003	การทำตามแบบติดตั้งที่เหมาะสมของ AVR ในระบบจำหน่ายด้วย PSO	1125
OT005	ระบบจำลองการขยายช่วงความเร็วและแรงบิดในมอเตอร์ไฟตรงรีแอร์ปรับถ่านด้วยโปรแกรม MATLAB/Simulink	1131
OT006	การจัดการพลังงานและประเมินรอยเท้าคาร์บอนในโรงงานแข็งเยื่อแก้ไข	1137
OT007	การพัฒนาและศึกษาประสิทธิภาพของเตาเผาเชื้อยางชุมชน ในมหาวิทยาลัย ราชภัฏไทรโยงกรณ์	1142
OT008	การติดตามแสงอาทิตย์ด้วยการปรับสมดุลระดับน้ำ	1149
OT009	การใช้ระบบแก๊สซิฟิเคชันจากเศษไม้ลำไยเพื่อลดต้นทุนการผลิตในอุตสาหกรรมเชรามิก	1156
OT010	ผลกระทบของการผลิตไฟฟ้าเชือเพลิงฟอสซิลที่มีต่อสุขภาพของมนุษย์และสิ่งแวดล้อม	1164
OT011	ประสิทธิภาพและการปล่อยก๊าซมลพิษของการเผาใหม่ถ่านในเตาหุงต้มแบบดั้งๆ	1172
OT012	Photovoltaic Charge Controller	1178
OT013	การวิเคราะห์ทางการเงินเพื่อตัดสินใจเปลี่ยนเชือเพลิงจากน้ำมันเตาเป็นก๊าซธรรมชาติในระบบ เตาเผา: กรณีศึกษาโรงงานอุตสาหกรรมปิโตรเคมีและการกลั่น	1185
OT014	ผลของอัตราการไหลเข้าและอัตราส่วนการไหลต่อความเข้มข้นทางออกถ่านบน ด้านล่าง และประสิทธิภาพการแยกของไฮโดรเจนคลอนขนาด 40 มิลลิเมตร	1193
OT015	การศึกษาและออกแบบโปรแกรมตรวจสอบจับการเกิดอิสchar์จางส่วนในหม้อแปลงไฟฟ้ากำลัง ตามหลักการปล่อยสัญญาณอะคูสติกด้วยเทคนิคความแตกต่างของเวลาการมาถึงของสัญญาณ	1199



รหัสบทความ:

RE028

การประชุมวิชาการเครือข่ายเพลังงานแห่งประเทศไทยครั้งที่ 9

8-10 พฤษภาคม 2556 จังหวัดนนทบุรี

## การลดลงของสมรรถนะแผงเซลล์แสงอาทิตย์ชนิดไมโครซิลิกอนที่ส่งต่อโรงไฟฟ้าขนาดใหญ่

### Performance degradation of amorphous silicon/micro crystalline silicon

#### (a-Si/ $\mu$ C) effect to large scale solar power plant

นิพนธ์ เกตุจ้อย\*, ณัฐวุฒิ ขาวสะอาด, พัตรชัย ศิริสันพันธวงศ์ และ คงฤทธิ์ แม้นศิริ

วิทยาลัยพลังงานทดแทน มหาวิทยาลัยนเรศวร พิษณุโลก 65000

โทรศัพท์ : 0-5596-3182 โทรสาร : 0-5596-3182

\*ผู้ติดต่อ: niponk@nu.ac.th

#### บทคัดย่อ

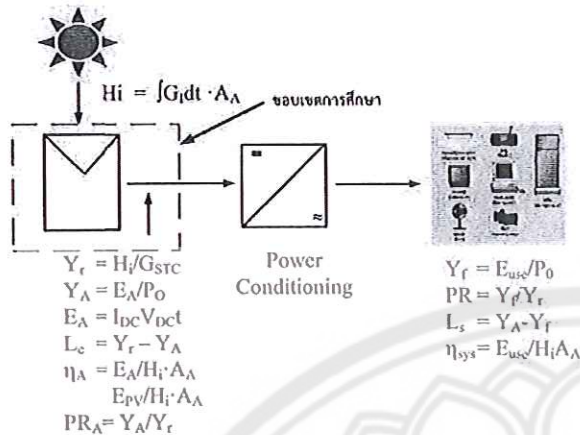
บทความนี้นำเสนอผลศึกษาแนวโน้มการลดลงของสมรรถนะแผงเซลล์แสงอาทิตย์ชนิด a-Si: $\mu$ C ที่ส่งผลต่อโรงไฟฟ้าขนาดใหญ่ โดยนำข้อมูลของแผงเซลล์แสงอาทิตย์ชนิด a-Si: $\mu$ C มาทำการวิเคราะห์หาอัตราการลดลงของสมรรถนะ ซึ่งข้อมูลที่นำมาวิเคราะห์อยู่ในช่วงปี 2552 - 2554 หลังจากนั้นนำผลที่วิเคราะห์มาทำการทำนายพลังงานไฟฟ้าที่โรงไฟฟ้าเซลล์แสงอาทิตย์ขนาดกำลังไฟฟ้า 1 MW โดยใช้โปรแกรม PVSYST V 5.21 และวิเคราะห์หาความแตกต่างระหว่างการทำนายพลังงานไฟฟ้าของแผงเซลล์แสงอาทิตย์ภายใต้สภาวะการใช้จิจเบรี่ยนเทียบกับเงื่อนไขการรับประกันแผงเซลล์จากผู้ผลิต จากการศึกษาพบว่า แนวโน้มการลดลงของสมรรถนะแผงเซลล์แสงอาทิตย์ชนิด a-Si: $\mu$ C มีค่าเท่ากับร้อยละ 0.38 ต่อปี และจากการทำนายพลังงานไฟฟ้าของโรงไฟฟ้าที่ผู้ผลิตได้ภายใต้สภาวะการใช้จิจสูงกว่าสภาวะภายใต้เงื่อนไขการรับประกันคิดเป็นร้อยละ 5.96

**คำหลัก:** อัตราการลดลง, สมรรถนะ, แผงเซลล์แสงอาทิตย์, ไมโครซิลิกอน, โรงไฟฟ้าขนาดใหญ่

#### Abstract

This article presents the performance degradation of amorphous silicon/micro crystalline silicon (a-Si: $\mu$ C) effect to large scale solar power plant. The data are used for analysis during 2009 - 2011. After that, the electricity energy prediction from the analysis data is based on the large scale solar power plant. The PVSYST software Vision 5.21 uses for the electricity energy prediction. And the electricity energy prediction compares between actual conditions and manufacturer's warranty. Results of this research are found that. The performance degradation of a-Si: $\mu$ C is 0.38 % and the electricity energy prediction of actual conditions is higher than manufacturer's warranty is 5.96 %.

**Keywords:** Degradation rate, Performance, PV module, Amorphous silicon/micro crystalline silicon, Large scale solar power plant.



รูปที่ 1 การประเมินและวิเคราะห์สมรรถนะทางด้านเทคนิค

พลังงานไฟฟ้าที่ผลิตได้จากแผงเซลล์แสงอาทิตย์ (Array Yield;  $Y_A$ ) หาได้จากการ

$$Y_A = \frac{E_A}{P_0} \quad (1)$$

$Y_A$  คือ พลังงานไฟฟ้าที่เซลล์แสงอาทิตย์ผลิตได้ต่อกำลังติดตั้ง ( $kWh/kWp$ )

$E_A$  คือ พลังงานไฟฟ้าที่เซลล์แสงอาทิตย์ผลิตได้ ( $kWh$ )

$P_0$  คือ กำลังไฟฟ้าติดตั้งสูงสุดของแผงเซลล์แสงอาทิตย์ ( $Wp$ )

พลังงานไฟฟ้าที่ผลิตได้จากแผงเซลล์แสงอาทิตย์ในทางทฤษฎี (Reference Yield;  $Y_r$ ) หาได้จากการ

$$Y_r = \frac{H_i}{G_{STC}} \quad (2)$$

$Y_r$  คือ พลังงานไฟฟ้าที่เซลล์แสงอาทิตย์ผลิตได้ต่อกำลังติดตั้งในทางทฤษฎี ( $kWh/kWp$ )

$H_i$  คือ พลังงานจากรังสีดวงอาทิตย์ที่ตกกระทบพื้นผิวแผงเซลล์แสงอาทิตย์ ( $kWh/m^2$ )

$G_{STC}$  คือ ค่าความเข้มรังสีดวงอาทิตย์ที่สภาวะมาตรฐานการทดสอบเซลล์แสงอาทิตย์  $STC = 1 kW/m^2$

สมรรถนะแพงเซลล์แสงอาทิตย์ (Array Performance Ratio;  $PR_A$ ) หาได้จากการ

$$PR_A = \frac{Y_A}{Y_r} \quad (3)$$

การวิเคราะห์อัตราการลดลงของสมรรถนะแพงเซลล์แสงอาทิตย์ จะแบ่งออกเป็น 2 ส่วน ได้แก่ ส่วนแรกศึกษาแนวโน้มการลดลงของสมรรถนะแพงเซลล์แสงอาทิตย์ชนิด a-Si:H/C ตั้งแต่ปี 2552 – 2554 ดำเนินการวิเคราะห์สมรรถนะของแพงเซลล์แสงอาทิตย์จะไม่นำสมรรถนะของปี 2552 เนื่องจากยังอยู่ในช่วงยังไม่เสถียร (stabilize) และใช้ช่วงเวลาตั้งแต่ 07.00-17.00 น. และส่วนที่สอง ทำการนำรายพลังงานไฟฟ้าที่โรงไฟฟ้าผลิตได้โดยใช้โปรแกรม PVSTST V 5.21 และเปรียบเทียบพลังงานไฟฟ้าของแพงเซลล์แสงอาทิตย์ภายใต้สภาวะการใช้งานจริงกับตามเงื่อนไขการรับประทานแพงเซลล์จากผู้ผลิตว่าเป็นอย่างไร ซึ่งการรับประทานการลดลงของกำลังไฟฟ้าของแพงเซลล์แสงอาทิตย์ในช่วงอายุการใช้งาน 20 - 25 ปี เท่ากับ 20 % ของกำลังไฟฟ้าสูงสุด ในงานวิจัยนี้จะมุ่งเน้นศึกษาอายุของโรงไฟฟ้า เท่ากับ 20 ปี

ตารางที่ 1 คุณสมบัติของแพงเซลล์แสงอาทิตย์

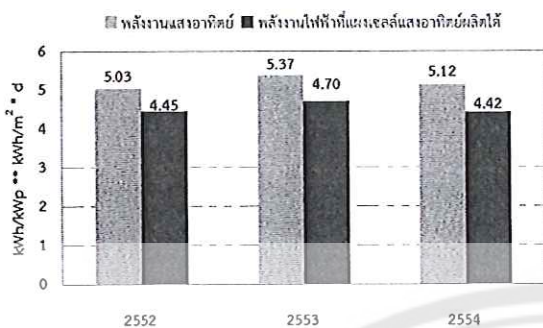
พัฒนา	a-Si:H/C	
กำลังไฟฟ้าสูงสุด ( $P_{max}$ )	[W]	100
ค่ากระแสไฟฟ้าคงที่ ( $I_{sc}$ )	[A]	71
ค่ากระแสไฟฟ้าคงที่ ( $I_{oc}$ )	[A]	2.25
ค่าแรงดันไฟฟ้าคงที่ ( $V_{mp}$ )	[V]	53.5
ค่าแรงดันไฟฟ้าคงที่ ( $V_{oc}$ )	[V]	1.87
จํานวนเซลล์ในตัว	[หน่วย]	12
กรัมต่อกิโลกรัม ( $g/kWp$ )	[%]	80
ขนาดแผงเซลล์แสงอาทิตย์	[mm]	$1,210 \times 1,008 \times 40$

หมายเหตุ: สถานะมาตรฐาน: Air mass 1.5, ความเข้มรังสีอาทิตย์  $1,000 W/m^2$ , อุณหภูมิเซลล์  $25^\circ C$ .

### 3. ผลการศึกษา

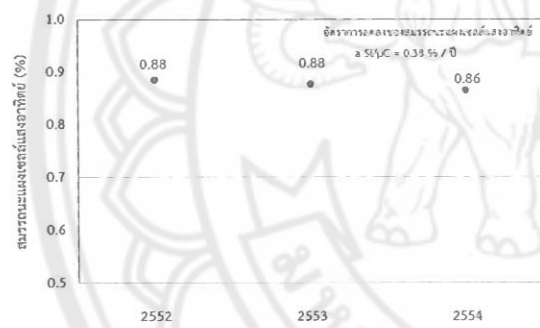
#### 3.1 การลดลงของสมรรถนะแพงเซลล์แสงอาทิตย์

ผลการศึกษาแนวโน้มการลดลงของสมรรถนะแพงเซลล์แสงอาทิตย์ชนิด a-Si:H/C พบว่าพลังงานไฟฟ้าที่แพงเซลล์แสงอาทิตย์สามารถผลิตได้โดยเฉลี่ย มีค่าเท่ากับ  $4.58 kWh/kWp \cdot d$  ดังรูปที่ 2



รูปที่ 2 พลังงานไฟฟ้าที่แสงอาทิตย์ผลิตได้เฉลี่ยรายวัน

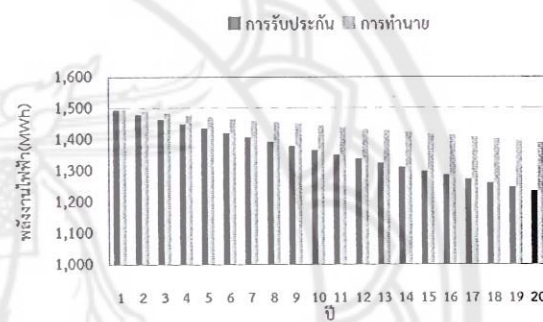
จากรูปที่ 3 แสดงให้เห็นถึงแนวโน้มการลดลงของสมรรถนะแสงเซลล์แสงอาทิตย์ ซึ่งจากการศึกษาพบว่า อัตราการลดลงของแนวโน้มของสมรรถนะแสงเซลล์แสงอาทิตย์ มีค่าเท่ากับร้อยละ 0.38 ต่อปี



รูปที่ 3 สมรรถนะแสงเซลล์แสงอาทิตย์

จากรูปที่ 4 เป็นการทำนายพลังงานไฟฟ้าที่โรงไฟฟ้าผลิตได้ในแต่ละปีตลอดอายุของโรงไฟฟ้า พบว่าตามเงื่อนไขการรับประกันแสงเซลล์จากผู้ผลิต สามารถผลิตพลังงานไฟฟ้าที่ผลิตได้ตลอดอายุของโรงไฟฟ้าเท่ากับ 27,206,524 MWh และพลังงานไฟฟ้าของแสงเซลล์แสงอาทิตย์ภายใต้สภาวะการใช้งานจริง เท่ากับ 28,827,463 MWh ความแตกต่างระหว่างการทำนายพลังงานไฟฟ้าของแสงเซลล์แสงอาทิตย์ภายใต้สภาวะการใช้งานจริงกับตามเงื่อนไขการรับประกันแสงเซลล์จากผู้ผลิต คิดเป็นร้อยละ 5.96 จากผลดังกล่าวจะเห็นได้ว่า จากการทำนายพลังงานไฟฟ้าของแสงเซลล์แสงอาทิตย์ภายใต้สภาวะการใช้งานจริงโรงไฟฟ้าเซลล์แสงอาทิตย์

สามารถผลิตพลังงานไฟฟ้าได้สูงกว่าตามเงื่อนไขการรับประกันแสงเซลล์จากผู้ผลิต แต่อย่างไรก็ตามผลจากการทดลองการลดลงของสมรรถนะไม่ได้มาจากแสงเซลล์แสงอาทิตย์เพียงอย่างเดียว ในโรงไฟฟ้ามีอุปกรณ์ประกอบต่างๆ เช่น เครื่องแปลงกระแสไฟฟ้า และหม้อแปลง เป็นต้น ซึ่งอุปกรณ์ต่างๆ เหล่านี้มีการสูญเสียพลังงานไฟฟ้าในตัวเอง ประกอบกับข้อมูลและอายุการใช้งานของแสงเซลล์แสงอาทิตย์นั้นยังน้อย ดังนั้นผลทำนายที่ได้นั้นอาจจะมีความคาดเคลื่อนจากความเป็นจริงเล็กน้อย



รูปที่ 4 พลังงานไฟฟ้าที่โรงไฟฟ้าผลิตได้ตลอดอายุการใช้งาน

#### 4. สรุปผลการศึกษา

ผลการศึกษาแนวโน้มการลดลงของสมรรถนะแสงเซลล์แสงอาทิตย์ชนิด a-Si:H/C พบว่า พลังงานไฟฟ้าที่แสงเซลล์แสงอาทิตย์สามารถผลิตได้โดยเฉลี่ยรายปี มีค่าเท่ากับ 4.58 kWh/kWp • d และอัตราการลดลงของแนวโน้มการลดลงของสมรรถนะแสงเซลล์แสงอาทิตย์ มีค่าเท่ากับร้อยละ 0.38 ต่อปี และส่งผลทำให้เกิดเพื่อเปรียบเทียบความแตกต่างระหว่างการทำนายพลังงานไฟฟ้าของแสงเซลล์แสงอาทิตย์ภายใต้สภาวะการใช้งานจริงกับตามเงื่อนไขการรับประกันแสงเซลล์จากผู้ผลิต คิดเป็นร้อยละ 5.96

#### 5. กิจกรรมประมวล

งานวิจัยนี้ได้รับทุนอุดหนุนจากสำนักงานคณะกรรมการวิจัยแห่งชาติ (วช.) งบประมาณแผ่นดิน ประจำปีงบประมาณ 2551 2552 2554 2555 และ 2556 และ Kaneka



รหัสบทความ:

RE028

การประชุมวิชาการเครือข่ายพลังงานแห่งประเทศไทยครั้งที่ 9

8-10 พฤษภาคม 2556 จังหวัดนครนายก

Corporation, Japan และขอขอบพระคุณคณาจารย์นักวิจัยของวิทยาลัยพลังงานทดแทนที่ได้ให้ความช่วยเหลือในเรื่องคำแนะนำ และข้อมูลสนับสนุนในการศึกษานี้ ทำให้การศึกษาครั้งนี้สำเร็จลุล่วงไปได้ด้วยดี

#### 6. เอกสารอ้างอิง

- [1] สำนักพัฒนาพลังงานแสงอาทิตย์ กรมพัฒนาพลังงานทดแทน และอนุรักษ์พลังงาน, [บพกวน สื่อออนไลน์]. สืบค้นได้จาก<[http://www.dede.go.th/dede/fileadmin/upload/nov50/mar52/RE\\_DP\\_present.pdf](http://www.dede.go.th/dede/fileadmin/upload/nov50/mar52/RE_DP_present.pdf)>. พฤษภาคม 2554.
- [2] สำนักงานนโยบายและแผนพลังงาน กระทรวงพลังงาน, นโยบายการส่งเสริมการผลิตไฟฟ้าจากพลังงานหมุนเวียน, 2555.
- [3] Achitpon SaSitharanuwata, Wattanapong Rakwichian, Nipon Ketjoy, and Suchart Yammen, (2006), Design and Testing of a 10 kWp standalone PV Prototype for Future Community Grid Adapted for Remote Area in Thailand, *International Journal of Renewable Energy (IIRE)*, 33-43.
- [4] Kritwiput Phaokeaw, Nipon Ketjoy, Wattanapong Rakwichian and Suchart Yammen, (2007), Performance of a-Si, p-Si and HIT PV Technological Comparison under Tropical Wet Climate Condition, *International Journal of Renewable Energy (IIRE)*, 23-34.
- [5] Wuthipong Suponthana, Nipon Ketjoy, Wattanapong Rakwichian and Phumisak Inthanon, (2007), Performance Evaluation AC Solar Home System in Thailand: system using multi crystalline silicon PV module versus system using thin film amorphous silicon PV module. *International Journal of Renewable Energy (IIRE)*.p 35-52.
- [6] ณัฐวุฒิ ขาวสะอาด, สุติพร เจาะจง และนิพนธ์ เกตุจ้อย, การศึกษาพลังงานไฟฟ้าที่แสงเซลล์แสงอาทิตย์ผลิตได้รายปีภายใต้สภาวะการใช้งานจริง, เทคโนโลยีอุตสาหกรรม. วารสารวิชาการคณะเทคโนโลยีอุตสาหกรรม มหาวิทยาลัยราชภัฏลำปาง, ปีที่ 2 ฉบับที่ 1 เมษายน 2552 - กันยายน 2552, หน้า 44 – 49
- [7] ณัฐวุฒิ ขาวสะอาด, คงฤทธิ์ แม่นศิริ และนิพนธ์ เกตุจ้อย, การลดลงของสมรรถนะแสงเซลล์แสงอาทิตย์ในโรงไฟฟ้าขนาดใหญ่, การประชุมเครือข่ายวิศวกรรมไฟฟ้า ครั้งที่ 4, มหาวิทยาลัยเทคโนโลยีราชมงคล, จังหวัดหนองคาย, หน้า 369 - 372, เมษายน 2555.
- [8] International Energy Agency, Operational performance, reliability and Promotion of photovoltaic systems, Report IEA-PVPS T2-03, 2002.
- [9] International Standard - Photovoltaic system performance monitoring - Guidelines for measurement, data exchange and analysis (IEC – 61724), Edition 1.0, 1998-04.



## 1. บทนำ

ประเทศไทยได้กำหนดดยุทธศาสตร์การพัฒนาพลังงานทดแทนเพื่อเพิ่มสัดส่วนการใช้พลังงานทดแทนเป็นร้อยละ 20 ภายในปี พ.ศ. 2565 โดยในส่วนของพลังงานแสงอาทิตย์กำหนดเป้าหมายการผลิตไฟฟ้าไว้ที่ 500 MW โดยการส่งเสริมให้เอกชนเป็นผู้ผลิตไฟฟ้าในรูปแบบของผู้ผลิตไฟฟ้าขนาดเล็ก (SPP) และขนาดเล็กมาก (VSPP) นอกจากนี้ยังมีการเพิ่มราคารับซื้อไฟฟ้า (Adder) เพื่อจูงใจให้เอกชนสนใจลงทุนในการผลิตไฟฟ้าจากพลังงานทดแทนเพิ่มมากขึ้น [1] และจากรัฐบาลได้มีนโยบายและแผนพัฒนา 15 ปี ส่งผลให้ผู้ที่สนใจสร้างโรงไฟฟ้าเซลล์แสงอาทิตย์ ซึ่งในปัจจุบันได้มีการตอบรับซื้อสัญญาไฟฟ้า มีปริมาณพลังงานไฟฟ้าเสนอขาย เท่ากับ 1,012 MW และเริ่มดำเนินการจำหน่ายไฟฟ้าเข้าระบบจำหน่ายแล้ว (COD) เท่ากับ 264 MW [2] ในปัจจุบันการพัฒนาเทคโนโลยีแสงเซลล์แสงอาทิตย์หลากหลายมากขึ้น ซึ่งแสงเซลล์แสงอาทิตย์ชนิดไมโครซิลิกอน (a-Si:Hc) เป็นแสงเซลล์แสงอาทิตย์เทคโนโลยีใหม่ เกิดจากการผสมผสานระหว่างเซลล์แสงอาทิตย์ชนิดสัณฐานซิลิกอน (Amorphous silicon) กับเซลล์แสงอาทิตย์ชนิดไมโครซิลิกอน (Micro silicon) จัดอยู่ในกลุ่มของชนิดพิล์มบาง จากการวิจัยที่เกี่ยวข้องพบว่า กลุ่มพิล์มบางสามารถผลิตพลังงานไฟฟ้าได้มากกว่ากลุ่มหลักซิลิกอน [3-6] แต่ต่อตราการลดลงของสมรรถนะของแสงเซลล์แสงอาทิตย์เป็นสิ่งที่สำคัญเช่นกัน เนื่องจากกลุ่มพิล์มบางจะอัตราการลดลงของสมรรถนะสูงกว่ากลุ่มหลักซิลิกอน [7] ซึ่งยังไม่มีการศึกษาแนวโน้มการลดลงของสมรรถนะแสงเซลล์แสงอาทิตย์ชนิด a-Si:Hc ที่ติดตัวใช้งานจริง ดังนั้น วิทยาลัยพลังงานทดแทนจึงมีแนวคิดที่จะทำการศึกษาเพื่อให้ทราบถึงแนวโน้มการลดลงของสมรรถนะของแสงเซลล์แสงอาทิตย์ว่ามีแนวโน้มการลดลงเป็นอย่างไร และส่งผลต่อการผลิตพลังงานไฟฟ้าของโรงไฟฟ้าอย่างไร ซึ่งผลลัพธ์ที่ได้ของงานวิจัยนี้จะเป็นข้อมูลสำคัญในการออกแบบ

โรงไฟฟ้าที่มีขนาดใหญ่ต่อไป รวมถึงเป็นทางเลือกอีกทางหนึ่งในการเลือกพัฒนาเซลล์แสงอาทิตย์เพื่อใช้ในประเทศไทย

## 2. วิธีการศึกษา

### 2.1 การศึกษาแนวโน้มการลดลงของสมรรถนะแสงเซลล์แสงอาทิตย์ชนิด a-Si:Hc

ในหัวข้อนี้จะแบ่งออกเป็น 2 ส่วน ได้แก่ ส่วนแรก การศึกษาแนวโน้มการลดลงของสมรรถนะแสงเซลล์แสงอาทิตย์ โดยทำการศึกษาพลังงานไฟฟ้าที่แสงเซลล์แสงอาทิตย์สามารถผลิตได้ ( $Y_A$ ) และสมรรถนะของแสงเซลล์แสงอาทิตย์ ( $PR_A$ ) ภายในระยะเวลา 3 ปี ตั้งแต่ปี 2552 – 2554 ว่ามีแนวโน้มการลดลงเป็นอย่างไร หลังจากนั้นส่วนที่สอง การทำนายพลังงานไฟฟ้าที่แสงเซลล์แสงอาทิตย์สามารถผลิตในลักษณะของโรงไฟฟ้าขนาด 1 MW เพื่อเปรียบเทียบระหว่างการทำนายพลังงานภายใต้สภาวะการใช้งานจริงกับเงื่อนไขการรับประกันแสงเซลล์จากผู้ผลิต

### 2.2 เทคนิคการประเมินสมรรถนะเซลล์แสงอาทิตย์

การวิเคราะห์สมรรถนะทางเทคนิคของแสงเซลล์แสงอาทิตย์ของงานวิจัยนี้ อ้างอิงจาก International Energy Agency Photovoltaic Power Systems Task 2 – Performance, Reliability and Analysis of Photovoltaic Systems (IEA PVPS Task 2) [8] และ International Standard - Photovoltaic system performance monitoring - Guidelines for measurement, data exchange and analysis (IEC - 61724) [9] ซึ่งได้กำหนดให้มีการวิเคราะห์ตัวแปรต่างๆ ดังต่อไปนี้

บทความวิชาการ

ฉบับรวมเล่ม

การประชุมวิชาการเครือข่ายพลังงาน  
แห่งประเทศไทย ครั้งที่ ๙

9<sup>th</sup> Conference on Energy Network of Thailand



พลังงานสีเขียวเพื่อโลกที่สดใส  
Green Energy Brightens Our World

ณ ชลพฤกษ์ รีสอร์ท อําเภอบ้านนา จังหวัดนราธิวาส

8-10 พฤษภาคม 2556

จัดการประชุมโดย  
คณะกรรมการศาสตร์  
มหาวิทยาลัยเทคโนโลยีมหานคร



pitt  
Group



บริษัทพีทีทีกรุ๊ป จำกัด

รหัสอ้างอิงบทความ	ชื่อบحทความ	หน้า
RE025	การวิเคราะห์สาเหตุการเกิดปัญหา Sintering, Slagging และ Fouling จากการเผาใหม้ หล่ายปาร์มเปล่า (EFB) ในเตาเผาใหม้ตั้งครับ	1040
RE026	คุณลักษณะการเผาใหม้เขื้อเหล็กซีเมนต์ในเตาเผาใหม้สูญญากาศแบบหมุนเวียน	1047
RE027	การประเมินศักยภาพพลังงานลมเบื้องต้นสำหรับติดตั้งกันหันลม	1055
RE028	การลดลงของสมรรถนะแสงเซลล์แสงอาทิตย์ชนิดใหม่โดยใช้ชิลิคอนที่ส่งต่อโรงไฟฟ้าขนาดใหญ่	1061
RE029	การประเมินผลของเวลา บริรวมความเข้มข้นสารตั้งต้นและความเข้มข้นของ NaOH ต่อ องค์ประกอบของฝังเข้ามาโดยใช้วิธีการพื้นที่วิวัฒนาสูตร	1066
RE030	การทำนายอุณหภูมิการเผาใหม้เขื้อเหล็กซีเมนต์ของหัวพ่นไฟสุดพิเศษแบบเม็ดกลมอัดแน่นโดย วิธีการออกแบบการทดลองเชิงแฟกทอร์เรียลแบบสองระดับ	1080
RE031	การศึกษาเชิงเปรียบเทียบปริมาณการใช้เขื้อเหล็กของ LPG และแก๊สชีวภาพสำหรับผลิตไฟฟ้า	1087
RE032	การศึกษาเชิงเปรียบเทียบการเพิ่มประสิทธิภาพของเซลล์แสงอาทิตย์	1092
RE033	込んでพลศาสตร์การอุ่นห้องและการเผาไหม้ด้วยเทคนิคแบบสกรูสำเร็จ	1098
RE034	การทำนายสมรรถนะของเครื่องยนต์อัดอากาศที่ดัดแปลงจากเครื่องยนต์สันดาปภายใน	1103

#### สาขาอื่นๆ ที่เกี่ยวข้องทางด้านพลังงาน: Others Energy-related Topics (OT)

รหัสอ้างอิงบทความ	ชื่อบحทความ	หน้า
OT001	การศึกษาการใช้งานที่อุณหภูมิต่ำของน้ำมันปาล์มใบโอดีเซลผสม	1108
OT002	วงจรเรียงกระแสแบบทบแต่งต้นที่สวิตช์ด้วยแรงดันศูนย์โดยใช้สัญญาณที่ตับเบลยูเอ็ม เพื่อการ ประยุกต์ใช้ในการประจุแบตเตอรี่ชีนิต Li-ion	1117
OT003	การทำความเข้าใจการทำงานของ AVR ในระบบจำหน่วยด้วย PSO	1125
OT005	ระบบจำลองการขยายช่วงความเร็วและแรงบิดในมอเตอร์ไฟตรงไว้เพื่อการต่อตัวด้วยโปรแกรม MATLAB/Simulink	1131
OT006	การจัดการพลังงานและประเมินรอยเท้าคาร์บอนในโรงงานแข็งแย่งกุ้ง	1137
OT007	การพัฒนาและศึกษาประสิทธิภาพของเตาเผาขยะชุมชน ในมหาวิทยาลัย ราชภัฏไอลองกรณ์	1142
OT008	การติดตามแสงอาทิตย์ด้วยการปรับสมดุลระดับน้ำ	1149
OT009	การใช้ระบบแก๊สโซฮีดเชื้อเพลิงฟ้อสซิลที่มีต่อสุขภาพของมนุษย์และสิ่งแวดล้อม	1156
OT010	ผลกระทบของการผลิตไฟฟ้าเชื้อเพลิงฟ้อสซิลที่มีต่อสุขภาพของมนุษย์และสิ่งแวดล้อม	1164
OT011	ประสิทธิภาพและการปล่อยก๊าซมลพิษของการเผาไหม้ถ่านไม้ในเตาหุงต้มแบบต่างๆ	1172
OT012	Photovoltaic Charge Controller	1178
OT013	การวิเคราะห์ทางการเงินเพื่อตัดสินใจเปลี่ยนเชื้อเพลิงจากน้ำมันเตาเป็นก๊าซธรรมชาติในระบบ เตาเผา: กรณีศึกษาโรงงานอุตสาหกรรมบิตรเคนีและการกลั่น	1185
OT014	ผลกระทบอัตราการไหลเข้าและอัตราส่วนการไหลต่อความเข้มข้นทางออกด้านบน ด้านล่าง และประสิทธิภาพการแยกของไฮโดรไซคลอนขนาด 40 มิลลิเมตร	1193
OT015	การศึกษาและออกแบบโปรแกรมตรวจสอบการเกิดดีสชาร์จบางส่วนในหม้อแปลงไฟฟ้ากำลัง ตามหลักการปล่อยสัญญาณอคุกสติกด้วยเทคนิคความแตกต่างของเวลาการมาถึงของสัญญาณ	1199



รหัสบทความ:

RE028

การประชุมวิชาการเครือข่ายพลังงานแห่งประเทศไทยครั้งที่ 9

8-10 พฤษภาคม 2556 จังหวัดนครนายก

## การลดลงของสมรรถนะแผงเซลล์แสงอาทิตย์ชนิดไมโครซิลิกอนที่ส่งต่อโรงไฟฟ้าขนาดใหญ่

### Performance degradation of amorphous silicon/micro crystalline silicon (a-Si/ $\mu$ C) effect to large scale solar power plant

นิพนธ์ เกตุจ้อย\*, ณัฐวุฒิ ขาวสะอุด, พัตรชัย ศิริสันพันธวงศ์ และ คงฤทธิ์ แม้นศิริ

วิทยาลัยเพลังงานทดแทน มหาวิทยาลัยนเรศวร พิษณุโลก 65000

โทรศัพท์ : 0-5596-3182 โทรสาร : 0-5596-3182

\*ผู้ติดต่อ: niponk@nu.ac.th

#### บทคัดย่อ

บทความนี้นำเสนอผลศึกษาแนวโน้มการลดลงของสมรรถนะแผงเซลล์แสงอาทิตย์ชนิด a-Si: $\mu$ C ที่ส่งผลต่อโรงไฟฟ้าขนาดใหญ่ โดยนำข้อมูลของแผงเซลล์แสงอาทิตย์ชนิด a-Si: $\mu$ C มาทำการวิเคราะห์หาอัตราการลดลงของสมรรถนะ ซึ่งข้อมูลที่นำมาวิเคราะห์อยู่ในช่วงปี 2552 - 2554 หลังจากนั้นนำผลที่วิเคราะห์มาทำการคำนวณพลังงานไฟฟ้าที่โรงไฟฟ้าเซลล์แสงอาทิตย์ขนาดกำลังไฟฟ้า 1 MW โดยใช้โปรแกรม PVSYST V 5.21 และวิเคราะห์หาความแตกต่างระหว่างการทำนายพลังงานไฟฟ้าของแผงเซลล์แสงอาทิตย์ภายใต้สภาวะการใช้จริงเปรียบเทียบกับเงื่อนไขการรับประกันแผงเซลล์จากผู้ผลิต จากการศึกษาพบว่า แนวโน้มการลดลงของสมรรถนะแผงเซลล์แสงอาทิตย์ชนิด a-Si: $\mu$ C มีค่าเท่ากับร้อยละ 0.38 ต่อปี และจากการคำนวณพลังงานไฟฟ้าของโรงไฟฟ้าที่ผู้ผลิตได้ภายใต้สภาวะการใช้จริงสูงกว่าสภาวะภายใต้เงื่อนไขการรับประกันคิดเป็นร้อยละ 5.96

**คำหลัก:** อัตราการลดลง, สมรรถนะ, แผงเซลล์แสงอาทิตย์, ไมโครซิลิกอน, โรงไฟฟ้าขนาดใหญ่

#### Abstract

This article presents the performance degradation of amorphous silicon/micro crystalline silicon (a-Si: $\mu$ C) effect to large scale solar power plant. The data are used for analysis during 2009 - 2011. After that, the electricity energy prediction from the analysis data is based on the large scale solar power plant. The PVSYST software Vision 5.21 uses for the electricity energy prediction. And the electricity energy prediction compares between actual conditions and manufacturer's warranty. Results of this research are found that. The performance degradation of a-Si: $\mu$ C is 0.38 % and the electricity energy prediction of actual conditions is higher than manufacturer's warranty is 5.96 %.

**Keywords:** Degradation rate, Performance, PV module, Amorphous silicon/micro crystalline silicon, Large scale solar power plant.



รหัสบทความ:

RE028

การประชุมวิชาการเครือข่ายพลังงานแห่งประเทศไทยครั้งที่ 9

8-10 พฤษภาคม 2556 จังหวัดนครนายก

## 1. บทนำ

ประเทศไทยได้กำหนดยุทธศาสตร์การพัฒนาพลังงานทดแทนเพื่อเพิ่มสัดส่วนการใช้พลังงานทดแทนเป็นร้อยละ 20 ภายในปี พ.ศ. 2565 โดยในส่วนของพลังงานแสงอาทิตย์กำหนดเป้าหมายการผลิตไฟฟ้าไว้ที่ 500 MW โดยการส่งเสริมให้เอกชนเป็นผู้ผลิตไฟฟ้าในรูปแบบของผู้ผลิตไฟฟ้าขนาดเล็ก (SPP) และขนาดเล็กมาก (VSPP) นอกจากนี้ยังมีการเพิ่มราคารับซื้อไฟฟ้า (Adder) เพื่อจูงใจให้เอกชนสนใจมาลงทุนในการผลิตไฟฟ้าจากพลังงานทดแทนเพิ่มมากขึ้น [1] และจากรัฐบาลได้มีนโยบายและแผนพัฒนา 15 ปี ส่งผลให้ผู้ที่สนใจสร้างโรงไฟฟ้าเซลล์แสงอาทิตย์ ซึ่งในปัจจุบันได้มีการตอบรับซื้อสัญญาไฟฟ้า มีปริมาณพัฒนาไปที่สูงอย่างต่อเนื่อง เช่นเดียวกับประเทศญี่ปุ่นที่มีการขายไฟฟ้าโดยตรงกับผู้ผลิตไฟฟ้าในประเทศญี่ปุ่น [2] ในปัจจุบันการพัฒนาเทคโนโลยีแสงเซลล์แสงอาทิตย์หลากหลายมากขึ้น ซึ่งแสงเซลล์แสงอาทิตย์ชนิดไมโครซิลิกอน (a-Si:muC) เป็นแสงเซลล์แสงอาทิตย์เทคโนโลยีใหม่ เกิดจากการผสมผสานระหว่างเซลล์แสงอาทิตย์ชนิดอัลลอยด์สัมโนไนซ์ซิลิกอน (Amorphous silicon) กับเซลล์แสงอาทิตย์ชนิดไมโครซิลิกอน (Micro silicon) จัดอยู่ในกลุ่มของชนิดฟิล์มบาง จากการวิจัยที่เกี่ยวข้องพบว่า กลุ่มฟิล์มบางสามารถผลิตพลังงานไฟฟ้าได้มากกว่ากลุ่มผลึกซิลิกอน [3-6] แต่อัตราการลดลงของสมรรถนะของแสงเซลล์แสงอาทิตย์เป็นสิ่งที่สำคัญเป็นกัน เนื่องจากกลุ่มฟิล์มบางจะอัตราการลดลงของสมรรถนะสูงกว่ากลุ่มผลึกซิลิกอน [7] ซึ่งยังไม่มีการศึกษาแนวโน้มการลดลงของสมรรถนะแสงเซลล์แสงอาทิตย์ชนิด a-Si:muC ที่คิดตั้งใช้งานจริง ดังนั้น วิทยาลัยพลังงานทดแทนจึงมีแนวคิดที่จะทำศึกษาเพื่อให้ทราบถึงแนวโน้มการลดลงของสมรรถนะของแสงเซลล์แสงอาทิตย์ว่ามีแนวโน้มการลดลงเป็นอย่างไร และส่งผลต่อการผลิตพลังงานไฟฟ้าของโรงไฟฟ้าอย่างไร ซึ่งผลลัพธ์ที่ได้ของงานวิจัยนี้จะเป็นข้อมูลสำคัญในการออกแบบ

โรงไฟฟ้าที่มีขนาดใหญ่ต่อไป รวมถึงเป็นทางเลือกอีกทางหนึ่งในการเลือกพัฒนาเซลล์แสงอาทิตย์เพื่อใช้ในประเทศไทย

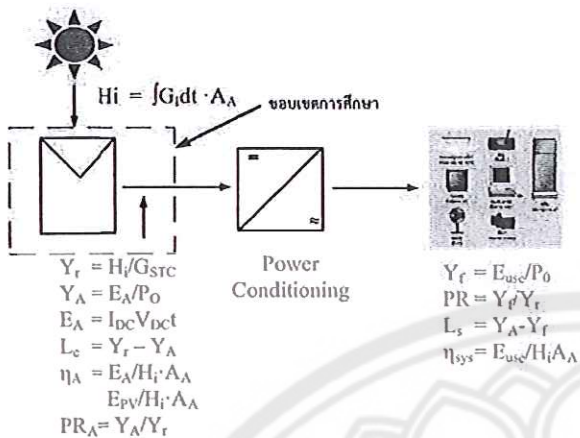
## 2. วิธีการศึกษา

### 2.1 การศึกษาแนวโน้มการลดลงของสมรรถนะแสงเซลล์แสงอาทิตย์ชนิด a-Si:muC

ในหัวข้อนี้จะแบ่งออกเป็น 2 ส่วน ได้แก่ ส่วนแรก การศึกษาแนวโน้มการลดลงของสมรรถนะแสงเซลล์แสงอาทิตย์ โดยทำการศึกษาพัฒนาไฟฟ้าที่แสงเซลล์แสงอาทิตย์สามารถผลิตได้ ( $Y_A$ ) และสมรรถนะของแสงเซลล์แสงอาทิตย์ ( $PR_A$ ) ภายในระยะเวลา 3 ปี ตั้งแต่ปี 2552 – 2554 ว่ามีแนวโน้มการลดลงเป็นอย่างไร หลังจากนั้นส่วนที่สอง การทำนายพัฒนาไฟฟ้าที่แสงเซลล์แสงอาทิตย์สามารถผลิตในลักษณะของโรงไฟฟ้าขนาด 1 MW เพื่อเปรียบเทียบระหว่างการทำนายพัฒนาภายนอกกับการใช้งานจริงกับเงื่อนไขการรับประทานแสงเซลล์จากผู้ผลิต

### 2.2 เทคนิคการประเมินสมรรถนะเซลล์แสงอาทิตย์

การวิเคราะห์สมรรถนะทางเทคนิคของแสงเซลล์แสงอาทิตย์ของงานวิจัยนี้ ข้างต้นจาก International Energy Agency Photovoltaic Power Systems TASK 2 – Performance, Reliability and Analysis of Photovoltaic Systems (IEA PVPS Task 2) [8] และ International Standard - Photovoltaic system performance monitoring - Guidelines for measurement, data exchange and analysis (IEC - 61724) [9] ซึ่งได้กำหนดให้มีการวิเคราะห์ตัวแปรต่างๆ ดังต่อไปนี้



รูปที่ 1 การประเมินและวิเคราะห์สมรรถนะทางด้านเทคนิค

ผลลัพธ์ไฟฟ้าที่ผลิตได้จากแผงเซลล์แสงอาทิตย์ (Array Yield;  $Y_A$ ) หาได้จากการคำนวณด้วยสมการ

$$Y_A = \frac{E_A}{P_o} \quad (1)$$

$Y_A$  คือ ผลลัพธ์ไฟฟ้าที่เซลล์แสงอาทิตย์ผลิตได้ต่อกำลังติดตั้ง ( $\text{kWh}/\text{kWp}$ )

$E_A$  คือ ผลลัพธ์ไฟฟ้าที่เซลล์แสงอาทิตย์ผลิตได้ ( $\text{kWh}$ )

$P_o$  คือ กำลังไฟฟ้าติดตั้งสูงสุดของแผงเซลล์แสงอาทิตย์ ( $\text{Wp}$ )

ผลลัพธ์ไฟฟ้าที่ผลิตได้จากแผงเซลล์แสงอาทิตย์ในทางทฤษฎี (Reference Yield;  $Y_r$ ) หาได้จากการคำนวณด้วยสมการ

$$Y_r = \frac{H_i}{G_{\text{STC}}} \quad (2)$$

$Y_r$  คือ ผลลัพธ์ไฟฟ้าที่เซลล์แสงอาทิตย์ผลิตได้ต่อกำลังติดตั้งในทางทฤษฎี ( $\text{kWh}/\text{kWp}$ )

$H_i$  คือ ผลลัพธ์จากรังสีดูดอาทิตย์ที่ต่อกล่องทบทวนผิวแผงเซลล์แสงอาทิตย์ ( $\text{kWh}/\text{m}^2$ )

$G_{\text{STC}}$  คือ ค่าความเข้มรังสีดูดอาทิตย์ที่สภาวะมาตรฐานการทดสอบเซลล์แสงอาทิตย์  $\text{STC} = 1 \text{ kW}/\text{m}^2$

สมรรถนะแผงเซลล์แสงอาทิตย์ (Array Performance Ratio;  $PR_A$ ) หาได้จากการคำนวณด้วยสมการ

$$PR_A = \frac{Y_A}{Y_r} \quad (3)$$

การวิเคราะห์ตัวการลดลงของสมรรถนะแผงเซลล์แสงอาทิตย์ จะแบ่งออกเป็น 2 ส่วน ได้แก่ ส่วนแรก ศึกษาแนวโน้มการลดลงของสมรรถนะแผงเซลล์แสงอาทิตย์ชนิด a-Si:C ตั้งแต่ปี 2552 - 2554 แต่ใน การวิเคราะห์สมรรถนะของแผงเซลล์แสงอาทิตย์จะไม่นำ สมรรถนะของปี 2552 เนื่องจากยังอยู่ในช่วงยังไม่เสถียร (stabilize) และใช้ช่วงเวลาตั้งแต่ 07.00-17.00 น. และ ส่วนที่สอง ทำการคำนวณผลลัพธ์ไฟฟ้าที่โรงไฟฟ้าผลิต ได้โดยใช้โปรแกรม PVSTST V 5.21 และเปรียบเทียบ ผลลัพธ์ไฟฟ้าของแผงเซลล์แสงอาทิตย์ภายใต้สภาวะการ ใช้งานจริงกับตามเงื่อนไขการรับประกันแผงเซลล์จาก ผู้ผลิตว่าเป็นอย่างไร ซึ่งการรับประกันการลดลงของ กำลังไฟฟ้าของแผงเซลล์แสงอาทิตย์ในช่วงอายุการใช้งาน 20 - 25 ปี เท่ากับ 20 % ของกำลังไฟฟ้าสูงสุด ในงานวิจัย นี้จะมุ่งเน้นศึกษาอายุของโรงไฟฟ้า เท่ากับ 20 ปี

ตารางที่ 1 คุณลักษณะของแผงเซลล์แสงอาทิตย์

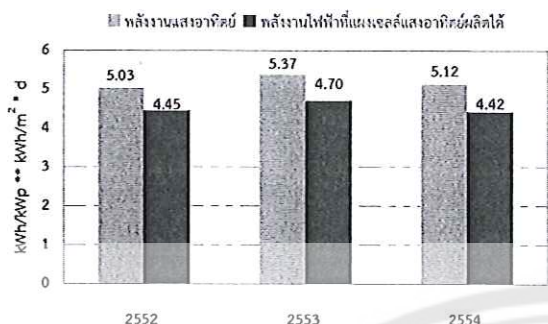
คุณลักษณะ	ค่าปกติ	a-Si: <mu>C</mu>
กำลังไฟฟ้าสูงสุด ( $P_{\text{max}}$ )	[W]	100
ค่าแรงดันไฟฟ้าตรงเป๊ก ( $V_{\text{o}}$ )	[V]	71
ค่ากระแสไฟฟ้าสัมภาระ ( $I_{\text{sc}}$ )	[A]	2.25
ค่าแรงดันไฟฟ้าสูตร ( $V_{\text{oc}}$ )	[V]	53.5
ค่ากระแสไฟฟ้าสูตร ( $I_{\text{p}}$ )	[A]	1.87
ช่วงแปรผันอัตราการเก็บรักษา	[%]	12
กราฟประวัติกำลังไฟฟ้า 20 ปี	[%]	80
ขนาดแผงเซลล์แสงอาทิตย์	[mm.]	$1,210 \times 1,008 \times 40$

หมายเหตุ: สถานะกลางแจ้ง: Air mass 1.5, ความเข้มรังสีดูดอาทิตย์  $1,000 \text{ W}/\text{m}^2$ , อุณหภูมิเฉลี่ย  $25^\circ\text{C}$ .

### 3. ผลการศึกษา

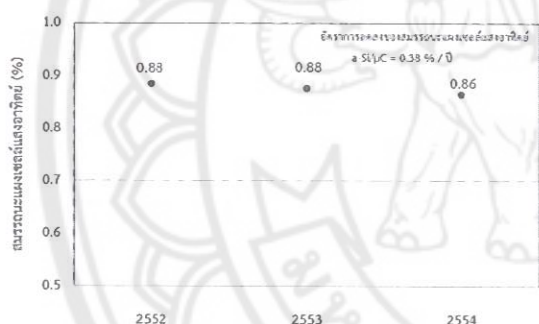
#### 3.1 การลดลงของสมรรถนะแผงเซลล์แสงอาทิตย์

ผลการศึกษาแนวโน้มการลดลงของสมรรถนะแผงเซลล์แสงอาทิตย์ชนิด a-Si:C พบว่าผลลัพธ์ไฟฟ้าที่แผงเซลล์แสงอาทิตย์สามารถผลิตได้โดยเฉลี่ย มีค่าเท่ากับ  $4.58 \text{ kWh}/\text{kWp} \cdot \text{d}$  ดังรูปที่ 2



รูปที่ 2 พลังงานไฟฟ้าที่แผงเซลล์แสงอาทิตย์ผลิตได้เฉลี่ยรายวัน

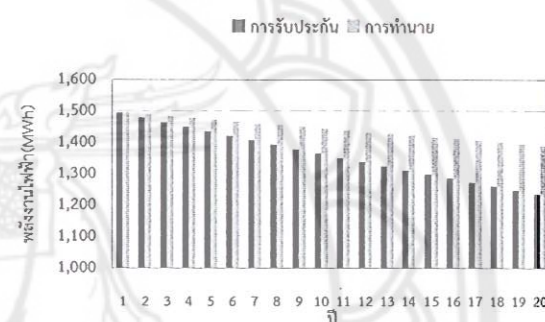
จากรูปที่ 3 แสดงให้เห็นถึงแนวโน้มการลดลงของสมรรถนะแผงเซลล์แสงอาทิตย์ ซึ่งจากการศึกษาพบว่า อัตราการลดลงของแนวโน้มของสมรรถนะแผงเซลล์แสงอาทิตย์ มีค่าเท่ากับร้อยละ 0.38 ต่อปี



รูปที่ 3 สมรรถนะแผงเซลล์แสงอาทิตย์

จากรูปที่ 4 เป็นการทำนายพลังงานไฟฟ้าที่โรงไฟฟ้าผลิตได้ในแต่ละปีตลอดอายุของโรงไฟฟ้า พบว่าตามเงื่อนไขการรับประกันแผงเซลล์จากผู้ผลิต สามารถผลิตพลังงานไฟฟ้าที่ผลิตได้ตลอดอายุของโรงไฟฟ้าเท่ากับ 27,206,524 MWh และพลังงานไฟฟ้าของแผงเซลล์แสงอาทิตย์ภายใต้สภาวะการใช้งานจริง เท่ากับ 28,827,463 MWh ความแตกต่างระหว่างการทำนายพลังงานไฟฟ้าของแผงเซลล์แสงอาทิตย์ภายใต้สภาวะการใช้งานจริงกับตามเงื่อนไขการรับประกันแผงเซลล์จากผู้ผลิต คิดเป็นร้อยละ 5.96 จากผลดังกล่าวจะเห็นได้ว่า จากการทำนายพลังงานไฟฟ้าของแผงเซลล์แสงอาทิตย์ ภายใต้สภาวะการใช้งานจริงโรงไฟฟ้าเซลล์แสงอาทิตย์

สามารถผลิตพลังงานไฟฟ้าได้สูงกว่าตามเงื่อนไขการรับประกันแผงเซลล์จากผู้ผลิต แต่อย่างไรก็ตามผลจาก การทดลองการลดลงของสมรรถนะไม่ได้มาจากการแผงเซลล์แสงอาทิตย์เพียงอย่างเดียว ในโรงไฟฟ้ามีอุปกรณ์ประกอบต่างๆ เช่น เครื่องแปลงกระแสไฟฟ้า และหม้อแปลง เป็นต้น ซึ่งอุปกรณ์ต่างๆ เหล่านี้มีการสูญเสีย พลังงานไฟฟ้าในตัวเอง ประกอบกับข้อมูลและอายุการใช้งานของแผงเซลล์แสงอาทิตย์ชนิดนี้ยังน้อย ดังนั้นผลทำนายที่ได้นั้นอาจจะมีความคาดเคลื่อนจากความเป็นจริงเล็กน้อย



รูปที่ 4 พลังงานไฟฟ้าที่โรงไฟฟ้าผลิตได้ตลอดอายุการใช้งาน

#### 4. สรุปผลการศึกษา

ผลการศึกษาแนวโน้มการลดลงของสมรรถนะแผงเซลล์แสงอาทิตย์ชนิด a-Si:H/C พบว่า พลังงานไฟฟ้าที่แผงเซลล์แสงอาทิตย์สามารถผลิตได้โดยเฉลี่ยรายปี มีค่าเท่ากับร้อยละ 0.38 ต่อปี และส่งผลทำให้เกิดเพื่อเปรียบเทียบความแตกต่างระหว่างการทำนายพลังงานไฟฟ้าของแผงเซลล์แสงอาทิตย์ภายใต้สภาวะการใช้งานจริงกับตามเงื่อนไขการรับประกันแผงเซลล์จากผู้ผลิต คิดเป็นร้อยละ 5.96

#### 5. กิจกรรมประ觥ค์

งานวิจัยนี้ได้รับทุนอุดหนุนจากสำนักงานคณะกรรมการวิจัยแห่งชาติ (วช.) งบประมาณแผ่นดิน ประจำปีงบประมาณ 2551 2552 2554 2555 และ 2556 และ Kaneka



Corporation, Japan และขอขอบพระคุณคณาจารย์นักวิจัยของวิทยาลัยพลังงานทดแทนที่ได้ให้ความช่วยเหลือในเรื่องคำแนะนำ และข้อมูลสนับสนุนในการศึกษานี้ ทำให้การศึกษาครั้งนี้สำเร็จลุล่วงไปได้ด้วยดี

#### 6. เอกสารอ้างอิง

- [1] สำนักพัฒนาพลังงานแสงอาทิตย์ กรมพัฒนาพลังงานทดแทน และอนุรักษ์พลังงาน, [บทความ สื่อออนไลน์]. สื้อค้นได้จาก<[http://www.dede.go.th/dede/fileadmin/upload/nov50/mar52/RE\\_DP\\_present.pdf](http://www.dede.go.th/dede/fileadmin/upload/nov50/mar52/RE_DP_present.pdf)>. พฤษภาคม 2554.
- [2] สำนักงานนโยบายและแผนพลังงาน กระทรวงพลังงาน, นโยบายการส่งเสริมการผลิตไฟฟ้าจากพลังงานหมุนเวียน, 2555.
- [3] Achitpon SaSitharanuwata, Wattanapong Rakwichian, Nipon Ketjoy, and Suchart Yammen, (2006), Design and Testing of a 10 kWp standalone PV Prototype for Future Community Grid Adapted for Remote Area in Thailand, *International Journal of Renewable Energy (IIRE)*, 33-43.
- [4] Kritwiput Phaokeaw, Nipon Ketjoy, Wattanapong Rakwichian and Suchart Yammen, (2007), Performance of a-Si, p-Si and HIT PV Technological Comparison under Tropical Wet Climate Condition, *International Journal of Renewable Energy (IIRE)*, 23-34.
- [5] Wuthipong Suponthana, Nipon Ketjoy, Wattanapong Rakwichian and Phumisak Inthanon, (2007), Performance Evaluation AC Solar Home System in Thailand: system using multi crystalline silicon PV module versus system using thin film amorphous silicon PV module. *International Journal of Renewable Energy (IIRE)*. p 35-52.
- [6] ณัฐรุณิ ขาวสะอาด, ธิติพร เจาะจง และนิพนธ์ เกตุจ้อย, การศึกษาพลังงานไฟฟ้าที่แผงเซลล์แสงอาทิตย์ผลิตได้รายปีภายใต้สภาวะการใช้งานจริง, เทคนิโอลิ耶อุตสาหกรรม. วารสารวิชาการคณะเทคโนโลยีอุตสาหกรรม มหาวิทยาลัยราชภัฏลำปาง, ปีที่ 2 ฉบับที่ 1 เมษายน 2552 - กันยายน 2552, หน้า 44 – 49
- [7] ณัฐรุณิ ขาวสะอาด, คงฤทธิ์ แม้นศิริ และนิพนธ์ เกตุจ้อย, การลดลงของสมรรถนะแผงเซลล์แสงอาทิตย์ในโรงไฟฟ้าขนาดใหญ่, การประชุมเครือข่ายวิศวกรรมไฟฟ้า ครั้งที่ 4, มหาวิทยาลัยเทคโนโลยีราชมงคล, จังหวัดหนองคาย, หน้า 369 - 372, เมษายน 2555.
- [8] International Energy Agency, Operational performance, reliability and Promotion of photovoltaic systems, Report IEA-PVPS T2-03, 2002.
- [9] International Standard - Photovoltaic system performance monitoring - Guidelines for measurement, data exchange and analysis (IEC – 61724), Edition 1.0, 1998-04.